

INSTITUTUL DE CONSTRUCTII BUCURESTI  
CATEDRA DE GEOTEHNICA SI FUNDATII

TABELE GRAFICE SI FORMULE  
PENTRU  
PROIECTAREA FUNDATIILOR

1979

In ședința de catedră din ziua de 2 iunie 1979 s-a discutat conținutul lucrării "Tabele, grafice și formule pentru proiectarea fundațiilor" și s-a aprobat multiplicarea pe plan Local. Nu conține date secrete sau brevetabile.

#### PREFATA

Lucrarea "Tabele, grafice și formule pentru proiectarea fundațiilor" este destinată activității aplicative la seminarii, proiecte de an și proiectul de diplomă, pentru studenții facultăților cu profil de construcții, atât la secțiile de ingineri, cât și la cele de subingineri.

În cele 9 capitolare sunt cuprinse principalele elemente necesare dimensionării fundațiilor, estimării deformărilor terenului și verificării stabilității maselor de pămînt.

Prin utilizarea judicioasă a materialului prezentat în lucrare, se urmărește diversificarea lucrărilor aplicative a studenților și crearea bazei documentare pentru activitățile creaționale individuale în cadrul atelierelor de proiectare - cercetare în domeniul lucrărilor de fundații.

Conținutul capitolalelor a fost selectat și pregătit de colectivul catedrei, după cum urmează :

Cap.1. - Sef lucrări dr.ing. Anatolie Marcu

Cap.2. - Sef lucrări dr.ing. Anatolie Marcu

Cap.3. - Profesor ing. Ion Stănculescu, Sef lucrări dr. ing. Anatolie Marcu

Cap.4. - Sef lucrări dr.ing. Cerneliu Athanasiu

Cap.5. - Sef lucrări dr.ing. Ioan Hag, Profesor dr. ing. Silvan Andrei

Cap.6. - Asistent ing. Ion Staicu, Asistent ing. Niculete Filipideanu

Cap.7. - Profesor ing. Ion Stănculescu

Cap.8. - Sef lucrări ing. Margareta Pătriniche

Cap.9. - Sef lucrări ing. Dan Dimitriu, Sef lucrări dr. ing. Mihail Popescu, Conferențiar dr.ing. Iacint Maneliu.

Pentru prezentarea unitară, redactarea finală a fost făcută de Profesor inginer Ion Stănculescu.

C U P R I N S

PAG.

Cap.1. TERMINOLOGIE, SIMBOLURI, UNITATI DE MASURA .....	9
Cap.2. DENUMIREA SI CLASIFICAREA PAMINTURILOR. CARACTERISTICI FIZICO-MECANICE, VALORI UZUALE .....	18
PLANSA 2.I	- Relatii cantitative intre fazele componente ale pă- minturilor.
PLANSA 2.II	- Greutăți volumice ale păminturilor.
PLANSA 2.III	- Clasificarea păminturilor necozeive.
PLANSA 2.IV	- Clasificarea păminturilor cozeive.
PLANSA 2.V	- Clasificarea stării de îndesare a păminturilor necozeive.
PLANSA 2.VI	- Corelații intre rezultate ale penetrometriei statice și dinamice cu indicele de consistentă.
PLANSA 2.VII	- Coeficienti de permeabilitate.
PLANSA 2.VIII	- Caracteristici de deformabilitate determinate în laborator și pe teren. Valori de calcul.
PLANSA 2.IX	- Coeficienti de pat pentru solicitări statice.
PLANSA 2.X	- Factori de proporționalitate pentru mediu Winkler cu coefficient de pat liniar variabil cu adâncimea.
PLANSA 2.XI	- Coeficienti de pat pentru solicitări dinamice.
PLANSA 2.XII	- Indici ai rezistenței la tăiere.
PLANSA 2.XIII	- Criterii de identificare a păminturilor sensibile la umedeire.
PLANSA 2.XIV	- Criterii de identificare a păminturilor argiloase cu contractii mari și a nisi- perilor lichefieabile.
Cap.3. STAREA DE EFORȚURI SI DEFORMAȚII IN TEREN .....	22

- 5 -

PLANSA 3.I	- Eforturi unitare sub acțiunile forțelor concentrate și liniar distribuite.
PLANSA 3.II	- Eforturi unitare $G'$ sub acțiunile forțelor uniforme distribuite pe suprafețe dreptunghiaolare.
PLANSA 3.III	- Eforturi unitare sub acțiunile forțelor uniforme distribuite în figie.
PLANSA 3.IV	- Eforturi unitare $G'$ sub acțiunile forțelor distribuite în figie după diagramă triunghiulară.
PLANSA 3.V	- Eforturi unitare $G'$ sub acțiunile forțelor distribuite pe o suprafață dreptunghială, cu diagramă triunghiulară.
PLANSA 3.VI	- Eforturi unitare $G'$ pentru forțe distribuite uniforme pe suprafețe circulare.
PLANSA 3.VII	- Formule de calcul al eforturilor unitare în teren pentru diagrame usuale de încărcare, în starea plană de eforturi.
PLANSA 3.VIII	- Eforturi unitare în mediul stratifi- cate sub acțiunile forțelor dis- tribuite uniform pe suprafețe circulare.
PLANSA 3.IX	- Tăsarea suprafeței mediului Boussinesq sub acțiunile forțelor concentrate și distribuite uniform pe suprafețe drep- unghiaolare.
PLANSA 3.X	- Tăsarea terenului sub acțiunile forțelor distribuite uniform pe suprafețe drept- unghiaolare.
PLANSA 3.XI	- Tăsarea stratelor deformabile pe su- port rigid sub acțiunile forțelor dis- tribuite uniform pe suprafețe cir- culare.
PLANSA 3.XII	- Tăsarea terenului considerat ca mediu Boussinesq sub acțiunile forțelor uniforme distribuite pe suprafețe dreptunghiaolare sau circulare.
PLANSA 3.XIII	- Consolidarea în timp a păminturilor argiloase saturate.
PLANSA 3.XIV	- Consolidarea uniaxială și radială.
Cap.4. STAREA LIMITĂ DE EFORȚURI ÎN TEREN .....	27
PLANSA 4.I	- Condiții generale de cedare plastică în eforturi principale.
PLANSA 4.II	- Condiții generale de cedare plastică în eforturi normale și tangențiale.
PLANSA 4.III	- Siguranță față de cedarea plastică.
PLANSA 4.IV	- Presiunea limită de cedare plastică locală.
PLANSA 4.V	- Presiunea limită de proporționali- tate încărcare - tăsare.

	- 6 -
PLANSA 4.VI	- Presiunea critică de refulare laterală la forțe verticale.
PLANSA 4.VII	- Presiunea critică de refulare laterală la forțe inclinate.
PLANSA 4.VIII	- Presiunea critică de refulare laterală în sondă de talus.
PLANSA 4.IX	- Presiunea critică de refulare laterală pentru medii stratificate ortotrope.
PLANSA 4.X	- Presiunea critică de refulare laterală în teren stratificat, isotrop.
Cap.5. STABILITATEA TALUZURILOR SI VERSANTILOR .....	31
PLANSA 5.I	- Condiții de alunecare. Metoda unghiului de tăiere.
PLANSA 5.II	- Calculul stabilității pentru suprafețe de cedare cilindro-circulare, în teren cu frecare internă și coeziune.
PLANSA 5.III	- Calculul stabilității pentru terenuri coeziive cu frecare nulă la suprafața de cedare cilindro-circulară.
PLANSA 5.IV	- Metoda figiilor.
PLANSA 5.V	- Metoda cercului de fricție.
PLANSA 5.VI	- Suprafațe de cedare carecare și cilindro-circulare, cu acțiunea apelui.
PLANSA 5.VII	- Utilizarea coeficienților de stabilitate.
PLANSA 5.VIII	- Formule pentru estimarea stabilității taluzurilor în cazul ruperii plane și cilindro-circulare.
PLANSA 5.IX	- Grafic pentru estimarea stabilității în cazul ruperii plane.
PLANSA 5.X	- Grafic pentru estimarea stabilității în cazul ruperii cilindro-circulare.
Cap.6. IMPINGEREA ACTIVA SI REZISTENTA PASIVA A PAMANTULUI .....	36
PLANSA 6.I	- Impingerea activă după Coulomb.
PLANSA 6.II	- Rezistența pasivă după Coulomb.
PLANSA 6.III	Rezistența pasivă cu considerarea suprafețelor compuse de cedare, teren orizontal.
PLANSA 6.IV	- Rezistența pasivă cu considerarea suprafețelor compuse de cedare, teren inclinat.
PLANSA 6.V	- Rezistența pasivă după Caquot și Kérisel.
Cap.7. EXCAVATII PENTRU FUNDATII SUB NIVELUL PERMANENT AL APELOR SUBTERANE .....	38
PLANSA 7.I	- Măsuri pentru evacuarea apelor subterane, domeniu de granulozitate pentru coborârea apelor subterane.
PLANSA 7.II	- Epuisamentul direct.
PLANSA 7.III	- Coborârea generală a nivelului apelor subterane prin pompări din puțuri

	- 7 -
PLANSA 7.IV	- Filtre gravitaționale.
PLANSA 7.V	- Coborârea nivelului piezometric al puțelor aciviere sub presiune prin puțuri autodeschărcătoare.
Cap.8. PROIECTAREA FUNDATIILOR DIRECTE DE SUPRAFATA SI DE ADINCIME .....	40
PLANSA 8.I	- Adâncimea minimă de fundare.
PLANSA 8.II	- Calculul presiunii efective pe talpa fundațiilor rigide.
PLANSA 8.III	- Considerarea încastrării fundațiilor directe de adâncime.
PLANSA 8.IV	- Presiuni convenționale de calcul.
PLANSA 8.V	- Clase de importanță a construcțiilor.
PLANSA 8.VI	- Valori orientative ale deplasărilor maxime admisibile pentru fundații.
PLANSA 8.VII	- Fundații izolate, sumar de prescripții de proiectare.
PLANSA 8.VIII	- Fundații continue sub ziduri, sumar de prescripții de proiectare.
PLANSA 8.IX	- Tălpi continue sub stâlpi, sumar de prescripții de proiectare.
PLANSA 8.X	- Grinzi continue pe medii elastice, mediu Winkler.
Cap.9. PROIECTAREA FUNDATIILOR PE PILOTI .....	43
PLANSA 9.I	- Capacitatea portantă a pilotilor izolați, la solicitări axiale.
PLANSA 9.II	- Stabilirea încărării critice $P_{cr,pe}$ pe baza datelor din încercări dinamice.
PLANSA 9.III	- Valoarea încărării axiale critice pe baza datelor din încercări de penetrometrie statică.
PLANSA 9.IV	- Estimarea capacitatii portante a pilotilor solicitări axial.
PLANSA 9.V	- Capacitatea portantă a pilotilor verticali la solicitări primărie transversale excului.
PLANSA 9.VI	- Capacitatea portantă a pilotului în grup.
PLANSA 9.VII	- Calculul forței axiale intr-un pilot.
PLANSA 9.VIII	- Metoda grafică a centrului instantaneu de rotație.
PLANSA 9.IX	- Metoda centrului elastic.
PLANSA 9.X	- Încastrarea elastică în teren a pilotilor, coloanelor și peretilor.
PLANSA 9.XI	- Deplasările și rotiriile capului pilotului sau al coloanei din solicitări uniajute.
PLANSA 9.XII	- Stabilirea solicitărilor ce revin unui pilot din grup.
BIBLIOGRAFIE .....	46

1. TERMINOLOGIE, SIMBOLURI,  
UNITATI DE MASURA

1.1. Termenii principali utilizati in aplicatii ale Geotehnicii sunt, in parte standardizati, ca simboluri si unitati de masura de uz curent. \*)

1.2. Pentru termenii care nu sunt precizati in standarde in prezenta lucrare s-au adoptat denumirile, simbolurile si unitatile de masură recomandate de Societatea Internatională de Geotehnică și Fundații, sau cele folosite în lucrările de specialitate, de largă circulație în țara noastră.

1.3. Caracteristici ale pământurilor definitorii pentru alcătuirea lor ca sisteme polifazice.

TABELUL 1.1

Pagini din "Manuscris"	Denumire	Simbol	Dimensiuni	Unități de masură de uz curent
1	2	3	4	5

1.3.1. Greutăți ale unității de volum

32-34	Greutatea volumică a pământului	$\gamma$	$F \cdot L^{-3}$	$kN/m^3$
28-38	Greutatea volumică a scheletului **)	$\gamma_s$	$F \cdot L^{-3}$	$kN/m^3$
35	Greutatea volumică în stare uscată	$\gamma_d$	$F \cdot L^{-3}$	$kN/m^3$
-	Greutatea volumică în stare saturată	$\gamma_{sat}$	$F \cdot L^{-3}$	$kN/m^3$

\*) v. și STAS 3950-74.

\*\*) In coloana 1 sunt inacrise paginile din "Manualul de Laborator Geotehnic" in care sunt definite mărimele si precizate tehniciile experimentale.

\*\*\*) Pentru calculele curente se poate admite :

$\gamma_w = 10 kN/m^3$   
 $\gamma_s = 26 kN/m^3$  - pentru pământuri nisipoase  
 $\gamma_d = 27 kN/m^3$  - pentru pământuri argiloase

- 1a -

1	2	3	4	5
-	Greutatea volumică în stare submersată	$\gamma_{sat}$	$F \cdot L^{-3}$	$kN/m^3$
-	Greutatea specifică a apei ***)	$\gamma_w$	$F \cdot L^{-3}$	$kN/m^3$

### 1.3.2. Mase ale unității de volum

52-54	Densitatea pământului	$\rho$	$M \cdot L^{-3}$	$g/cm^3$
28-38	Densitatea scheletului	$\rho_s$	$M \cdot L^{-3}$	$g/cm^3$
55	Densitatea în stare uscată	$\rho_d$	$M \cdot L^{-3}$	$g/cm^3$
58	Densitatea în stare submersată	$\rho_{sat}$	$M \cdot L^{-3}$	$g/cm^3$
-	Densitatea apei	$\rho_w$	$M \cdot L^{-3}$	$g/cm^3$

### 1.3.3. Raport goluri - volum total, goluri-volum fază solidă

19	Porozitate	n	-	%
19	Indicele porilor	e	-	-

### 1.3.4. Mărimi care definesc starea și capacitatea de îndesare a pământurilor nisipoase

39-43	Gradul de îndesare	$I_D$	-	-
45	Capacitatea de îndesare	$C_i$	-	-

### 1.3.5. Conținut de apă în stare lichidă, raport volum apă - volum goluri

20-27	Umiditatea	w	-	%
27-28	Gradul de umiditate (de saturatie)	$S_r$	-	-

### 1.4. Caracteristici ale fazei solide.

TABELUL 1.2

#### 1.4.1. Granulozitatea

	Diametru efectiv	$d_{lo}$	L	mm
46	Coeficient de neuniformitate	$U_n$	-	-

- 11 -

#### 1.4.2. Dispersiunea

1	2	3	4	5
-	Suprafața specifică	$A_{sp}$	$L^{-1}$	$cm^2/cm^3$
-	Gradul de dispersie	D	$L^{-1}$	$%/cm$

### 1.5. Caracteristici ale naturii și stării fizice a pământurilor argiloase.

TABELUL 1.3

	1.5.1. Plasticitățile și relațiile cu spa adsorbite			
67-69	Limita inferioară de plasticitate $w_p$ (Limita de frângere)	-	-	%
69-76	Limita superioară de plasticitate $w_L$ (Limita de curgere)	-	-	%
65-66	Indicele de plasticitate $I_p$	-	-	-
77	Indicele de activitate $I_A$	-	-	-
112-116	Caldura maximă de umezire $q_{UM}$	-	-	J/g
130-132	Capacitatea de adsorbție $C_A$	-	-	%

### 1.5.2. Starea de consistență, umflarea - contractia

76-77	Indicele de consistență $I_C$	-	-	-
132-133	Limita de contractie $w_s$	-	-	%
132-138	Contractia volumică $C_v$	-	-	%
137-138	Indice de contractie-umflare $I_{eu}$	-	-	-
128-130	Umflare liberă $u_L$	-	-	%

### 1.5.3. Starea de tensiune a apei din pori, capilaritatea, permeabilitatea, antrenarea hidrodinamică

	Presiunea apei din pori (Presiunea neutră)		$F \cdot L^{-2}$	$kPa$ $Bar$ $kg/cm^2$
110-111	Sucțiune	$s$	$F \cdot L^{-2}$	-
116-126	Indice sorbțional $pF$	$h$	$L$	$cm \text{ col.apă}$

- 12 -

1	2	3	4	5
96-103	Inălțime capilară	$h_c$	L	cm
77-90	Coefficient de permeabilitate	k	$L \cdot T^{-1}$	cm/s m/zi
78-80	Gradient hidraulic	i	-	•
3e	Gradient inițial	$i_0$	-	-
90-96	Gradient critic	$i_{cr}$	-	-
91	Forța curentului pe unitatea de volum de pămînt	j	$F \cdot L^{-3}$	kN/m <sup>3</sup>

#### 1.6. Caracteristici mecanice.

##### 1.6.1. Deformabilitate, compresibilitate

1	2	3	4	5
	Modul de deformare linieră	E	$F \cdot L^{-2}$	kPa daN/cm <sup>2</sup>
162	Modul de deformare edometric	M	$F \cdot L^{-2}$	kPa daN/cm <sup>2</sup>
164	Coefficient de compresibilitate	$a_v$	$L^2 F^{-1}$	'/Pa cm <sup>2</sup> /daN
162	Coefficient de compresibilitate volumică	$m_v$	$L^2 F^{-1}$	'/Pa cm <sup>2</sup> /daN
162	Indice de compresiune	$C_c$	-	-
	Indice de expansiune	$C_e$	-	-
165-167	Coefficient de consolidare	$c_v$	$L^2 T^{-1}$	cm <sup>2</sup> /s
	Factor de timp	$T_v$	-	-
	Grad de consolidare	U	-	%
167-168	Deformare specifică prin umpluire la presiunea p	$i_m p$	-	%
	Rezistență structurală	$p_o$	-	kPa daN/cm <sup>2</sup>
	Coefficient de tăiere (de pat) la solicitări statice	$k_s$	$F \cdot L^{-3}$	daN/cm <sup>3</sup>

##### 1.6.2. Ruperere prin forfecare

1	2	3	4	5
171-185	Rezistență la forfecare	$\sigma_f$	$F \cdot L^{-2}$	kPa daN/cm <sup>2</sup>
172	Coeziunea	c	$F \cdot L^{-2}$	kPa daN/cm <sup>2</sup>
172	Unghiul de frecare interioară	$\phi$	-	grade
202-207	Coeziunea efectivă	c'	$F \cdot L^{-2}$	kPa daN/cm <sup>2</sup>
202-207	Unghiul de frecare interioară efectivă	$\phi'$	-	grade

- 13 -

1	2	3	4	5
199-201	Coeziunea aparentă (in stare nedrenată)	$c_u$	$F \cdot L^{-2}$	kPa daN/cm <sup>2</sup>
199-201	Unghiul de frecare interioară aparentă (in stare nedrenată)	$\phi_u$	-	° grade

#### 1.7. Starea de tensiuni și deformare în teren

TABEL 1.5

1	2	3	4	5
	Efort unitar normal	$\sigma$	$F \cdot L^{-2}$	kPa daN/cm <sup>2</sup>
	Efort unitar normal efectiv (intergranular)	$\sigma'$	$F \cdot L^{-2}$	kPa daN/cm <sup>2</sup>
	Efort unitar tangențial	$\tau$	$F \cdot L^{-2}$	kPa daN/cm <sup>2</sup>
	Presiunea geologică	$\sigma_g$	$F \cdot L^{-2}$	kPa daN/cm <sup>2</sup>
	Presiunea geologică efectivă (intergranulară)	$\sigma_g'$	$F \cdot L^{-2}$	kPa daN/cm <sup>2</sup>
	Eforturi principale - maxim - intermediar - minim	$\sigma_1$ $\sigma_2$ $\sigma_3$	$F \cdot L^{-2}$	kPa daN/cm <sup>2</sup>
	Unghiul de devierea efortului	$\theta$	-	° grade

#### 1.7.2. Deformări

1	2	3	4	5
	Deformare specifică liniară	$\epsilon$	-	%
	Deformare unghiulară	$\delta$	-	-
	Coefficientul Poisson	$\nu$	-	-

#### 1.8. Presiunile pământului

TABEL 1.6

1	2	3	4	5
	Coefficientul presiunii pământului	K	-	-
	Coefficientul impingerii active	$K_a$	-	-
	Coefficientul rezistenței passive	$K_p$	-	-
	Coefficientul presiunii în stare de repaos	$K_o$	-	-

- 14 -

	2	3	4	5
	Unghiul de frecare la contactul teren - construcție	$\delta$	-	0 grade
	Presiunea pământului - impingere activă - impingere în stare de repaos - rezistență pasivă	$p_a$ $p_o$ $p_p$	$F \cdot L^{-2}$	kPa daN/cm <sup>2</sup> -
	Rezultanta presiunii pământului : - impingere activă - impingere în stare de repaos - rezistență pasivă	$p_a$ $p_o$ $p_p$	$F$	kN

1.9. Elemente pentru estimarea stabilității taluzurilor

TABEL 1.7

	Inăltimea taluzului	H	L	m
	Unghiul taluzului cu orizontală	$\beta$	-	grade
	Inăltimea critică	$H_c$	L	m
	Factor de stabilitate	$F_s$	-	-
	Număr de stabilitate	$N_s$	-	-
	Reportul presiunii apei din pori	$r_u$	-	-

1.10. Fundații directe

TABEL 1.8

	Lățimea suprafeței de fundare	B	L	m
	Lungimea suprafeței de fundare	L	L	m
	Adincimea de fundare	$D_f$	L	m
	Presiunea convențională de calcul a terenului de fundare	$p_{conv}$	$F \cdot L^{-2}$	kPa daN/cm <sup>2</sup>
	Presiunea critică pe terenul de fundare	$p_{cr}$	$F \cdot L^{-2}$	kPa daN/cm <sup>2</sup>

- 15 -

	2	3	4	5
	Coefficient de capacitate portantă : - pentru lățimea suprafeței de fundare - pentru adincimea de fundare - pentru coezințe	$N_f$ $N_q$ $N_c$	-	-
	Tasarea absolută a fundației	s	L	cm
	Incovoierea relativă a fundațiilor flexibile	f	-	-
	Rotirea fundațiilor	$\tan \theta$	-	-

1.11. Fundații pe piloți

TABEL 1.9

Diametrul sau lățura secțiunii pilotului	d	L	m
Perimetrul secțiunii transversale a pilotului	U	L	m
Lungimea pilotului	l	L	m
Faza pilotului	1'	L	m
Capacitatea portantă	R	F	kN
Încărcarea critică	$P_{cr}$	F	kN
Refuzul la batere	e	L	cm
Rezistență normată a terenului sub virful pilotului	$R^n$	$F \cdot L^{-2}$	kPa daN/cm <sup>2</sup>
Rezistență normată pe suprafața laterală a pilotului	$r^n$	$F \cdot L^{-2}$	kPa daN/cm <sup>2</sup>
Coefficient al condițiilor de lucru în grupul de piloți (coefficient de utilizare)	$n_u$	-	-
Capacitatea portantă a pilotului care lucrează în grup	$R_g$	F	kN

1.12. Fundații solicitate-dinamic

TABEL 1.10

Modul de deformare liniară la solicitări dinamice	$E_{din}$	$F \cdot L^{-2}$	kPa daN/cm <sup>2</sup>
---------------------------------------------------	-----------	------------------	----------------------------

		3	4	5
	2			
Coeficienti de acțiune pe teren:	Modul de deformare transversal la solicitări dinamice	G <sub>din</sub>	F.L <sup>-2</sup>	kPa daN/cm <sup>2</sup>
	Deplasări uniforme normale la contactul cu terenul.	C <sub>x</sub>	F.L <sup>-3</sup>	daN/cm <sup>3</sup>
	Deplasări de translație la contactul cu terenul.	C <sub>x</sub> C <sub>y</sub>	F.L <sup>-3</sup>	daN/cm <sup>3</sup>
	Deplasări din rotația fundației	C <sub>p</sub>	F.L <sup>-3</sup>	daN/cm <sup>3</sup>

Note: Având în vedere perioada de tranzitie de la vechiul sistem de unități de măsură la Sistemul Internațional, pericădă în care se utilizează lucrarea de față, mărimele de bază, pentru pre-  
sioni, eforturi unitare și module de deformare au fost redate și în daN/cm<sup>2</sup>, ceea ce permite recordarea ordinelor de mărime determinate în unități SI la cele evaluate cu vechile unități de măsură, încă în uz.

1.13. Corespondență între principalele unități de măsură utilizate în lucrare și în literatura de specialitate

TABEL 1.11

Mărime	Dimensiuni	Denumirea unităților SI.	Simbol	Echivalența între unitățile SI și unitățile frecvent utilizate în practică.
Lungime	L	metru	m	1 inch = 2,54 · 10 <sup>-2</sup> m 1 foot = 0,3048 m 1 yard = 0,9144 m
Masă	M	kilogram	kg	1 pound = 0,45359237 kg
Fortă	MLT <sup>-2</sup>	Newton = 0,9 kgf	N	1 dynă = 10 <sup>-5</sup> N 1 pound f = 4,44822 N 1 kgf = 9,80665 N 1 kilofound = 10 N
Presiune, forță unitară de deformare	ML <sup>-1</sup> L <sup>-2</sup>	Newton pe m <sup>2</sup> 1 N/m <sup>2</sup> = 1 Pa	Pa	1 kgf/cm <sup>2</sup> = 9,80665 N/cm <sup>2</sup> ≈ 1 daN/cm <sup>2</sup> = 10 <sup>5</sup> Pa 1 bar = 10 <sup>5</sup> N/m <sup>2</sup> = 10 <sup>5</sup> Pa 1 lbf/ft <sup>2</sup> = 47,3803 Pa
Mărime volumică	ML <sup>-3</sup>		g/cm <sup>3</sup>	1 pound/ft <sup>3</sup> = 1,602 × 10 <sup>-2</sup> g/cm <sup>3</sup> 1 pound/in <sup>3</sup> = 2,768 × 10 <sup>-2</sup> g/cm <sup>3</sup>

Gravitație volumică	ML <sup>-2</sup> T <sup>-2</sup>		N/m <sup>3</sup>	1 tf/m <sup>3</sup> = 9,80665 × 10 <sup>3</sup> N/m <sup>3</sup> = 10 kN/m <sup>3</sup> 1 pound/ft <sup>3</sup> = 0,158 kN/m <sup>3</sup>
Forță mechanică moment	ML <sup>2</sup> T <sup>-2</sup>	Joule sau Newton metru	J Nm	1 dyn.cm = 10 <sup>-7</sup> Nm 1 lbf.ft = 1,35582 Nm 1 Nm = 1 J

1.14. Prefixele pentru formarea multiplilor și submultiplilor unităților de măsură SI

TABEL 1.12

Prefixul	Simbolul prefixului	Factorul de multiplicare a unității de măsură
kilo	k	1.000
hecto	h	100
deca	da	10
deci	d	0,1
centi	c	0,01
milli	m	0,001

## 2. DENUMIREA SI CLASIFICAREA PĂMINTURILOR. CARACTERISTICI FIZICO-MECANICE, VALORI UZUALE.

### 2.1. Caracteristici de alcătuire și stare fizică.

2.1.1. Relațiile cantitative între fazele componente ale pămînturilor sunt redată în PLANSA 2.I, fig.2.1 și tabelul 2.1.

2.1.2. În lipsa unor date de laborator, obținute prin încercări pe probe prelevate din amplasamentele examineate, pentru estimări preliminare, pot fi utilizate valorile greutăților volumice prezentate în PLANSA 2.II, tabelul 2.2.

2.1.3. Pămînturile necoezive se caracterizează, ca natură și se clasifică, după granulozitate. Clasificarea pămînturilor necoezive și denumirea lor este redată în PLANSA 2.III, tabelul 2.3.

2.1.4. Granulozitatea pămînturilor necoezive se clasifică după valoarea coeficientului de neuniformitate  $U_n$ , conform tabelului 2.4, PLANSA 2.III.

2.1.5. Pămînturile coeze se caracterizează, ca natură și se clasifică, în funcție de plasticitate și granulozitate. Clasificarea pămînturilor coeze și denumirea lor este redată în PLANSA 2.IV, tabelul 2.5.

Pămînturile coeze pot apartine, ca plasticitate, categoriilor indicate în PLANSA 2.IV, tabelul 2.6.

2.1.6. Starea fizică a pămînturilor necoezive este caracterizată prin gradul de indesare. Clasificarea stării fizice a pămînturilor necoezive, după gradul lor de indesare, este redată în PLANSA 2.V, tabelul 2.7.

În mod orientativ, poate fi utilizată corelația dintre starea de indesare și indicele porilor pămîntului necoeziv, prezentată în PLANSA 2.V, tabelul 2.8.

Pentru caracterizarea stării fizice a pămînturilor necoezive, pot fi folosite corelațiile între gradul de indesare  $I_D$  și valoarea rezistenței la penetrare statică pe con \*)  $R_p$ , respectiv numărul de lovitură  $N$  înregistrat la penetrarea dinamică standard \*\*) prezentată în PLANSA 2.V, tabelul 2.9.

După valoarea capacitații de indesare, pămînturile necoezive se clasifică și îneadăză conform tabelului 2.10, PLANSA

### 2.V.

2.1.7. Starea fizică a pămînturilor coeze este caracterizată prin consistența lor. Clasificarea stării fizice a pămînturilor coeze, după valoarea indicelui de consistență, este redată în PLANSA 2.V, tabelul 2.11.

Pentru caracterizarea stării fizice a pămînturilor coeze, pot fi folosite, orientativ, corelațiile între indicațile de consistență  $I_C$  și valoarea rezistenței la penetrare statică pe con  $R_p$ , respectiv, numărul de lovitură  $N$  înregistrat la penetrarea dinamică standard, prezentate în PLANSA 2.VI, tabelul 2.12.

### 2.2. Caracteristici în raport cu spa.

2.2.1. Măsura umplerii cu apă a golmilor dintre particule, este exprimată de valoarea gradului de umiditate (modul de saturatie)  $S_p$ , pămîntul fiind calificat, din acest punct de vedere, în conformitate cu tabelul 2.13, PLANSA 2.VI.

2.2.2. Caracterul interacțiunii apă legată - schelet solid, este redat prin :

- indicație de activitate  $I_A$
- căldura maximă de umerezare  $Q_{UM}$ .

Clasificarea pămînturilor din punctul de vedere al caracterului interacțiunii apă legată - schelet solid, este redată în PLANSA 2.VI, tabelul 2.14, în funcție de valoarea  $I_A$  și în PLANSA 2.VI, tabelul 2.15, în funcție de valoarea  $Q_{UM}$ .

2.2.3. Permeabilitatea pămînturilor este caracterizată prin valoarea coeficientului de permeabilitate, conform tabelului 2.16, PLANSA 2.VII.

### 2.3. Caracteristici mecanice.

2.3.1. Compresibilitatea pămînturilor este caracterizată prin valoarea modulului de deformare edometric  $M$  sau ale coeficientului de compresibilitate  $a_v$ , PLANSA 2.VII; tabelul 2.17. Prezintă caracterizarea compresibilității pămînturilor, după valoarea modulului de deformare edometric și ale coeficientului de compresibilitate, pentru intervalul de presiuni de la 2 la 3 daN/cm<sup>2</sup>.

2.3.2. Deformabilitatea pămînturilor, assimilate unor medii continui, elastice și linier deformabile, este exprimată prin valoarea modulului de deformare liniară  $E^*$ ). Valoarea modulului de deformare liniară pentru principalele tipuri de pămînturi sunt cuprinse obiguit, între limitele prezentate în PLANSA 2.VII, tabelul 2.18, în funcție de starea fizică a materialului. Valoarea coeficientului Poisson variază potrivit celor redată în tabelul 2.19, PLANSA 2.VII.

\*) Determinată prin încercări conform STAS 8942/3-75.

\*\*) Determinată conform STAS 1242/2-76.

\*\*\*) Determinată conform STAS 3196-71.

2.3.3. Modulul de deformare liniară pentru pământuri coeziive,  $E$ , poate fi dedus din valoarea modulului de deformare adometrică  $M_0$ , cu relația empirică,

$$E = M_0 \cdot M$$

Valorile factorului adimensional  $M_0$ , fiind cele prezentate în tabelul 2.20, PLANSA 2.VIII, în funcție de indicele de consistență și de indicele porilor.

2.3.4. În lipsa unor valori ale modulului de deformare liniară  $E$  determinate prin încercări, pentru estimarea preliminară a tașmării fundațiilor, pot fi folosite valorile orientative, de calcul, date, pentru pământuri necoezive, în tabelul 2.21, PLANSA 2.VIII, și pentru pământuri coeziive, în tabelul 2.22, PLANSA 2.VIII.

2.3.5. Valoarea coeficientului de pat  $k_s$ , la solicitări statice, utilizat pentru determinarea presiunii de contact și a eforturilor secționale, la fundațiile continue, în ipoteza Winkler, a proporționalității dintre presiunea reactivă și deplasarea locală după normală la suprafața de contact cu terenul, este dată, orientativ, pentru principalele categorii de pământuri, în tabelul 2.23, PLANSA 2.IX.

Pentru a tine seama de dimensiunile suprafeței de contact cu terenul, valoarea coeficientului de pat poate fi estimată cu relațiile empirice :

$$k_s = \alpha \left( \frac{15}{B} + \frac{1}{L} \right) \text{ (daN/cm}^3\text{)} \quad \text{pentru pământurile necoezive}$$

$$k_s = \alpha \left( \frac{20}{B} + \frac{10}{L} \right) \text{ (daN/cm}^3\text{)} \quad \text{pentru pământurile coeziive}$$

în care :

$\alpha$  - este un factor a cărui valoare se alege din tabelul 2.24, PLANSA 2.IX, în funcție de natura și starea fizică a pământului.

$B$  și  $L$  sint, respectiv, lățimea și lungimea suprafeței de contact cu terenul, în cm.

Pentru mediul Winkler, cu coeficient de pat, variabil liniar cu adincimea de la suprafață, la calculul elementelor încastrate, piloți, coloane, barete, pot fi utilizate valorile coeficienților de proporționalitate  $m$ , din tabelul 2.25, PLANSA 2.X.

2.3.6. Alegerea valorilor coeficienților de pat  $C_s$ , la solicitări dinamice pentru :

- deplasări uniforme după normală la suprafața de contact cu terenul  $C_x$ .

- deplasări de translație după suprafața de contact cu terenul,  $C_x$ ,  $C_y$ .

- deplasări din rotația fundației în jurul unui ax cuprins în suprafața de contact cu terenul  $C_p$ .

- deplasări din rotația fundației în jurul unui ax normal pe suprafața de contact cu terenul  $C_w$ , poarte fi făcută în conformitate cu tabelul 2.26, PLANSA 2.XI.

2.3.7. Parametrii rezistenței pământurilor la ferecare, unghiul de frecare internă și coeziunea, variază în limite largi, în funcție de natura și starea lor fizică și de modul de solicitare.

Pentru estimări preliminare, în lipsa unor date din încercări, pot fi utilizate valorile din tabelul 2.27, PLANSA 2.XII.

#### 2.4. Pământuri cu caracteristici speciale :

2.4.1. Pământurile sensibile la umiditate (PSU), caracterizate prin posibilitatea apariției unor tașmări suplimentare în urma sporirii umidității, sub greutatea proprie și acțiunee încercărilor date de construcții, pot fi identificate, ca material și caracterizate, ca teren de fundare, utilizând criteriile definite în fig.2.2 și 2.3 și textul din PLANSA 2.XIII.

2.4.2. Pământurile cu umflări și contractări mari (PUCM), caracterizate prin variații mari de volum la variația umidității, pot fi identificate pe baza încercărilor de laborator, utilizând criteriile specificate în tabelul 2.28, PLANSA 2.XIV.

2.4.3. Pământurile lichefibile la solicitări seismice se identifică, ca granulositate, în conformitate cu graficul din fig.2.4 și tabelul 2.29, PLANSA 2.XIV.

Avind în vedere gradul de îndesare, pământurile lichefibile se caracterizează după criteriile redate în graficul din fig. 2.5, PLANSA 2.XIV.

**3. STAREA DE EFORTURI SI DEFORMATII  
IN TEREN**

3.1. Eforturile unitare dezvoltate, sub acțiunea unor forțe concentrate sau distribuite, transmise de fundații, se evaluază, într-o primă aproximație, considerind terenul ca un mediu echivalent continuu, omogen, izotrop, elastic și linier deformabil. În aceste condiții :

3.1.1. Eforturile unitare în teren rezultate din acțiunea unei forțe concentrate, aplicată normal pe suprafața orizontală care delimită semispătiul (fig.3.1, PLANSA 3.I), sunt date de expresiile (1). Valoarea factorului adimensional de distribuție  $K_1$ , necesar calculului efortului unitar normal vertical  $\bar{U}_z$ , este dată în tabelul 3.1.

3.1.2. Eforturile unitare în teren rezultante din acțiunea unor forțe linier distribuite, dispuse normal pe suprafața orizontală care delimită semispătiul (fig.3.2, PLANSA 3.I), sunt date de expresiile (2).

Valoarea factorului adimensional de distribuție  $K_1$ , necesar calculului efortului unitar normal vertical  $\bar{U}_z$ , din acțiunea forței linier distribuite, se citește pe graficul 3.1.

3.1.3. Efortul unitar normal vertical  $\bar{U}_z$ , în teren, pe verticala punctului M din mijlocul unei suprafețe dreptunghiulare pe care acționează o presiune uniformă distribuită și a punctului C, din colțul același suprafețe, se obține cu expresiile (1) și (2) din PLANSA 3.II, fig.3.3. Valorile factorilor adimensionali de distribuție,  $K_M$  și  $K_C$ , sunt date în tabelele 3.2 și 3.3.

3.1.4. Efoturile unitare normale și tangențiale, verticale și orizontale în teren, sub acțiunea unei presiuni distribuite în figie orizontale de lățime B, se determină cu expresiile (1), (2) și (3) din PLANSA 3.III, fig.3.4. Valorile factorilor adimensionali de distribuție  $K_z^f$ ,  $K_x^f$ ,  $K_{xz}^f$ , sunt date în tabelele 3.4, 3.5 și 3.6.

3.1.5. Efoturile unitare normale verticale, în teren,  $\bar{U}_z$ , sub acțiunea unei presiuni cu diagramă triunghiulară, distribuită în figie orizontale de lățime B, se determină folosind expresia din PLANSA 3.IV, fig.3.5. Valorile factorilor adimensionali de distribuție  $K_z^{ft}$ , sunt date în tabelul 3.7.

3.1.6. Pentru diagrama de încărcare prismă triunghiulară, cu sarcina distribuită pe o suprafață de formă dreptunghiulară, cu presiunile nule și maximă în lungul laturilor lungi (PLANSA 3.V, fig.3.6), efoturile unitare normale verticale,  $\bar{U}_z$ , pe verticala colțului cu presiune nulă și a celui cu presiune maximă C, sunt date de expresiile (1) și (2).

Valorile factorilor adimensionali de distribuție  $K_z^{ft}$  și  $K_z^{fc}$  sunt date în tabelele 3.8 și 3.9.

3.1.7. Efortul unitar normal vertical,  $\bar{U}_z$ , în teren, pentru o încărcare uniformă distribuită pe o suprafață circulară de rază R, este dat de expresia din PLANSA 3.VI, fig.3.7.

Valorile factorilor adimensionali de distribuție  $K_{cerc}$ , sunt date în tabelul 3.10.

3.1.8. Efoturile unitare principale  $\bar{U}_1$ ,  $\bar{U}_3$ , respectiv efoturile unitare normale  $\bar{U}_z$  și  $\bar{U}_x$ , precum și efoturile unitare tangențiale  $\bar{U}_{xz} = \bar{U}_{xx}$ , în teren, pentru diagramele de încărcare, în fizie, din PLANSA 3.VII, fig.3.8 la 3.15, se determină utilizând expresiile corespunzătoare din tabelul 3.11.

3.1.9. Intensitățile efoturilor unitare normale verticale în medii stratificate, variază cu grosimile stratelor, raportate la dimensiunea în plan a diagramei de încărcare și cu deformabilitatea relativă a stratelor.

În PLANSA 3.VIII sunt prezentate trei situații caracteristice de stratificare și solicitare :

fig.3.16 - încărcare uniformă distribuită în fizie de lățime B pe un strat deformabil de grosime h, așezat pe un suport rigid, pentru care este dată expresia (1) a efortului unitar normal vertical în planul median  $\bar{U}_z$ . Valorile factorilor adimensionali de distribuție  $K_z$  sunt date în tabelul 3.12.

fig.3.17 - încărcări uniforme distribuite pe suprafețe circulare sau dreptunghiulare, acționind pe un strat deformabil de grosime h, așezat pe un suport rigid, pentru care este dată expresia (2) a efortului unitar normal vertical  $\bar{U}_z$  în axul diagramei de presiuni. Valorile factorilor adimensionali de distribuție  $K_z$  sunt date în tabelul 3.13.

fig.3.18 - încărcare uniformă distribuită în fizie de lățime B, aplicată unui sistem deformabil bătărit cu rigiditate mai mare pentru stratul

superior, pentru care este dată expresia (3) a efortului unitar normal vertical  $T_z$  la contactul între străzi. Valorile factorilor adimensionali de distribuție  $K^f_{\text{contact}}$ , calculate pentru situația în care efortul tangențial la baza stratului superior este nul, sunt date în tabelul 3.14.

3.2. Tasarea suprafeței limită a semispaijului elastic continuu omogen, isotrop și linier deformabil cu modulul de elasticitate  $E_0$ , pentru solicitări din acțiunea sarcinilor concentrate sau distribuite, transmise de fundații, se determină utilizând expresiile deplasărilor verticale ale punctelor situate pe această suprafață. Tasarea poate fi evaluată și prin insumarea deformațiilor verticale ale terenului din zona activă a fundațiilor, sub acțiunea sporului de solicitare de compresiune rezultat din încărcarea transmisă la contactul fundație-teren.

În acest mod de evaluare a tasărilor, solicitarea de compresiune asupra terenului din zona activă se stabilește înțindând seama de distribuția eforturilor unitare, conform celor prezentate sub pct. 3.4.

3.2.1. Tasarea  $W_i$ , într-un punct i de pe suprafața limită a semispaijului solicitat de o forță concentrată acționând normal pe această suprafață (fig. 3.19, PLANSA 3.IX) este dată de expresia (1).

3.2.2. Tasarea  $s_{ij}$  într-un punct i al suprafeței limită a semispaijului, sub acțiunea unei sarcini uniforme distribuite pe o suprafață de formă dreptunghiulară avind centru în punctul j, la distanță x de i, în lungul axei de simetrie a suprafeței de încărcare (fig. 3.20, PLANSA 3.IX) este dată de expresia (2).

Valorile coeficienților adimensionali F, sunt date în tabelul 3.15.

3.2.3. Tasarea suprafeței limită a semispaijului elastic, în dreptul centrului unei suprafețe de încărcare de formă circulară sau dreptunghiulară pe care acționează o presiune uniformă distribuită, respectiv în dreptul colțului suprafețelor dreptunghiulare este dată de expresia din PLANSA 3.X.

Valorile coeficienților adimensionali  $\omega_j$ , pentru calculul tasării în centrul sau la colțul suprafeței uniform încărcate, precum și pentru evaluarea tasării uniforme a unei fundații rigide, sunt date în tabelul 3.16.

3.2.4. Tasarea unui strat elastic, de grosime limitată situat pe suprafață rigidă și solicitat de o încărcare uniformă distribuită pe o suprafață circulară, dreptunghiulară sau în fizie, este

dată de expresia din PLANSA 3.XI, fig. 3.21. Valorile coeficienților adimensionali  $\omega_{jh}$ , sunt date în tabelul 3.17.

3.2.5. Contraibuirea unui strat orizontal, la tasarea medie a suprafeței limită a semispaijului elastic, sub o încărcare distribuită uniform pe o suprafață circulară sau dreptunghiulară, este dată de expresia prezentată în PLANSA 3.XII, fig. 3.22.

Valorile coeficienților adimensionali  $K_i$  și  $K_{i-1}$  sunt date în tabelul 3.18.

3.3. Desfășurarea în timp a tasării stratelor de pământuri argiloase saturate, sub acțiunea încărcărilor distribuite date de ramblei sau fundații, poate fi estimată, pe baza teoriei matematice a consolidării, dacă probele de compresibilitate în laborator atestă aplicabilitatea acestei teorii în gama de solicitări reale ale terenului.

În PLANSA 3.XIII pag. 1, sunt prezentate ecuațiile diferențiale ale proceselor consolidării uniaxiale, plane, spațiale și radiale - axial simetrică (fig. 3.23).

Valorile coeficienților de consolidare  $C_v$ ,  $C_K$ , se stabilesc utilizând curba de consolidare în timp determinată prin încercări de laborator.\*)

3.3.1. Soluția generală a ecuațiilor diferențiale pentru consolidarea uniaxială sau pentru consolidarea radială-axială simetrică, are forma din expresia (5) sau (6) din PLANSA 3.XIII, care exprimă legătura dintre gradul de consolidare și factorul de timp.

3.3.2. Pentru estimarea consolidării uniaxiale a unui strat cu presiune neutră inițială uniformă distribuită pe toată grosimea stratului și condiții de drenare liberă, la limita sa superioară și inferioară (fig. 3.24, PLANSA 3.XIV) sunt date, în tabelul 3.19.a, valorile gradului de consolidare U în funcție de factorul de timp  $T_v$  și în tabelul 3.20.a, valorile  $T_v$  în funcție de U.

Se atrage atenția asupra faptului că stratul de grosime  $ZK$  care are condiții de drenare liberă la ambele limite se consolidă în același timp cu stratul de grosime H, care are o limită cu drenare liberă și una impermeabilă.

3.3.3. Pentru estimarea consolidării uniaxiale a unui strat cu presiune neutră inițială, distribuită linier pe grosimea stratului și condiții de drenare cunoșute, la limita sa superioară și inferioară (fig. 3.25 PLANSA 3.XIV-continuare) sunt date în graficul 3.2 relațiile între gradul de consolidare  $U_v$  și factorul de timp  $T_v$ .

\*). După metodologia descrisă în Manualul de laborator geotehnic.

3.3.5. Pentru estimarea consolidării uniaxiale a unui strat cu presiune neutră inițială distribuită semisinusoïdal pe grosimea stratului și condiții de drenare liberă la ambele limite ale stratului (fig.3.27, PLANSA 3.XIV-continuare), sunt date în tabelul 3.19.c. Valorile gradului de consolidare  $U$  în funcție de factorul de timp  $T_y$  și în tabelul 3.20.c valorile  $T_y$  în funcție de  $U$ .

3.3.5. Pentru estimarea consolidării uniaxiale a unui strat cu presiune neutră inițială distribuită sinusoidal pe grosimea stratului și condiții de drenare liberă la ambele limite ale stratului (fig.3.28, PLANSA 3.XIV-continuare), sunt date în tabelul 3.19.d valorile gradului de consolidare  $U$  în funcție de factorul de timp  $T_y$  și în tabelul 3.20.d, valorile  $T_y$  în funcție de  $U$ .

3.3.6. Pentru estimarea consolidării uniaxiale a unui strat cu presiune neutră inițială distribuită trigonometrică pe grosimea stratului și condiții de drenare liberă la ambele limite ale stratului (fig.3.29, PLANSA 3.XIV-continuare), sunt date în tabelul 3.19.e, valorile gradului de consolidare  $U$  în funcție de factorul de timp  $T_y$  și în tabelul 3.20.e, valorile  $T_y$  în funcție de  $U$ .

3.3.7. Pentru estimarea consolidării uniaxiale sub încărcare liniar crescătoare urmată de sarcină constantă în timp (fig. 3.30, PLANSA 3.XIV-continuare), în graficul 3.3 sunt date valorile gradului de consolidare  $U$  în funcție de factorul de timp  $T_y$ . Valoarea factorului de timp  $T_0$ , pentru sfîrșitul perioadei de încercare se determină conform indicațiilor din fig.3.31.

3.3.8. Pentru estimarea consolidării radiale-axial simetrice, a unui strat de formă cilindrică circulară cu rea bazei  $R$ , având deformare axială uniformă și drenare liberă numai în ax (fig.3.32 și 3.33, PLANSA 3.XIV-continuare), sunt date în tabelul 3.21, valorile gradului de consolidare radială  $U_r$ , în funcție de factorul de timp  $T_r$ .

3.3.9. În cazul în care, concomitent are loc drenarea liberă uniaxială verticală și drenarea liberă radială-axială simetrică, spre coloane drenante introduse în teren (fig.3.34, PLANSA 3.XIV - continuare), gradul de consolidare  $U_{total}$  se obține din expresia (7), cunoscând valorile gradului de consolidare uniaxial  $U$  și a celuilor radial  $U_r$ .

4. STAREA LIMITĂ DE EFORTURI, ÎN TEREN,  
PRESIUNEA LIMITĂ DE CEDARE PLASTICA LOCALĂ,  
PRESIUNEA CRITICĂ DE REFULARE LATERALĂ

4.1. Într-un punct din terenul solicitat prin realizarea unor construcții (debleuri, rambleuri), sau prin acțiunea presiunilor transmise de fundații și sub influența propriei greutăți, starea limită este atinsă, atunci cind efortul unitar tangențial pe un plan ce trece prin acel punct, egalează rezistența la forfecare ce poate fi mobilizată de pămînt, pe același plan.

Intensitatea ale efortului unitar tangențial, ce depășește rezistența la forfecare a pămîntului, într-un punct, sau mai multe, din masivul solicitat, conduce la cedarea lui locală și, ca urmare, la redistribuirea eforturilor în teren. Odată cu apariția cedării locale în teren, asimilarea mediului solicitat cu unul elastic, liniar deformabil, nu mai este, teoretic, justificată.

4.1.1. Cunoscind starea de eforturi în teren, exprimată prin valorile eforturilor principale, punctele în care este atinsă starea limită de eforturi sunt același pentru care este împlinită condiția redată grafic în fig.4.1 PLANSA 4.I și prezentată analitic, în expresiile (1) și (2).

4.1.2. Pentru starea de eforturi în teren, exprimată prin valorile eforturilor unitare normale și tangențiale paralele cu direcția unor axe rectangulare de referință, starea limită de eforturi este redată grafic în fig.4.2 PLANSA 4.II și prezentată analitic în expresiile (1) și (2).

4.1.3. Starea limită de eforturi într-un punct din terenul solicitat poate fi redată și prin valoarea factorului de siguranță  $\gamma_s$  definit prin relația (1) din PLANSA 4.III, cu semnificație grafică din fig.4.3, sau prin valoarea gradului de mobilizare a rezistenței la forfecare. Valoarea egală cu unitatea pentru factorul de siguranță, sau pentru gradul de mobilizare a rezistenței la forfecare, corespunde situației în care, în punctul respectiv, este atinsă starea limită. Gradul de mobilizare a rezistenței la forfecare, este determinat prin relația (2).

4.2. Pămîntul solicitat prin acțiunea presiunilor transmise de fundații sau a încărcărilor cu rambleuri, se deformează, dominând prin îndesare, pînă la atingerea stării limitei locale. Însemnatatea presiunii, de la care este îndeplinită condiția de cedare

plastică, într-un prim punct, în teren, este denumită presiune limită de cedare plastică locală  $p_g$ . Poziția în teren a primului punct în care este împlinită condiția de cedare plastică, este determinată de tipul de diagramă de distribuție a presiunilor pe suprafața de încărcare. Prin depășirea presiunii limită de cedare plastică locală, deformările de alumecare angajează volume din ce în ce mai mari, în situații de stare limită. Pentru o încărcare distribuită, crescătoare, transmisă de o fundație directă, relația presiune - tasare prezintă slura caracteristică din fig.4.4 PLANSA 4.IV.

4.2.1. Presiunea limită de cedare plastică locală  $p_g$ , pentru o încărcare uniformă distribuită transmisă de o fundație directă continuă, este dată de expresia (1) din PLANSA 4.IV. Coeficientii  $N_g^1$  și  $N_g^2$  corespunzători, respectiv, aporțului adâncimii de fundare și aportului coeziunii, la valoarea presiunii limită de cedare plastică locală,  $p_g$ , sunt date în tabelul 4.1. Primul punct în care apare cedarea plastică locală, pentru diagrama de presiuni considerată, se găsește pe suprafața încărcată, la marginea ei.

4.2.2. Se admite că tasările fundațiilor directe care transmit și repartizează terenului presiuni uniforme distribuite, rămân practic proporțională cu intensitatea presiunii, pînă la o valoare a acesteia  $p_{g1} > p_g$ , pentru care zona plastică dezvoltată în teren atinge o adâncime sub talpa fundației egală cu un sfert din lățimea ei B (fig.4.5 PLANSA 4.V). Valorile  $p_{g1}$  se calculează cu expresiile (1) sau (2). Valorile coeficientelor  $N_1$ ,  $N_2$  și  $N_3$ , precum și valorile coeficientului condițional de lucru  $m_g$ , sunt date în tabelul 4.2 respectiv tabelul 4.3.\*

4.3. Pentru o anumită presiune repartizată terenului, pentru aceasta cedarea primă forfecare după suprafață de alunecare și reflecție laterală (fig.4.4, PLANSA 4.IV și fig.4.6 a și b, PLANSA 4.VI).

Valoarea presiunii critice depinde de dimensiunile și forma în plan a suprafeței de fundare, de adâncimea de fundare, de diagrama distribuției presiunilor la contactul fundație - teren, de modul de aplicare a încărcării și de caracteristicile de rezistență ale pământului solicitat.

4.3.1. Pentru suprafețe de fundare plane, orizontale, de formă dreptunghiulară sau circulară, care transmit terenului presiuni distribuite cu inclinare de cel mult  $5^\circ$  în raport cu normala la contactul fundație - teren, în condițiile unei stratificării aproximativ orizontale, presiunea critică se obține prin insumarea termenului care exprimă influența lățimii fundației, cu termenul care redă

\*) v. și STAS 8316-77.

efectul adâncimii de fundare și cu termenul care reprezintă contribuția coeziunii pământului din zona de cedare, conform expresiei (1), PLANSA 4.VI.

Valorile coeficientelor de capacitate portantă  $N_g$ ,  $N_q$  și  $N_c$  în funcție de unghiul de frecare al pământului din zona de cedare precum și valorile coeficienților de formă ai tălpilor fundației  $\lambda_f$ ,  $\lambda_q$ ,  $\lambda_c$  sunt date, respectiv, în tabelul 4.4 și tabelul 4.5.\*). Încărcarea critică  $Q_{cr}$  se obține cu expresia (2).

4.3.2. În cazul în care presiunile transmise terenului sunt inclinate cu mai mult de  $5^\circ$  în raport cu normala la suprafața orizontală de fundare (fig.4.7, PLANSA 4.VII), presiunea critică se evaluatează cu expresia (1).

Valorile factorilor de capacitate portantă  $N_g$ ,  $N_q$ ,  $N_c$  în funcție de unghiul de frecare al pământului din zona de cedare sunt date în tabelul 4.6.

Valorile factorilor de corecție pentru forma în plan și suprafaței de fundare se determină cu relațiile din tabelul 4.7.

Valorile factorilor de corecție pentru orientarea planului în care lucrează forța rezultantă  $Q$ , se stabilesc cu relațiile din tabelul 4.8.

4.3.3. Pentru încărcări distribuite transmise de fundații continue, în lungul unui taluz plan, pe platformă superioară sau pe pantă fig.4.8, PLANSA 4.VIII, presiunea critică se obține cu relația (1). Valorile factorilor de capacitate portantă  $N_g$ ,  $N_{cq}$  și a factorilor de corecție  $S_g$  și  $S_c$  se determină din graficele 4.1, 4.2, 4.3 și 4.4.

4.3.4. În situația în care terenul, în zona de cedare este constituit dintr-un strat superior coeziu, cu frecare internă nulă, urmat de un strat coeziu, cu frecare internă nulă, avind rezistență la forfecare mai mică (fig.4.9, PLANSA 4.IX), presiunea critică pentru cazul acțiunii unei încărcări distribuite uniform în fâșie, se obține cu relația (1). Valorile factorului de capacitate portantă  $N_c$  se obțin din graficele 4.5.

4.3.5. Pentru fundații cu suprafață de fundare patrată, circulară sau în fâșie, care transmit terenului presiuni uniforme distribuite, terenul fiind constituit, în zona de cedare dintr-un strat superior, pe care se fundea, avind rezistență la forfecare asigurată prin coeziunea  $c_1$ , și un strat inferior cu rezistență la forfecare asigurată prin coeziunea  $c_2$ , diferită de aceea a stratului superior (fig.4.10, PLANSA 4.X), presiunea critică este dată de ex-

\*) Pentru alegarea valorilor indicilor de calcul și rezistenței la forfecare v. STAS 8316-77.

presia (1). Valorile factorului de capacitate portantă  $N_m$  se determină din graficul 4.6 și 4.7 pentru suprafață de fundare pătrată sau circulară, respectiv pentru suprafață de fundare în figie.

## 5. STABILITATEA TALUZURIILOR SI VERSANTILOR

5.1. Terenul limitat de taluzuri amenajate sau de versanți naturali, își poate pierde stabilitatea prin desprinderea și alunecarea unui volum de rocă după o suprafață critică de cedare, în urma depășirii rezistenței la forfecare, pe această suprafață.

5.1.1. Factořul de siguranță la alunecare  $F_s$  este valoarea minimă a reportului dintre rezistența la forfecare  $\sigma_f$ , mobilizabilă pe o suprafață de cedare posibilă și efortul tangențial  $\tau$  dezvoltat pe aceea suprafață (fig.5.1.a, expresie (1), PLANSA 5.I).

Valori minime supraunitare ale coeficienților de siguranță  $F_s$ , pentru suprafețele de alunecare posibile în terenul mărginit de taluzuri amenajate sau versanți naturali, atestă condiții de stabilitate.

5.1.2. Pericolul apariției unei alunecări poate fi estimat și prin considerarea valorii gradului de mobilizare, m'a rezistenței la forfecare a rocii, după suprafețele de alunecare posibile (expresie (2) PLANSA 5.I).

Valori maxime subunitare ale gradului de mobilizare a rezistenței la forfecare a rocii, pentru suprafețele de alunecare posibile corespund unei situații de stabilitate.

5.1.3. La modificarea stării de eforturi în masiv, pe măsură realizării unei excavații, prin intervenția unei suprincipărcări în zona taluzului sau în urma acțiunii hidrostatice și hidrodinamice a apelor subterane, pot crește eforturile tangențiale, situație în care se produc deformații de alunecare în teren (fig.5.1.b).

Crescerea deformațiilor de alunecare corespunde unei creșteri a gradului de mobilizare a rezistenței la forfecare, respectiv unei scăderi a coeficientului de siguranță la alunecare.

5.1.4. Condițiile de stabilitate ale unui taluz sau versant, pot fi exprimate și prin referirea la valoarea unghiului de deviere de la normală a efortului unitar rezultant dezvoltat pe suprafața de alunecare (fig.5.1.c, expresiile (3) și (4)).

5.2. Centrul limită stabil a unui taluz, în pămînt coeziu și

cu frecare internă, poate fi trazat, pentru estimări preliminare, prin metoda unghiului de tâiere  $\Psi$  (fig.5.2, PLANSA 5.I).

Pentru construcția curbei limite a taluzului, se admite că efortul unitar normal pe orice plan, în teren, este egal cu sarcina litostatică.

Factorul de siguranță este dat de expresia (5) și curba taluzului stabil, cu factor de siguranță unic  $F_s$ , este dată de expresia (6). Pentru medii stratificate orizontal, la fiecare cotă ( $z$ ) se introduce, în expresiile (5), indicii rezistenței la forfecare corespunzători pământului din stratul respectiv.

5.3. Estimarea condițiilor de stabilitate la alunecare ale unui talus, poate fi făcută prin analiza variației factorului de siguranță în funcție de forma și poziția suprafeței posibile de alunecare. Suprafața de alunecare posibilă pentru care factorul de siguranță are valoarea minimă, egală sau mai mică decit unitatea este o suprafață critică.

După natura rocii, suprafața de alunecare posibilă, se admite ca plană, cilindrică cu direcție circulară, sau cilindrică cu direcție o curbă plană carecare.

Pentru secțiuni transversale ale taluzului de formă regulată (fig.5.3, PLANSA 5.II) relația dintre factorul de siguranță, elementele geometrice care definesc forma taluzului și valorile caracteristicelor pământului,  $N_s$ ,  $\theta$  și  $c$ , considerat omogen și izotrop, are, pentru orice fel de suprafață de alunecare, forma generală dată de expresia (1) (PLANSA 5.II), în care  $N_s$  este numărul de stabilitate al taluzului. Membrul al treilea al expresiei (1) (PLANSA 5.II), variază în funcție de forma adoptată, în calcul, pentru suprafața de alunecare. Expresia (1) servește pentru a determina valoarea factorului de siguranță.

5.3.1. Pentru ruperea plană, prin piciorul taluzului (fig.5.3, PLANSA 5.II), membrul al doilea al expresiei numărului de stabilitate, se calculează cu relația (2) (PLANSA 5.II).

5.3.2. Pentru ruperea cilindro-circulară prin piciorul taluzului și pe sub el, în cazul unui pămînt omogen cu frecare și coeziune, valoarea membrului al treilea al expresiei (1) (PLANSA 5.II) se calculează pe graficul 5.1, PLANSA 5.II, în condițiile precizate în PLANSA 5.II, pag.2.

5.3.3. Pentru un pămînt coesiv cu frecare internă nulă, valoarea membrului al treilea al expresiei (1) (PLANSA 5.II) se ia din graficul 5.2, PLANSA 5.III în condițiile precizate în fig.5.4 (PLANSA 5.III).

5.4. Pentru forme carecare de taluzuri sau versanți, estimarea condițiilor de stabilitate se poate face prin metode grafo-

analitice. Admînd că suprafețe de rupere, suprafețe cilindro-circulare, se utilizează curent metoda figiilor (Fellenius) și metoda cercului de fricțiune (Taylor).

5.4.1. Valoarea factorului de siguranță, în metoda figiilor (fig.5.5) cu ipoteza simplificatoare că forțele de interacțiune între figii își fac echilibru, este dată de expresia (1), PLANSA 5.IV.

Calculul factorului de siguranță se face tabelaric utilizând ecuațioanele și liniile din tabelul 5.1.

5.4.2. Valoarea factorului de siguranță poate fi estimată prin metoda cercului de fricțiune (fig.5.6, PLANSA 5.V). Distanța resultantea de la centrul cercului de alunecare,  $I$ , se stabilește cu expresia (1). Factorii de siguranță în raport cu coeziunea,  $F_s^c$ , și factorul global de siguranță  $F_s$ , se determină cu relațiile (1), (2), (3), (4) (PLANSA 5.V).

Corecția  $K$  a razei cercului de fricțiune  $r = R \sin \theta$ , determinată, în funcție de distribuția presupusă a eforturilor normale pe suprafața de alunecare, se ia din graficul 5.3.

5.5. Pentru cazul alunecării după suprafața de rupere de formă carecare, se poate utiliza metoda figiilor, cu forțe de interacțiune normale pe separație între figii (fig.5.7, a, b și c, PLANSA 5.VI), pentru estimarea condițiilor de stabilitate. Semnificația grafică a condițiilor de echilibru pentru masa de pămînt aflată deasupra suprafeței de alunecare examineată, este redată în fig.5.7.b și 5.7.c. Valorile impingerilor între figii și la extremitatea inferioară a volumului de pămînt aflat deasupra planului de alunecare, sunt date respectiv de expresiile (1) și (2).

Factorul de stabilitate se obține din grafice de tipul celor din fig.5.8 (PLANSA 5.VI) cu relația (3).

Domeniul punctelor  $P$  reprezintă parametrii de forfecare efectivi ai terenului, pe cind valorile  $c$  și  $\theta$  din expresiile (1) și (2) sunt parametrii de calcul.

Ordonatele în origine ale dreptei parametrilor de calcul ( $tg\theta$  și  $c$ ), din fig.5.8, sunt date de expresiile (4) (PLANSA 5.VI).

5.6. Acțiunea apei asupra stabilității taluzurilor, se manifestă prin subpresiunea asupra scheletului solid, prin intervenția forțelor de antrenare hidrodinamică și prin reducerea presiunii efective.

Introducerea în calcule a acestei acțiuni, se poate face în mai multe variante, după cum urmează :

5.6.1. În cazul în care se utilizează în calcule eforturile efective  $G'$ , conform relației (1) (PLANSA 5.VI), se poate evita calculul presiunii apei din porii ( $u$ ) pe suprafața de rupere, dacă se consideră efectul global al acțiunii hidrodinamice, ca în fig.5.9

(PLANSA 5.VI). Aici punctele  $M_1$  și  $M_2$  reprezintă centrele de gravitate ale volumelor (considerate omogene) situate deasupra și sub nivelul apei subterane. Din echilibrul volumului de apă  $V_2$  rezultă relația (2) ce servește la determinarea forței totale de antrenare hidrodinamică  $J$ .

Expresia factorului de stabilitate în ipoteza Fellenius, cu considerarea acțiunii apei, este dată de (3), unde indicele "1" arată o referire la zona de pămînt în stare naturală (situată deasupra apei) iar indicele "" se referă la zona submersată. În relația (3) parametrii rezistenței la forfecare  $\sigma'_i$  și  $c'_i$ , vor trebui considerați să existență efectiv la baza fiecărei fizii și determinați în încercări drenate, sau nedrenate cu măsurarea și luarea în considerare a presiunii  $u$ , neutre, iar greutățile volumice se vor lua în stare naturală  $\gamma'$ , deasupra nivelului apei și în stare submersată ( $\gamma''$ ) sub nivelul apei.

5.6.2. În cazul utilizării în calcule a eforturilor totale  $S_i$  (rel.1), va trebui determinată mărimea presiunii ( $u$ ) fie din spectrul hidrodinamic al curgerii, dacă este cunoscut, fie cu ajutorul relației (4) (PLANSA 5.VI), cu notațiile din fig.5.10 (PLANSA 5.VI). Utilizând în calcule coeficientul presiunii apei din pori  $r_u$ , dat de (5), expresia factorului  $F_s$  capătă, în ipoteza lui Fellenius, forma (7). În această expresie notațiile sunt cele din fig.5.10 (PLANSA 5.VI) ținând seama că greutatea volumică medie  $\gamma_i^m$  a fiecărei fizii, dată de (6), se determină în starea saturată pentru subfiziiile  $j$ , ce se situează sub nivelul liber al apei ( $\gamma_{sat}$ ).

În același caz, dacă se admite un coeficient mediu al presiunii apei în pori  $r_u^m$ , pentru toate fiziiile, dat de relația (8), expresia lui  $F_s$  se poate calcula cu relațiile (9), (10) și (11) (PLANSA 5.VI) unde coeficienții  $m$  și  $n$  sunt practic independenți de nivelul apei.

5.7. În metoda Bishop simplificată, se iau în considerare numai componentele orizontale  $E_i$ ,  $E_{i+1}$  (fig.5.10, PLANSA 5.VI), ale forțelor de interacțiune între fizii, admitind că cele verticale  $T_i$ ,  $T_{i+1}$  se anulează reciproc. În această metodă factorul de stabilitate se poate determina de asemenea cu relația (2) (PLANSA 5.VII), în care coeficienții  $m$  și  $n$  sunt calculați pentru diverse cazuri particulare, în tabelele 5.2, 5.3, 5.4 (PLANSA 5.VII), 5.5, 5.6 și 5.7 (PLANSA 5.VII).

Expresia analitică implicită a lui  $F_s$  este dată de (1) (PLANSA 5.VII) cu notațiile din fig.5.10 (PLANSA 5.VI).

5.8. Calculul factorului de siguranță pentru pante realizate în roci se poate efectua cu ajutorul graficelor lui Hoek.

În fig.5.11 (PLANSA 5.VIII) sunt indicate găse căzuri tipice, pentru care se pot determina funcțiile  $X$  și  $Y$  (de expresii date în fig.5.11). Cu ajutorul funcțiilor  $X$  și  $Y$  astfel calculate, în ipoteza producerii slunecării după o suprafață plană, se poate determina  $F_s$  din graficul 5.4 (PLANSA 5.IX).

În fig.5.12 (PLANSA 5.VIII) sunt indicate de asemenea, găse căzuri tipice pentru care se pot determina alte funcții  $X$  și  $Y$  (de expresii date în fig.5.12).

Cu ajutorul acestor funcții  $X$  și  $Y$ , se poate determina  $F_s$  pentru ipoteza producerii alunecării după o suprafață circular - cilindrică, cu ajutorul graficului 5.5 (PLANSA 5.X).

## 6. IMPINGEREA ACTIVA SI REZISTENTA PASIVA A PÂMINTULUI

6.1. Impingerea activă a pământului este rezultanta maximă a presiunilor distribuite, exercitată de pămînt, asupra unei susțineri care sprijină masivul aflat deasupra taluzului liber stabilit.

Impingerea activă se evaluatează, considerind starea limită de echilibru cu impingere maximă a unui volum de pămînt desprins după o suprafață de rupere plană și susținut de un element de construcție care preia impingerea (ipoteza lui Ch. A. Coulomb).

Pentru o suprafață plană de susținere și limită superioară plană a masivului sprijinit, impingerea activă a pămînturilor necesare este dată de expresia (1), cu valorile coeficientului impingerii active  $K_a$ , din expresia (2) (fig.6.1, PLANSA 6.I). Înfluența valorilor variabile ale unghiului de frecare internă, unghiului de frecare pămînt - suprafață de susținere, ale inclinării suprafetei libere a terenului și ale inclinării suprafetei de susținere, rezultă din tabelul 6.1.

6.2. Rezistența pasivă a pământului este rezultanta presiunilor distribuite ce poate fi transmisă terenului pe o suprafață inclinată, pentru situația limită de echilibru a unui volum de pămînt ce tinde să fie deplasat după o suprafață de cedare prin forfecare.

Rezistența pasivă poate fi evaluată considerind echilibrul limită pentru suprafete plane de rupere, sau suprafete curbe compuse de cedare și prin considerarea condițiilor generale de cedare plastică în masivul solicitat (v.cap.4).

6.2.1. Pentru ipoteza ruperii plane (după Ch.A. Coulomb), rezistența pasivă a unui pămînt necoaciz se obține cu expresia (1), valorile coeficientului rezistenței pasive  $K_p$  fiind date de expresia (2) (v.fig.6.2, PLANSA 6.II). Valorile  $K_p$ , după Ch. A. Coulomb sunt date în tabelul 6.2.

6.2.2. Rezistența pasivă pentru suprafete compuse de cedare, constituite dintr-o porțiune cilindrică cu direcțoarea spirală logaritmică recordată la o suprafață plană, este dată pentru

suprafață liberă a terenului, orizontală (fig.6.3, PLANSA 6.III), de expresia (1).

Coefficienții  $K_p$  se iau din graficul 6.1. Coeficienții  $K_p'$  se determină cu expresia (2).

Pentru aceeași suprafață compusă de cedare, în cazul în care suprafață liberă a terenului este plană, inclinată, rezistența pasivă opusă pe o suprafață verticală (fig.6.4, PLANSA 6.IV), este dată de expresia (1), graficul 6.2.

6.2.3. Rezistența pasivă, determinată prin considerarea condițiilor generale de cedare plastică în masivul solicitat (după A. Caquot și J. Kerisel) este dată de expresia (1) (v.fig.6.5, PLANSA 6.V). Valorile coeficientului  $K_p$  sunt date în tabelul 6.3.

### 7. EXCAVATII PENTRU FUNDATII SUB NIVELUL PERMANENT AL APELOR SUBTERANE \*)

7.1. Excavarea deschisă sub nivelul permanent al apelor subterane, necesită, pe totă durata executării, sub acest nivel, a lăcărărilor de fundații, fie evacuarea apelor infiltrate în incintă (fig.7.1, PLANSA 7.I), fie coborarea generală a nivelului apelor subterane, sub cota săpăturii (fig.7.2, PLANSA 7.I).

In condițiile existenței unei pînze acvifere sub presiune, cu acoperișul constituit dintr-un strat impermeabil, parțial decoperat sau redus ca grosime prin excavare, nivelul piezometric al apiei trebuie coborât, pentru a evita ruperea prîn subpresiune a acestui strat (fig.7.3, PLANSA 7.I).

Coborarea generală a nivelului apelor subterane se obține prîn pomparea apiei din puțuri filtre gravitaționale sau filtre aciculare vacumate, dispuse pe conturul incintei sau în interiorul acesteia.

Coborarea nivelului piezometric al apiei din pînze acvifere sub presiune se obține prîn pomparea apiei din puțuri filtre gravitaționale sau prîn puțuri filtre autodescărătoare.

Domeniile de granulozitate în care este indicată utilizarea puțurilor filtre gravitaționale și a filtrelor aciculare vacumate sunt date în fig.7.4, PLANSA 7.I.

7.1.1. Debitul de apă infiltrată într-o excavare care pătrunde sub nivelul liber al pînzei acvifere subterane (fig.7.5, PLANSA 7.II), poate fi evaluat, acoperitor, cu expresia (1).

In cazul în care incinta este înconjurată de un perete de palplanse care pătrunde sub fundul săpăturii (fig.7.5), debitul evaluat cu expresia (1) se micorează, valoarea redusă fiind dată de expresia (2). Valorile coeficientului de reducere  $\alpha$  se obțin din tabelul 7.1.

7.1.2. Prîn pomparea unui debit determinat dintr-unul sau mai multe puțuri filtre gravitaționale pătrunse în pînza acviferă cu nivel liber, pe totă grosimea sa, rezultă o coborâre a nivelului apiei subterane, dată de expresiile (1.a), (1.b) și (2.a), (2'a), (2.b), (2'b) (fig.7.6 și fig.7.7 a,b, și c, PLANSA 7.III).

Pentru evaluări aproximative ale debitului total pompat

sau ale denivelării, se utilizează expresiile (2.b), (2'b) corespunzătoare unui contur circular echivalent ca suprafață în plan cu aceea a conturului real (fig.7.7d, expresia (3)).

7.1.3. Coborarea nivelului piezometric al apiei dintr-o pînza acviferă sub presiune, prin pompări dintr-unul sau mai multe puțuri filtre, se evaluatează cu relațiile (1.a), (1.b) și (2.a), (2'b) (fig.7.8 și 7.9, PLANSA 7.IV, pag.1).

In cazul în care se folosesc puțuri autodescărătoare care debitează apa la baza săpăturii, se determină debitul individual ale puțurilor prin rezolvarea sistemului de ecuații (1) (PLANSA 7.IV, pag.2) și se calculează coborarea nivelului piezometric cu relația (2) (fig.7.10).

7.2. Pentru excavării sub nivelul apelor subterane în incintă de palplanse, în nisipuri, este necesară prevederea unei fuge a palplanzelor, sub fundul săpăturii, condiționată de asigurarea impotriva antrenării hidrodinamice.

Mărimea fugei necesare a palplanzelor pentru a evita antrenarea hidrodinamică a nisipului din fundul săpăturii, se obține din graficele 1 și 2 (PLANSA 7.V).

### 8. PROIECTAREA FUNDATIILOR DIRECTE DE SUPRAFATA SI DE ADINCIME

#### 8.1. Stape de proiectare.

8.1.1. Estimarea încărcărilor de calcul (forțe axiale și momente încovoietoare) provenite din diferite grupări fundamentale sau speciale de acțiuni (conform STAS 10101/c-75).

8.1.2. Cunoașterea naturii terenului de fundare. Etapa implică cercetări efectuate pe amplasamentul construcției, materializate într-un studiu geotehnic care trebuie să cuprindă : natura, grosimiile și caracteristicile fizice și mecanice ale stratelor ; condițiile hidrogeologice ale terenului (nivelul apei subterane și eventuala variație sezonieră a acestuia, proprietăți chimice, agresivitate ... ).

8.1.3. Stabilirea sistemului de fundare. Alegerea sistemului de fundare se face pe baza unei analize tehnico-economice în care se ia în considerare : condițiile geologice și hidrogeologice, importanța construcției, caracteristicile structurii de rezistență, mărimea încărcărilor ...

8.1.4. Determinarea adincimii de fundare ( $D_f$ ). Adincimea de fundare se alege luând în considerare cota terenului bun de fundare, adincimea de inghet, nivelul apei subterane, condițiile tehnologice impuse etc.

8.1.4.1. Adincimea minimă de fundare în funcție de adincimea de inghet și de adincimea apei subterane se va lua (PLANSA S. I ) din tabelul S. I . (conform normativului P.lo-77).

8.1.4.2. Stabilirea dimensiunilor în plan ale fundației.

8.1.4.3. Predimensionarea fundației. Pe baza încărcărilor din gruparea fundamentală, se aleg dimensiunile în plan ale fundației din condiția :

$$P_{ef} \leq P_{conv}$$

în care :

$P_{ef}$  - presiunea medie verticală provenită din încărcările din gruparea fundamentală ;

$P_{conv}$  - presiunea convențională de calcul a terenului.

8.1.5. Presiunea efectivă se calculează pe baza solicitărilor cunoscute din calculul suprastucturii (forțe axiale și momente încovoietoare), conform PLANSEI S. II(Fig.8.1, 8.2, 8.3,a,b,c)

8.1.5.1. Pentru fundații de adincime se poate lua în considerare încastrarea în teren, pentru evaluarea presiunilor efective pe talpă, conform PLANSEI S. III (Fig.8.4)

8.1.6. Valorile de bază ale presiunii convenționale de calcul se iau din PLANSA S. IV , Tabelul 8. 3 .

8.1.7. Stabilirea dimensiunilor definitive ale fundației. După stabilirea preliminară a dimensiunilor în plan ale fundației, modul de calcul, în continuare, se diferențiază în funcție de clasa construcției (PLANSA S. V , Tabelul 8.4 , conform STAS 10101/c-75) și de natura terenului de fundare. Pot apărea următoarele situații :

8.1.7.1. Construcția date de clasa I sau II.

Construcția este de clasa III,IV sau V dar terenul nu se încadrează în categoriile definite de STAS 8316-77 (PLANSA S. V , Tabelul 8. 5 ).

- presiunea efectivă pe teren provenită din încărcările din gruparea fundamentală trebuie să îndeplinească condiția de valabilitate a calculului la deformări :

$$P_{ef} < P_{pl}$$

unde  $P_{pl}$  este capacitatea portantă stabilită pe baza criteriului extinderii limitate a zonelor plastice (conform cap.4) :

Se modifică, dacă este cazul, dimensiunile în plan ale fundației, astfel incit să fie îndeplinită condiția de mai sus.

- se efectuează calculul la starea limită de deformări pentru îndeplinirea condiției :

$$\Delta < \bar{\Delta}$$

în care :

$\Delta$  - reprezintă deplasări sau deformări probabile ale construcției datorate deplasărilor și deformărilor terenului de fundare, conform STAS 3300-77 ;

$\bar{\Delta}$  - deplasări sau deformări admisibile ale construcției, conform PLANSEI S.VI , tabelul 8.6 .

- dacă condițiile de teren impun să efectuarea calculului la starea limită de capacitate portantă, în conformitate cu STAS 8316-77, este necesar să se verifice și condiția :

$$P'_{ef} < P_{er}$$

în care:

$P'_{ef}$  este presiunea medie verticală pe teren, rezultată prin împărțirea componentei verticale a rezultantei

încărcările de calcul (provenite din gruparea specială cea mai defavorabilă) la suprafața redusă a fundației

Par = presiunea critică, calculată conform cap.4.

8.1.7.2. Construcția este de clasa III, IV sau V, iar terenul de fundare se încadrează în categoriile definite de STAS 8316-77 (PLANSA 8.V, tabelul 8.5). În această situație, calculul terenului de fundare se poate face pe baze presiunilor convenționale de calcul și implică satisfacerea următoarelor condiții :

$$P_{ef} \leq P_{conv}$$

$$P'_{ef} \leq 1,2 P_{conv}$$

#### 8.1.8. Dimensiunarea fundației.

8.1.8.1. Fundații izolate. Sub stîlpii din beton armat (monolitici și prefabricați) și sub stîlpii metalici ai construcției se pot proiecta fundații izolate de tipul :

- a) Tâlpă de beton armat.
- b) Bloc de beton simplu și cuzinet de beton armat.
- c) Pahare pentru stîlpi prefabricați.

Forme constructive și prescripții de proiectare pentru fundații izolate sunt prezentate în PLANSA 8.VII. (Fig.8.5 - 8.11)

#### 8.1.8.2. Fundații continue.

8.1.8.2.1. Sub zidurile construcției se pot proiecta fundații continue din beton simplu și beton armat. Forme constructive și prescripții de proiectare pentru fundații continue sub ziduri sunt prezentate în PLANSA 8.VIII (Fig.8.12 - 8.14)

8.1.8.2.2. Sub stîlpii din beton armat ai construcției se pot proiecta fundații continue de tipul tâlpă din beton armat dispuse pe o singură direcție sau pe două direcții (retele de grinzi). Forme constructive, prescripții de proiectare, tabele de calcul etc., pentru tâlpă (grinzi continue) din beton armat, sunt prezentate în PLANSA 8.IX, 8.X (Fig.8.15, 8.16).

#### 9. PROIECTAREA FUNDATIILOR PE PILOTI

9.1. Capacitatea portantă a unui pilot izolat solicitată de forțe axiale de infigere, se determină cu relația (1), PLANSA 9.I, în funcție de încărcarea axială critică a pilotului.

Încărcarea axială critică a pilotului izolat se stabilește pe baza :

- încercărilor statice \*) pe piloți de probă introdugi în teren, în zone de stratificare tipică din amplasamentul lucrării, folosind procesul tehnologic de execuție ce urmează să fi adoptat la realizarea fundațiilor ;
- încercărilor dinamice \*\*) pe piloți de probă pe amplasament, în cazul folosirii piloților prefabricați infipti prin baterie ;
- penetrațiilor statice \*\*\*) , în zona reprezentativă din amplasamentul lucrării.

În fază preliminară de proiectare se pot utiliza formulele empirice de calcul pentru estimarea capacitatii portante a piloților, la solicitări axiale. \*\*\*\*)

9.1.1. Încercarea statică a piloților de probă furnizează, sub formă grafică (fig.9.1), sau tabelarică, relațiile dintre :

- rezistența pilotului și încărcarea axială  $P$  ;
- rezistența pilotului  $s_t$ , sub încărcare axială constantă  $P$ , la timpul  $t$  de la aplicarea sarcinii.

Pe baza datelor obținute din încărcarea axială - statică se stabilește încărcarea critică  $P_{cr}$ , folosind anul din criteriile prezentate în PLANSA 9.I.

9.1.2. Încercarea dinamică a piloților de probă furnizează pentru pilotul infipt la adincimă finală admisă în proiectul lucrării, valoarea refuzului, definit ca pătrunderea medie sub o levită, dimtr-e serie de le levituri. \*\*\*\*)

\*) STAS 2561/2-74.

\*\*) STAS 2561/2-74.

\*\*\*) STAS 1242/2-76.

\*\*\*\*) STAS 2561/3-76.

\*\*\*\*\*) Pentru stabilirea valorii refuzului utilizate în caleculul încărcării axiale critice, trebuie îndeplinite condițiile specificate în STAS 2561/2-74, pct.5.1.

Incărcarea axială critică se determină cu expresia (1) sau cu graficul 9.1 din PLANSA 9.II.

9.1.3. Incărcarea axială critică pentru piloți prefabricați înfipti prin batere, se poate determina și folosind date din incărările de penetrare statică. Valoarea incărării critice se obține cu relația (1), PLANSA 9.III. \*)

9.1.4. Capacitatea portantă a piloților izolați la solicitările de forțe axiale de înfigere, poate fi estimată, în faze preliminare de proiectare, folosind expresiile (1), (2) sau (3) și indicațiile și tabelele 9.4 la 9.11 din PLANSA 9.IV.

9.1.5. Capacitatea portantă a unui pilot izolat solicitată de forțe axiale de amulgere se determină cu relația (4) PLANSA 9.IV.

Forța critică de amulgere se stabilește prin extragerea din teren a unor piloți de probă. \*\*)

9.1.6. În faze de proiectare preliminare, capacitatea portantă a unui pilot izolat solicitată de forțe axiale de amulgere, se poate estima folosind expresia (5) din PLANSA 9.IV și datele din tabelul 9.6.

9.2. Capacitatea portantă a piloților verticali solicitată la capătul superior, de forțe orizontale transversale axului, se determină cu relația (1) din PLANSA 9.V.

Forța critică orizontală pentru un pilot izolat, poate fi estimată, folosind relațiile (2) și (3) și tabelul 9.12 din PLANSA 9.V.

9.3. Capacitatea portantă a unui pilot care lucrează în grup la solicitările axiale și transversale axului, se determină cu expresiile (1) și (2) PLANSA 9.VI, folosind datele din tabelele 9.13 și 9.14.

9.4. Forța axială într-un pilot al unei fundații pe piloți verticali, cu radier joas, actionată de încărări verticale și momente, se calculează cu expresia (1), PLANSA 9.VII.

9.5. Forța axială în piloți verticali și inclinați ai unei fundații pe piloți, în condițiile în care se poate neglija efectul momentului de încastrare al piloților, în radier, se poate determina prim :

- metoda centrului instantaneu de rotație, conform indicațiilor din PLANSA 9.VIII ;
- metoda centrului elastic, conform indicațiilor din PLANSA 9.IX.

\*) Valabilă în condițiile precizate de STAS 2561/3-76, pct. 3.2.2.3

\*\*) v. STAS 2561/2-74.

9.6. Eforturile sectionale intr-un pilot, o coloană sau un perete mulat, cu considerarea încastrării elastice în teren, pentru :  
Cazul (1) presiune reactivă proporțională cu deplasarea după normala la suprafața de contact cu terenul și coeficient de pat constant.

Cazul (2) idem cauzul (1), cu coeficient de pat linier crescător cu adâncimea, se determină utilizând formulele și tabelele 9.15 la 9.2e din PLANSA 9.I.

9.7. Calculul eforturilor sectionale în piloți, coloane sau pereti asamblați prin rediere rigide în fundații se efectuează evaluându-se deplasările și rotirile secțiunii dela limita lor superioară, din solicitări egale cu unitatea, conform indicațiilor PLANSEI 9.XI.

9.8. Solicitările ce revin, în secțiunea de încastrare într-un radier rigid, unui pilot, coloană sau perete mulat dintr-un grup de elemente portante paralele, verticale, se determină conform indicațiilor din PLANSA 9.XII.

BIBLIOGRAFIE

1. Antonescu, I. (1978). "Manual de laborator geotehnic", Institutul de construcții București.
2. Caron, M. (1978). "Les essais in situ en mécanique des sols", Eyrolles, Paris.
3. \* \* \* (1969). "Spravočník prectirovčica - Složenie a mechanika v fundamencu", Moscova.
4. Kestřík A. (1964). "Bodenmechanik", Berlin.
5. Jumikis, A. (1969). "Theoretical Soil Mechanics", New York.
6. \* \* \* "Grundbau - Taschenbuch", Verlag von Wilhelm Ernst & Sohn, Berlin - München(1966).

PLANSĂ 21  
RELATII CANTITATIVE ÎNTRU FAZELE  
COMPONENTE ALE PÂMÂNTURILOR

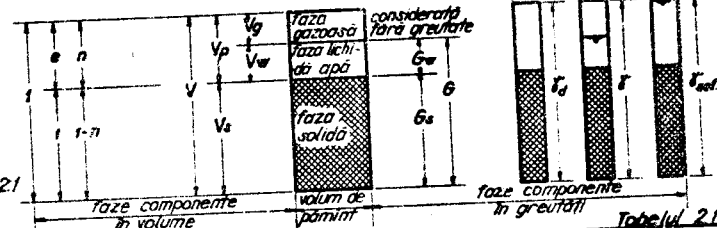


fig.21

Plansă 21

Mărimi căutate	Relatii pentru calculul mărimilor căutate *)			
	Mărimi date sau măsurate **)			
$G_s, G_w, V_s, V_g, V_p$ saturat / neasurat	$G_s = V_g \cdot V_d + V_p \cdot G_v$	$G_w = V_g \cdot V_v + V_p \cdot G_v$	$V_s = V_g + V_p$	$V_g = V_s - V_p$
$V_s$ / volumul culecerilor solide	$G_s / \delta_s$	$V - (V_g + V_p)$	$\frac{V}{(1-\eta)}$	$\frac{V}{1-\eta}$
$V_w$ / volumul apelor	$G_w / \delta_w$	$V_p - V_g$	$S_r \cdot V_p$	$S_r \cdot V \cdot \eta$
$V_g$ / volumul gazeelor	zero	$V - (V_s + V_p)$	$V_p - V_w$	$(1 - S_r) \cdot V_p$
$V_p$ / volumul porilor	$G_w / \delta_w$	$V - G_s$	$\frac{\eta \cdot V_s}{1-\eta}$	$V \cdot \eta$
$V$ / volumul total	$V_s + V_w$ măsurat	$V_s + V_w + V_g$	$\frac{V_s}{1-\eta}$	$V_p / \eta$
$\eta$ / porozitate	$V_p / V$	$1 - \frac{V_s}{V}$	$1 - \frac{\delta_s}{\delta_w} \cdot V$	$\frac{\delta_s}{\delta_w}$
e / indicație porilor	$V_p / V_s$	$\frac{V}{V_s} - 1$	$\frac{\delta_s}{\delta_w} - 1$	$G_w / \delta_w$
Greutatea parti- culor solide	măsurată	$\frac{G}{1-\eta}$	$\delta_s V (1-\eta)$	$G_w \cdot \delta_s$
$G_w$ / greutatea apelor	$G - G_s$	$w \cdot G_s$	$S_r \cdot \delta_w \cdot V_p$	$e \cdot G_s \cdot S_r \cdot \delta_w$
$G$ / greutatea totală	măsurată	$G_s (1-\eta)$	—	—
Componente de Greutate volumice	$G_s$ / greutatea solului uscat	$G_s$	$\frac{\delta_s}{1-\eta}$	$\frac{\delta_s}{1-\eta}$
	$G_s + V_w$ / greutatea solului umed	$G_s / V$	$\frac{\delta_s}{V(1-w)}$	$\frac{\delta_s}{1-\eta}$
	$G_s + G_w$ / greutatea solului saturat	$G_s + G_w$	$\frac{\delta_s + S_r \cdot \delta_w}{V}$	$\frac{\delta_s + S_r \cdot \delta_w}{V}$
	$G_s + G_w + V_p / \delta_w$ / greutatea solului submers	$G_s + G_w + V_p / \delta_w$	$\frac{\delta_s + S_r \cdot \delta_w + \eta \cdot \delta_w}{V}$	$\frac{\delta_s + S_r \cdot \delta_w + \eta \cdot \delta_w}{V}$
w / umiditate	$G_w / G_s$	$\frac{G_w}{G_s} - 1$	$\frac{\delta_s - \delta_w}{\delta_s}$	$\frac{\delta_s - \delta_w}{\delta_s}$
$S_r$ / raport de umiditate (relativă saturare)	1.00	$V_w / V_p$	$\frac{G_w}{V_p \cdot \delta_w}$	$\frac{w \cdot \delta_s}{\delta_s - \delta_w}$

\*) În cazul în care, în loc de greutățile volumice se utilizează densități (masă specifice), toate mărimele notate cu „ $\delta$ ” se înlocuiesc cu „ $\rho$ ”

\*\*) Determinarea, prin măsurări, a mărimilor specificate în tabel, este descrisă în „Manualul de laborator geotehnic”

Graetări volumice ale pămînturilor, pentru estimări preliminare

- TABELUL 2.2 -

Denumirea și starea pămîntului	(kN/m <sup>3</sup> )
<b>I. PAMINTURI NECOEZIVE</b>	
- Nisip fin, curat, în stare uscată.	12,00 - 15,00
- Nisip fin, curat, umed.	15,00 - 17,00
- Nisip mijlociu, curat, în stare uscată.	14,00 - 16,00
- Nisip mijlociu, curat, umed pînă la saturat.	16,00 - 18,50
- Nisip mare, uscat, în stare uscată.	14,00 - 17,00
- Nisip mare, curat, umed sau saturat.	16,00 - 20,00
- Pietrig uscat.	18,00 - 20,00
- Pietrig umed.	19,00 - 21,00
<b>II. PAMINTURI COEZIVE</b>	
- Praf argilos, sau nisip argilos afinat, în stare uscată sau puțin umed.	14,00 - 16,00
- Praf argilos sau nisip argilos, saturat.	17,00 - 18,00
- Praf argilos sau nisip argilos, bine îndesat în stare uscată sau puțin umed.	16,50 - 17,50
- Praf argilos sau nisip argilos, bine îndesat, saturat.	19,00 - 20,00
- Argilă prîfoasă, cu umiditate redusă.	15,00 - 18,50
- Argilă prîfoasă, saturată.	15,00 - 20,00
- Leess cu umiditate naturală.	15,00 - 16,00
- Leess umed.	17,00 - 18,50
- Argilă compactă cu umiditate redusă.	18,00 - 19,00
- Argilă compactă umedă sau saturată.	peste 20,00
<b>III. UMPLUTURI</b>	
- Pămînt de umplutură afinat în stare uscată sau puțin umed.	13,00 - 14,50
- Pămînt de umplutură afinat, saturat.	17,00 - 18,50
- Pămînt de umplutură, îndesat, în stare uscată sau puțin umed.	17,50 - 19,00
- Pămînt de umplutură, îndesat (compactat), saturat.	18,00 - 22,00

Clasificarea pămînturilor necoezive după granulositate

- TABELUL 2.3 -

Nr. crt.	Clasificarea pămînturilor necoezive	Conținut în fracțiune granulară predominantă (%)				
		Blocuri (peste 200 mm)	Bolovâniș (20-200 mm)	Pietrig (2-20 mm)	Nisip mare (0,5-2 mm)	Nisip mijlociu (0,25-0,5 mm)
1.	Blocuri	>50				
2.	Bolovâniș		>50			
3.	Pietrig			>50		
4.	Nisip cu pietrig			25-50	>50	
5.	Nisip mare				>50	
6.	Nisip mijlociu					>50
7.	Nisip fin					>50

OBSERVATIE - Se recomandă ca la descrierea pămînturilor necoezive, pe lîngă fracțiunile granulare principale din tabel, să se menționeze, de la casă la casă, și alte fracțiuni granulare care intră în componență.

Clasificarea pămînturilor necoezive ca reuniformitate

- TABELUL 2.4 -

Clasificarea granulosității pămînturilor necoezive	Coefficient de reuniformitate (U) <sub>n</sub>
- Cu granulositate foarte uniformă.	< 5
- Cu granulositate uniformă.	5 ..... 15
- Cu granulositate neuniformă.	> 15

- 50 -

PLANSA 2.IV

Clasificarea pământurilor coeziive după plasticitate și granulozitate

- TABELUL 2.5 -

Nr. crt.	Clasificarea pământurilor coeziive	Indice de plasticitate $I_p$ (%)	Conținut în frațiiuni (%)		
			Argilă (sub 0,005 mm)	Praf (0,05-0,005 mm)	Nisip (0,05-2 mm)
1.	Argilă grăsă	peste 40	peste 60	mai puțin decît argilă	mai puțin decît argilă
2.	Argilă	25-50	35-60	idem	idem
3.	Argilă prăfoasă	15-35	30-50	mai mult decît argilă	mai puțin decît praf
4.	Argilă nisipoasă	15-35	30-60	idem	peste 50
5.	Argilă prăfoasă-nisipoasă	15-25	30-35	mai mult decît argilă	peste 50
6.	Praf argilos	10-25	15-30	mai mult decît nisip	mai puțin de 50
7.	Praf argilos-nisipos	5-20	15-30	idem	peste 50
8.	Praf	5-15	0-15	mai mult decît argilă	mai puțin de 50
9.	Praf nisipos	0-10	0-15	mai mult decît nisip	peste 50
10.	Nisip argilos	5-20	15-30	mai puțin decît nisip	mai mult decît praf
11.	Nisip prăfos	0-10	0-15	idem	idem

OBSERVATIE - În cazul neconcordanțelor mari între valorile  $I_p$  și ale conținutului în frațiiuni granulare indicate în tabel, clasificarea pământului respectiv se va face în funcție de valoarea  $I_p$  și de proporția cea mai acoperată de frațiiuni granulare, din tabel.

- 51 -

PLANSA 2.IV

Clasarea pământurilor coeziive,  
după plasticitate

- TABELUL 2.6 -

Categoria de plasticitate	Indicele de plasticitate ( $I_p$ )
- Cu plasticitate redusă	< 10
- Cu plasticitate mijlocie	10 ..... 20
- Cu plasticitate mare	20 ..... 35
- Cu plasticitate foarte mare	> 35

PLANA 2.V

Calificarea stării de indecădere a pământurilor necesare după gradul de indecădere

- TABEUL 2.7 -

Stare	Gradul de indecădere . $I_D$
- Afinată	< 0,33
- Cu indecădere medie	0,33 ..... 0,66
- Indecăsată	> 0,66

Cerlașii între indicele porilor și starea de indecădere pentru pământuri necesare

- TABEUL 2.8 -

Categorie de pămînt necesar	Indicele porilor $e_p$ pentru starea		
	Afinată	Cu indecădere medie	Indecăsată
- Nisip cu pietris, nisip mare, nisip mijlociu	> 0,70	0,55 - 0,70	< 0,55
- Nisip fin	> 0,75	0,60 - 0,75	< 0,60
- Nisip prăfes	> 0,80	0,60 - 0,80	< 0,60

Cerlașii între rezultate ale penetrometriei statice și dinamice, cu gradul de indecădere al pământurilor necesare

- TABEUL 2.9 -

$I_D$	$R_p$ (daN/cm <sup>2</sup> )				$N$ (lo-vituri)
	Nisip mare și mijlociu	Nisip fin	Nisip prăfes uscat și umed	Nisip prăfes foarte umed și saturat	
< 0,33	< 50	< 40	< 30	< 20	< 10
0,33 - 0,66	50 - 150	40 - 120	30 - 100	20 - 70	10 - 50
> 0,66	> 150	> 120	> 100	> 70	> 50

PLANA 2.V

Caracterizarea capacitatei de indecădere a pământurilor necesare

- TABEUL 2.10 -

Cu capacitate de indecădere	$\delta_1$
- Mică	< 0,4
- Mijlocie	0,4 ..... 0,6
- Mare	> 0,6

Calificarea stării fizice a pământurilor coeziive, după consistență

- TABEUL 2.11 -

Calificarea stării de consistență	Indicele de consistență, $I_C$
- În stare curgătoare	< 0
- În stare plastic curgătoare	0,00 ..... 0,25
- În stare plastic moale	0,25 ..... 0,50
- În stare plastic consistentă	0,50 ..... 0,75
- În stare plastic virtoasă	0,75 ..... 1,00
- În stare tare	> 1

PLANSA 2.VI

Corelații între rezultate ale penetrometriei statice și dinamice, cu indicele de consistență al pământurilor coeze

- TABEUL 2.12 -

$I_C$	$R_p$ (daN/cm <sup>2</sup> )	N (lovituri)
< 0	< 10	< 2
0,00 - 0,25	10	2 - 4
0,25 - 0,50	10	5 - 8
0,50 - 0,75	10 - 30	9 - 15
0,75 - 1,00	30 - 50	16 - 30
> 1	> 50	> 30

Caracterizarea pământurilor ca grad de umplere a golurilor cu apă

- TABEUL 2.13 -

Calificarea pământului	Gradul de umiditate (de saturatie) S <sub>r</sub>
- Uscat	< 0,40
- Umed	0,40 - 0,80
- Foarte umed	0,80 - 0,90
- Practic saturat	> 0,90

Caracterizarea pământurilor coeze după indicele de activitate

- TABEUL 2.14 -

Calificarea pământului	$I_A$
- Puțin activ	< 0,75
- Cu activitate medie (normală)	0,75 - 1,25
- Foarte activ	> 1,25

PLANSA 2.VI

Caracterizarea pământurilor coeze ca activitate, după cildura de măsurare

- TABEUL 2.15 -

Calificarea pământului	$q_{uM}$ (J/g)
- Puțin activ	0 ..... 12
- Cu activitate medie	12 ..... 25
- Activ	25 ..... 37
- Foarte activ	> 37

PLAÑSA 2.VII

Coefficienþi de permeabilitate

- TABEÞUL 2.16 -

Calificare p��intului	$k$ (cm/s)	Tipul p��intului
- Foarte permeabil	$> 10^{-1}$	Pietriþ
- Cu permeabilitate medie	$10^{-1} - 10^{-4}$	Misip cu pietriþ, misip mare si m��leciu
- Putin permeabil	$10^{-4} - 10^{-7}$	Misip fin, pref misipes, pref argilos, argila nisipoas��
- Practic impermeabil	$\leq 10^{-7}$	Argila compacta

Deformabilitatea in funcþie de rezultatele incercarilor in diametru

- TABEÞUL 2.17 -

Caracterizarea compresibilit��i p��intului	Valori pentru $p = 2-5 \text{ daN/cm}^2$	
	$E_{2-5}^2$ (daN/cm <sup>2</sup> )	$\frac{1}{\gamma_{e-e}}$ (cm <sup>2</sup> /daN)
- Practic incompressibile	$> 500$	$< 0,003$
- Compressibilitate redus��	$200 - 500$	$0,003 - 0,01$
- Compressibilitate medie	$100 - 200$	$0,01 - 0,02$
- Compressibilitate mare	$50 - 100$	$0,02 - 0,04$
- Compressibilitate foarte mare	$< 50$	$> 0,04$

PLAÑSA 2.VII

Module de deformare liniari

- TABEÞUL 2.18 -

Denumirea si starea p��intului	$E$ (kPa)
P��inturi miloase sau turboase	$1000 \dots\dots\dots 5000$
P��inturi coesive :	
- plastic curg��toare si plastic moi	$2000 \dots\dots\dots 7000$
- plastic consistente	$8000 \dots\dots\dots 20000$
- plastic vrtoase	$12000 \dots\dots\dots 30000$
- teri	$> 25000$
Misipuri afinate	$10000 \dots\dots\dots 15000$
Misipuri cu indesare medie	$20000 \dots\dots\dots 50000$
Misipuri indesate	$> 40000$
Pietriguri	$> 50000$

(100 kPa = 1 daN/cm<sup>2</sup>)

Coefficienþii Poiseau  
pentru p  inturi

- TABEÞUL 2.19 -

- bolevinaiguri si pietriguri	$\vartheta = 0,27$
- misipuri, misipuri argilease si misipuri preface	$\vartheta = 0,30$
- prefuri, prefuri argilease, argila misipioasa si argila preface	$\vartheta = 0,35$
- argile si argile grase	$\vartheta = 0,42$

## PLANSA 2.VIII

Factor adimensional pentru corelarea  
modulului de deformatie edometric cu modulul  
de deformatie liniara

- TABEUL 2.20 -

Denumirea pamantului	I <sub>C</sub>	M <sub>0</sub>			
		e = 0,41-0,6	e = 0,61-0,80	e = 0,81-1,00	e = 1,01-1,10
Nisip argilos, pref nisipos, argila nisipoasă	0,00- 1,00	1,6	1,3	1,0	-
Praf, pref argilo- los, argila prăfoasă	0,76- 1,00	2,3	1,7	1,3	1,1
Argilă, argila grasă	0,76- 1,00	1,9	1,5	1,2	1,0
	0,50- 0,75	1,8	1,5	1,3	1,2
	0,50- 0,75	1,5	1,3	1,1	1,0

Valori de calcul ale modulului de  
deformatie liniară pentru pământuri  
necoexitive

- TABEUL 2.21 -

Pământuri necoexitive	Valori de calcul ale modulului E (in kPa), pentru valori ale indicelui porilor e, egale cu :			
	0,45	0,55	0,65	0,75
Nisipuri cu piatră, nisipuri mari și mijlocii	50000	40000	30000	-
Nisipuri fine	48000	38000	28000	18000
Nisipuri prăfoase	39000	28000	18000	11000

## OBSERVATII :

1. Valorile din tabel se referă la nisipuri cuartzoase, conținind maximum 5 % mică și materii organice, independent de umiditate.
2. Pentru valori ale indicelui porilor e intermedii, se admite interpolarea liniară a valorilor E.
3. Pentru pământuri necoexitive având e mai mic decât valorile din tabel, valorile E se pot lua corespunzător celor mai mici valori e din tabel. În acest caz, pentru precizarea valorilor E, se recomandă efectuarea de încercări corespondește pe teren sau în laborator.

## PLANSA 2.VIII

Valori de calcul ale modulului E (in kPa)  
pentru indicelui porilor e, egale cu :

- TABEUL 2.22 -

Pământuri coexitive originea	Valori de calcul ale modulului E (in kPa)			
	consistență praf nisipos 0,25 ≤ I <sub>C</sub> ≤ 1,00	0,45 0,55 0,75	0,75 1,00	0,95 1,05
Aluviale, deluviale, lacustre, aluviale - lacustre	0,75 ≤ I <sub>C</sub> ≤ 1,00	34000 27000	22000 17000	14000 11000
	0,50 ≤ I <sub>C</sub> ≤ 0,75	32000 25000	19000 14000	11000 8000
	0,25 ≤ I <sub>C</sub> ≤ 1,00	-	28000 24000	18000 15000
argila, argila grăsă	0,50 ≤ I <sub>C</sub> ≤ 0,75	-	21000 18000	15000 12000
	praf nisipos 0,25 ≤ I <sub>C</sub> ≤ 1,00	53000 40000	17000 11000	7000 -
Flavie - glaciare	praf pref argiloar- gila prăfo- șă, argili- nișipos	0,75 ≤ I <sub>C</sub> ≤ 1,00 0,50 ≤ I <sub>C</sub> ≤ 0,75	35000 28000	22000 17000

OBSERVATII : 1. Valorile din tabel se referă la pământurile artisoase având S<sub>r</sub> > 0,8 și max. 5% materii organice.  
2. Pentru valori ale indicelui porilor e intermedii, se admite interpolarea liniară a valorilor E.

PLANSA 2.VIII

OBSERVATII : (Tabel 2.22)

5. Pentru pământurile argiloase avind o mai mic deficit cel din tabel, precum și  $S_r \leq 0,8$  iar  $I_0 > 0,75$ , valorile E se pot lua egale cu valorile E din dreptul celor mai mici valori din tabel și pentru  $I_0 > 0,75$ . În acest caz, pentru precizarea valorilor E, se recomandă încercări corespunzătoare pe teren sau în laborator.

PLANSA 2.IX

Coefficientii de put k<sub>spentr</sub>  
solicitatii statice

- TABELUL 2.23 -

Denumirea pământului sau a rocii	$k_s$ (daN/cm <sup>3</sup> )
- Pământuri miloase, umpluturi ne-compactate, pământuri argiloase plastic curgitoare-plastic moi, misipuri afinante.	0,1 ... 0,5
- Umpluturi compactate, pământuri argiloase plastic consistente, misipuri de îndesare medie.	0,5 ... 5
- Pământuri argiloase plastic virtoase, misipuri îndesate.	5 .... 10
- Argile tari, piatrignuri, belevîmignuri.	10 .... 20

Factor pentru stabilirea coefficientului de put, în funcție de dimensiunile suprafeței de contact cu terenul

- TABELUL 2.24 -

Categorie de pămînt	$\alpha$
1. Pământuri coeasive :	
- plastic consistente	2,4
- plastic virtoase	4,8
- tari	9,9
2. Misipuri uscate sau umede :	
- în stare afinată	1,5
- cu îndesare medie	4,1
- în stare îndesată	16,0
3. Misipuri saturate :	
- în stare afinată	0,8
- cu îndesare medie	2,6
- în stare îndesată	9,6

PLANSA 2.X

Factorii m de proporționalitate pentru  
mediu Winkler cu coeficient de pat  
liniar variabil cu adâncimea de la  
suprafață

- TABEUL 2.25 -

Categorie de pămînt	$m \times 10^3$ (daN/cm <sup>4</sup> )
- Argilă în stare plastică curgătoare, argilă prăfoasă, mîluri	0,5 - 2,0
- Argilă nisipoasă și argilă în stare plastică moale ; nisip prăfos, nisip afimat	2 - 4
- Argilă nisipoasă și argilă în stare plastică virtoasă ; nisipuri fine și medii	4 - 6 *)
- Argile nisipoase și argile tari, nisipuri mari	6 - 10 *)
- Nisipuri cu piatră, piatră, prundig	10 - 20 *)

\*) Pentru materiale compacte, valorile se  
sporesc cu 50 %.

$$k_s = m \cdot s$$

în care D = adâncimea (in cm)

PLANSA 2.XI

Valori ale coeficientului C<sub>s</sub>

- TABEUL 2.26 -

Natura pămîntului	Presiunea statică (daN/cm <sup>2</sup> )	C <sub>s</sub> (daN/cm <sup>3</sup> )
Nisip fin, argilos	0,27	4 - 6,5
	0,54	7
	1,08	14,5 - 16
Nisip fin Nisip cu granulație medie, argilos	0,27	5,5 - 7,5
	0,54	11 - 11,5
	1,08	17,5 - 20
Nisip cu granulație medie	0,27	5 - 8,5
	0,54	8 - 10,5
	1,08	11,5 - 18,5
Nisip cu granulație medie pînă la mare, înainte de compactare	0,27	8
	0,54	14
	1	24
Nisip cu granulație medie pînă la mare, după compac- tare	0,27	13
	0,54	18
	1	25,5
Nisip și piatră	0,27	9
	0,54	14
	1,08	24
Piatră argilos foarte compactat	0,27	9
	0,54	16
	1,08	26
Argilă umedă	0,27	5,5
	0,54	9
	1,08	14
Argilă uscată	0,27	10,5
	0,54	15
	1,08	23

- 64 -

PLANSA 2.XI

Pentru valoarea aproximativă a celorlalți coeficienți se utilizează relațiile :

$$C_x, C_y = 0,7 \cdot C_z ; \quad C_p = 2 \cdot C_z ; \quad C_{\gamma} = 1,5 \cdot C_z$$

Pentru suprafețe de contact  $S > 10 \text{ cm}^2$ , valorile  $C_z$  recomandate variază cu presiunea statică de contact, după cum urmează :

$P_{st}$ ( $\text{daN}/\text{cm}^2$ )	1	2	3	4	5
$C_z$ ( $\text{daN}/\text{cm}^3$ )	2	4	5	6	7

- 65 -

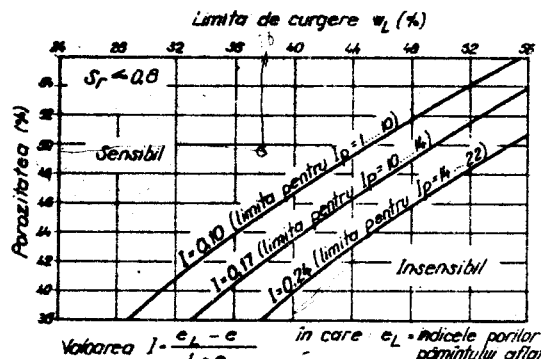
PLANSA 2.XII

- TABELEUL 2.27 -

Denumirea pământurilor	Valori orientative	
	$\delta'$ (grade)	$c' (\text{daN}/\text{cm}^2)$
Nisipuri cu piatră și nisipuri mari :		
- indescate	> 33	•
- cu indescare medie	31 - 33	•
Nisipuri mijlocii :		
- indescate	> 33	•
- cu indescare medie	29 - 33	•
Nisipuri fine :		
- indescate	> 30	•
- cu indescare medie	23 - 30	•
Nisipuri prăfoase :		
- indescate	> 28	•
- cu indescare medie	22 - 28	•
Prafuri și prafuri argiloase cu :		
$0,75 < I_C \leq 1,00$	23 - 25	0,04 - 0,06
$0,25 < I_C \leq 0,75$	18 - 23	0,01 - 0,05
Argile prăfoase cu :		
$0,75 < I_C \leq 1,00$	17 - 22	0,08 - 0,19
$0,50 < I_C \leq 0,75$	14 - 20	0,06 - 0,15
$0,25 < I_C \leq 0,50$	10 - 16	0,05 - 0,10
Argile cu :		
$0,75 < I_C \leq 1,00$	12 - 18	0,15 - 0,32
$0,50 < I_C \leq 0,75$	9 - 15	0,13 - 0,23
$0,25 < I_C \leq 0,50$	6 - 13	0,12 - 0,18

## A - Criterii de identificare a pământurilor sensibile la umezire - P.S.U.

$$S_n > 1 \quad S_d = \frac{S_n}{e_L}$$



1. Încărcări pe placă având aria  $A \geq 1m^2$ :  $\eta = \frac{S_i}{S_n} > 5$  și  $S_i - S_n \geq 3$  cm.

$S_n$  și  $S_i$  sunt toaznile hainei și după inundare sub presiunea  $p = 300$  kPa

## B - Criterii de caracterizare a terenului de fundare cu P.S.U.

1. Torsoreal specifică la umezire  $t_{mp}$

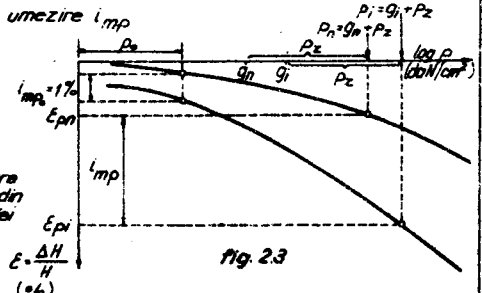
$$t_{mp} = \epsilon_{pi} - \epsilon_{pn}$$

unde:

$$\epsilon_{pi} = g_i + p_z$$

$$\epsilon_{pn} = g_n + p_z$$

$g_n, g_i$  - sarcina geologică  
 încărcare și după inundare  
 $p_z$  - presiunea provenită din  
 încărcarea construcției  
 la adâncimea  $z$ .



2. Rezistența structurală  $P_o$ :

$$P_o = p_i \text{ pentru care } t_{mp} = 1\% \text{ în edometru};$$

$$P_o = p_{max} \text{ pentru care } S_i = \text{constant la încărcări pe placă};$$

$P_o = p_{z_{min}}$  unde  $z_{min}$  este adâncimea de la care se produc fasori suplimentare prin umezire sub greutatea proprie a pământului ( $I_{mg}$ )

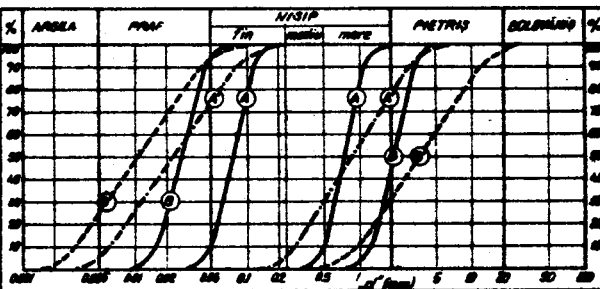
3. Clasificarea terenurilor de fundare cu P.S.U.:

grupa A, terenuri la care  $I_{mg} \leq 5$  cm.

grupa B, terenuri la care  $I_{mg} > 5$  cm.

Umflare si contractie	Procent arăgiș $\times 2,4$ (%)	Indice de plasticitate $I_p$ (%)	Indice de activitate $I_A$ (-)	Coecitatea contractante $C_A$ (%)	Umflare $I_{(aero)}$ (%)	Coborâre umedă $g_u$ (%)	Limita de contractie $I_c$ (%)	Umflare la secetă $I_{(sec)}$ (%)	Tabelul 2.28	
									Contractor volumic $C_V$ (%)	Toleranță $\Delta$ (MPa)
F. Mare	>30	>35	>1.25	>100	>140	>37	<10	>10	>100	>35
Mare	20-35	25-40	1.00-125	65-100	110-140	25-37	10-10	15-15	75-100	25-35
Mică	15-25	20-30	0.75-100	65-70	90-120	12-25	15-14	10-13	55-75	15-25

COMPOZITIA GRANULOMETRICĂ A PĂMÂNTURILOR LICHIFIABILE



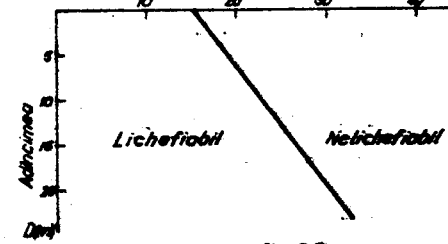
Lichefiabilitate - NISIPURI - Foarte lichefiabile  
 uniforme nonuniforme

VALORI de 60 (mm)

Tabelul 2.29

Nisip	Lichefiabil	Foarte lichefiabil	Nelichefiabil
Uniform ( $U_g = 1.5$ )	0.03 - 0.09	0.09 - 0.70	0.70 - 2.00
Nonuniform ( $U_g = 3-5$ )	0.01 - 0.02	0.02 - 0.90	0.90 - 3.50

Rezistență la penetrare dinamică  $N$  (N/centuri)



1) Fortă concentrată (fig. 3.1)

$$\sigma_z = \frac{3P}{2\pi} \frac{z^3}{(z^2+r^2)^{3/2}} = K \frac{\rho}{z^2}$$

$$\sigma_r = \frac{3P}{2\pi} \frac{r^2 z}{(z^2+r^2)^{3/2}}$$

$$\sigma_y = 0$$

$$\epsilon_{rr} = \epsilon_{rz} = \frac{3P}{2\pi} \frac{r \cdot z^2}{(z^2+r^2)^{3/2}}$$

PLANSA 3.I

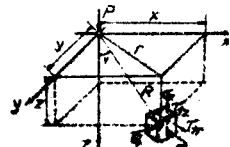


Fig. 3.1

2) Fortă linier distribuită

Valorile  $K$  - TABELUL 3.1 -

$r/z$	$K$	$r/z$	$K$
0,00	0,4775	1,00	0,0844
0,05	0,4745	1,05	0,0744
0,10	0,4657	1,10	0,0658
0,15	0,4516	1,15	0,0581
0,20	0,4329	1,20	0,0513
0,25	0,4103	1,25	0,0454
0,30	0,3849	1,30	0,0402
0,35	0,3577	1,35	0,0357
0,40	0,3294	1,40	0,0317
0,45	0,3011	1,45	0,0282
0,50	0,2733	1,50	0,0251
0,55	0,2466	1,55	0,0224
0,60	0,2214	1,60	0,0200
0,65	0,1978	1,65	0,0179
0,70	0,1762	1,70	0,0160
0,75	0,1565	1,80	0,0129
0,80	0,1386	1,90	0,0105
0,85	0,1226	2,00	0,0085
0,90	0,1083	3,00	0,0015
0,95	0,0956	4,00	0,0004

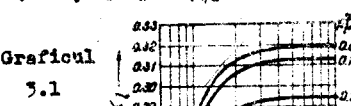
$$\sigma_z = \frac{2\rho}{\pi} \frac{z^3}{(z^2+r^2)^{3/2}} = K_1 \frac{\rho}{z^2}$$

$$\sigma_x = \frac{2\rho}{\pi} \frac{x^2 \cdot z}{(z^2+x^2)^{3/2}}$$

$\sigma_y = 0$  sau ct - starea plană de eforturi

$$\sigma_y = \frac{\rho}{\pi} \frac{z}{z^2+x^2}$$

$$\sigma_{yx} = \sigma_{xy} = \frac{2\rho}{\pi} \frac{x \cdot z^2}{(z^2+x^2)^{3/2}}$$



Valori  $K_1$

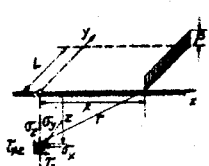


Fig. 3.2

PLANSA 3.I

Valori  $K_M$

- TABELUL 3.2 -

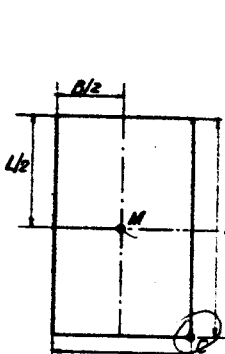


Fig. 3.3

$$1) \sigma_{xM} = K_M \cdot P$$

$$2) \sigma_{zM} = K_C \cdot P$$

z/B	Pentru $L/B =$				
	1,0	2	4	8	10
0,0	1,000	1,000	1,000	1,000	1,000
0,2	0,960	0,976	0,977	0,977	0,977
0,4	0,800	0,870	0,880	0,881	0,881
0,6	0,606	0,727	0,753	0,755	0,755
0,8	0,449	0,593	0,639	0,642	0,642
1,0	0,336	0,481	0,540	0,550	0,550
1,2	0,257	0,392	0,462	0,477	0,477
1,4	0,201	0,321	0,400	0,420	0,420
1,6	0,160	0,267	0,348	0,374	0,374
1,8	0,130	0,224	0,305	0,337	0,337
2,0	0,108	0,190	0,270	0,306	0,306
2,2	0,091	0,163	0,239	0,280	0,280
2,4	0,077	0,141	0,213	0,258	0,258
2,6	0,066	0,123	0,191	0,239	0,239
2,8	0,058	0,108	0,172	0,223	0,223
3,0	0,051	0,095	0,155	0,208	0,208
3,2	0,045	0,085	0,141	0,196	0,196
3,4	0,040	0,076	0,128	0,184	0,184
3,6	0,036	0,068	0,117	0,175	0,175
3,8	0,032	0,062	0,107	0,166	0,166
4,0	0,029	0,056	0,098	0,158	0,158
4,2	0,026	0,051	0,091	0,150	0,150
4,4	0,024	0,047	0,084	0,144	0,144
4,6	0,022	0,043	0,078	0,137	0,137
4,8	0,020	0,040	0,072	0,132	0,132
5,0	0,019	0,037	0,067	0,126	0,126

Valori  $K_C$

- TABELUL 3.3 -

z/B	Pentru $L/B =$				
	1,0	2,0	4,0	8,0	10,0
0,0	0,2500	0,2500	0,2500	0,2500	0,2500
0,2	0,2486	0,2491	0,2494	0,2492	0,2492
0,4	0,2401	0,2439	0,2442	0,2443	0,2443
0,6	0,2229	0,2329	0,2339	0,2341	0,2342
0,8	0,1999	0,2176	0,2196	0,2202	0,2202
1,0	0,1752	0,1999	0,2034	0,2042	0,2046
1,2	0,1516	0,1818	0,1870	0,1888	0,1888
1,4	0,1308	0,1644	0,1712	0,1738	0,1740
1,6	0,1123	0,1482	0,1567	0,1601	0,1604
1,8	0,0969	0,1334	0,1434	0,1478	0,1482
2,0	0,0840	0,1202	0,1314	0,1368	0,1374
2,2	0,0732	0,1084	0,1205	0,1248	0,1277
2,4	0,0642	0,0979	0,1108	0,1156	0,1192
2,6	0,0566	0,0887	0,1020	0,1073	0,1113
2,8	0,0502	0,0805	0,0942	0,1036	0,1045
3,0	0,0447	0,0732	0,0870	0,0973	0,0983
3,2	0,0401	0,0668	0,0806	0,0916	0,0928
3,4	0,0361	0,0611	0,0747	0,0814	0,0832
3,6	0,0326	0,0561	0,0694	0,0763	0,0837
3,8	0,0296	0,0516	0,0646	0,0717	0,0790
4,0	0,0270	0,0474	0,0603	0,0674	0,0752
4,2	0,0247	0,0459	0,0563	0,0634	0,0724
4,4	0,0227	0,0407	0,0527	0,0597	0,0692
4,6	0,0209	0,0378	0,0493	0,0564	0,0654
4,8	0,0193	0,0352	0,0463	0,0553	0,0626
5,0	0,0179	0,0328	0,0435	0,0504	0,0599

- 70 -

## PLANS 3.III

Valori ale factorilor  $K_z^f$ ,  $K_x^f$ ,  $K_{xz}^f$ Valori  $K_z^f$ 

- TABELUL 3.4 -

z/B	Pentru $x/B =$					
	0,00	0,25	0,50	1,00	1,50	2,00
0,00	1,00	0,50	0,00	0,00	0,00	0,00
0,25	0,96	0,50	0,02	0,00	0,00	0,00
0,50	0,82	0,48	0,08	0,02	0,00	0,00
0,75	0,67	0,45	0,15	0,04	0,02	0,00
1,00	0,55	0,41	0,19	0,07	0,03	0,00
1,25	0,46	0,37	0,20	0,10	0,04	0,00
1,50	0,40	0,38	0,21	0,11	0,06	0,00
1,75	0,35	0,34	0,21	0,13	0,07	0,00
2,00	0,31	0,31	0,20	0,13	0,08	0,00
3,00	0,21	0,21	0,17	0,13	0,10	0,00
4,00	0,16	0,16	0,15	0,12	0,10	0,00
5,00	0,15	0,15	0,12	0,11	0,09	0,00

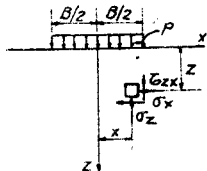


Fig. 3.4

Valori  $K_x^f$ 

- TABELUL 3.5 -

z/B	Pentru $x/B =$					
	0,00	0,25	0,50	1,00	1,50	2,00
0,00	1,00	1,00	0,50	0,00	0,00	0,00
0,25	0,45	0,39	0,35	0,18	0,07	0,04
0,50	0,18	0,19	0,23	0,21	0,12	0,07
0,75	0,08	0,10	0,14	0,22	0,14	0,10
1,00	0,04	0,05	0,09	0,15	0,14	0,13
1,25	0,02	0,03	0,06	0,11	0,12	0,11
1,50	0,01	0,02	0,04	0,08	0,10	0,10
1,75	-	0,01	0,03	0,06	0,09	0,09
2,00	-	-	0,02	0,05	0,07	0,08
3,00	-	-	0,01	0,02	0,05	0,04
4,00	-	-	-	0,01	0,02	0,03
5,00	-	-	-	-	-	-

Valori  $K_{xz}^f$ 

- TABELUL 3.6 -

z/B	Pentru $x/B =$					
	0,00	0,25	0,50	1,00	1,50	2,00
0,00	0,00	0,00	0,32	0,00	0,00	0,00
0,25	0,08	0,13	0,30	0,05	0,01	0,00
0,50	0,00	0,16	0,26	0,13	0,04	0,02
0,75	0,00	0,13	0,20	0,16	0,07	0,04
1,00	0,00	0,10	0,16	0,16	0,10	0,05
1,25	0,00	0,07	0,12	0,14	0,10	0,07
1,50	0,00	0,06	0,10	0,13	0,10	0,08
1,75	0,00	0,04	0,08	0,11	0,10	0,08
2,00	0,00	0,03	0,06	0,10	0,10	0,08
2,50	0,00	0,02	0,03	0,06	0,07	0,07
3,00	0,00	0,01	0,02	0,03	0,05	0,03
4,00	0,00	-	-	-	-	-

- TABELUL 3.7 -

z/B	Pentru $x/B =$					
	0,00	0,25	0,50	1,00	1,50	2,00
0,00	0,750	0,500	0,250	0,175	1,00	0,000
0,25	0,645	0,424	0,256	0,175	0,015	0,005
0,50	0,477	0,353	0,263	0,21	0,056	0,017
0,75	0,355	0,295	0,248	0,355	0,108	0,024
1,00	0,361	0,279	0,275	0,279	0,129	0,045
1,25	0,355	0,202	0,178	0,202	0,124	0,062
1,50	0,355	0,165	0,146	0,155	0,108	0,069
1,75	0,355	0,108	0,104	0,108	0,096	0,071
2,00	0,355	0,065	0,085	0,082	0,075	0,066
2,50	0,355	0,057	0,059	0,065	0,061	0,051
3,00	0,355	-	-	-	-	-
4,00	0,355	-	-	-	-	-
5,00	0,355	-	-	-	-	-

$$\sigma_z = K_z^f \cdot p$$

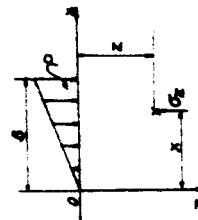


Fig. 3.5

Valoarea  $K_{z_0}^t$  pe verticală presiunii nule

- TABELUL 3.8 -

z/B	Pentru $L/B =$				
	1	2	3	6	10
0,00	0,000	0,000	0,000	0,000	0,000
0,25	0,036	0,037	0,037	0,037	0,038
0,50	0,060	0,062	0,063	0,063	0,064
1,00	0,068	0,078	0,078	0,078	0,080
1,50	0,053	0,068	0,071	0,071	0,072
2,00	0,059	0,055	0,059	0,062	0,063
3,00	0,022	0,035	0,041	0,046	0,047
5,00	0,009	0,017	0,022	0,026	0,028

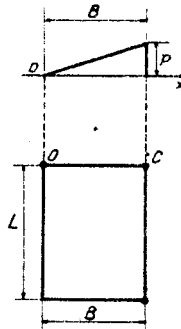


Fig.3.6

- TABELUL 3.9 -

Valoarea  $K_{z_0}^t$  pe verticală presiunii maxime p

z/B	Pentru $L/B =$				
	1	2	3	6	10
0,00	0,250	0,250	0,250	0,250	0,250
0,25	0,209	0,211	0,211	0,211	0,212
0,50	0,170	0,175	0,175	0,176	0,177
1,00	0,108	0,117	0,119	0,120	0,121
1,50	0,069	0,087	0,090	0,092	0,093
2,00	0,045	0,064	0,071	0,075	0,076
3,00	0,024	0,041	0,047	0,051	0,052
5,00	0,009	0,019	0,025	0,029	0,032

$$1) \bar{C}_{z_0} = K_{z_0}^t \cdot p$$

$$2) \bar{C}_{z_0} = K_{z_0}^t \cdot p$$

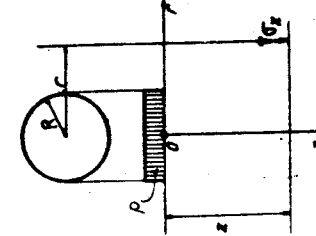


Fig.3.7

$C_z = K_{z_0}^t \cdot p$

z/R	TABELUL 3.10				
	0,2	0,4	0,6	0,8	1,0
0,0	1,000	1,000	1,000	1,000	1,000
0,1	0,999	0,998	0,997	0,996	0,995
0,2	0,993	0,991	0,987	0,980	0,976
0,3	0,977	0,973	0,963	0,922	0,794
0,4	0,949	0,943	0,919	0,861	0,712
0,5	0,911	0,902	0,869	0,795	0,646
0,6	0,864	0,852	0,814	0,732	0,591
0,7	0,812	0,799	0,756	0,674	0,544
0,8	0,756	0,742	0,698	0,619	0,504
0,9	0,701	0,688	0,644	0,570	0,467
1,0	0,647	0,634	0,591	0,525	0,435
1,2	0,547	0,535	0,502	0,447	0,377
1,5	0,424	0,416	0,392	0,354	0,298
2,0	0,265	0,286	0,267	0,248	0,224
2,5	0,208	0,197	0,190	0,180	0,167
3,0	0,146	0,145	0,142	0,135	0,127
4,0	0,087	0,087	0,086	0,082	0,079
5,0	0,057	0,057	0,056	0,054	0,053
6,0	0,041	0,040	0,039	0,039	0,038
7,0	0,030	0,029	0,029	0,029	0,028
8,0	0,023	0,023	0,023	0,023	0,023
9,0	0,018	0,018	0,018	0,018	0,018
10,0	0,015	0,015	0,015	0,015	0,014

- TABLUL 3.11 -

Diagramele de încărcare

1

2

3

4

5

6

7

8

9

10

11

12

13

14

15

16

17

18

19

20

21

22

23

24

25

26

27

28

29

30

31

32

33

34

35

36

37

38

39

40

41

42

43

44

45

46

47

48

49

50

51

52

53

54

55

56

57

58

59

60

61

62

63

64

65

66

67

68

69

70

71

72

73

74

75

76

77

78

79

80

81

82

83

84

85

86

87

88

89

90

91

92

93

94

95

96

97

98

99

100

101

102

103

104

105

106

107

108

109

110

111

112

113

114

115

116

117

118

119

120

121

122

123

124

125

126

127

128

129

130

131

132

133

134

135

136

137

138

139

140

141

142

143

144

145

146

147

148

149

150

151

152

153

154

155

156

157

158

159

160

161

162

163

164

165

166

167

168

169

170

171

172

173

174

175

176

177

178

179

180

181

182

183

184

185

186

187

188

189

190

191

192

193

194

195

196

197

198

199

200

201

202

203

204

205

206

207

208

209

210

211

212

213

214

215

216

217

218

219

220

221

222

223

224

225

226

227

228

229

230

231

232

233

234

235

236

237

238

239

240

241

242

243

244

245

246

247

248

249

250

251

252

253

254

255

256

257

258

259

260

261

262

263

264

265

266

267

268

269

270

271

272

273

274

275

276

277

278

279

280

281

282

283

284

285

286

287

288

289

290

291

292

293

294

295

296

297

298

299

300

301

302

303

304

305

306

307

308

309

310

311

312

313

314

315

316

317

318

319

320

321

322

323

324

325

326

327

328

329

330

331

332

333

334

335

336

337

338

339

340

341

342

343

344

345

346

347

348

349

350

351

352

353

354

355

356

357

358

359

360

361

362

363

364

PLANSA 3.VIII

Valerile  $K_{z,cr}$

- TABELUL 3.12 -

$x/h$	$h = B/2$	$h = B$	$h = 5(B/2)$
0,0	1,000	1,00	1,00
0,2	1,009	0,99	0,82
0,4	1,020	0,92	0,57
0,6	1,024	0,84	0,44
0,8	1,025	0,78	0,37
1,0	1,022	0,76	0,36

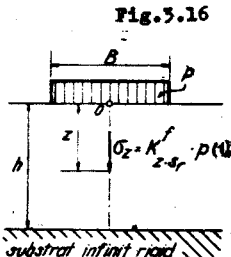
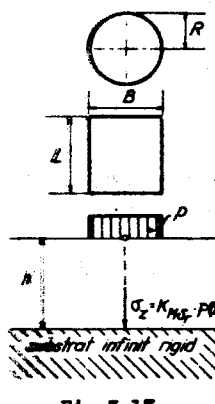


Fig.3.16

Valerile  $K_{M,cr}$

- TABELUL 3.13 -



$2h/B$ $h/R$	Cerc	Dreptunghiular cu raportul laturilor $L/B =$				Figura $L/B = \infty$
		1	2	3	10	
0,00	1,000	1,000	1,000	1,000	1,000	1,000
0,25	1,009	1,009	1,009	1,009	1,009	1,009
0,50	1,064	1,053	1,053	1,053	1,053	1,053
0,75	1,172	1,082	1,059	1,059	1,059	1,059
1,00	1,965	1,927	1,859	1,826	1,825	1,825
1,25	0,684	0,762	0,912	0,911	0,902	0,902
1,50	0,473	0,541	0,717	0,769	0,761	0,761
1,75	0,355	0,395	0,593	0,651	0,636	0,636
2,00	0,249	0,298	0,474	0,549	0,560	0,560
2,25	0,148	0,186	0,314	0,392	0,439	0,439
2,50	0,098	0,125	0,222	0,287	0,359	0,359
2,75	0,051	0,065	0,113	0,170	0,262	0,262
3,00	0,025	0,032	0,064	0,093	0,181	0,181
3,25	0,006	0,008	0,016	0,024	0,068	0,068
3,50	0,001	0,001	0,003	0,005	0,014	0,014
$\infty$	0,000	0,000	0,000	0,000	0,000	0,000

Fig.3.17

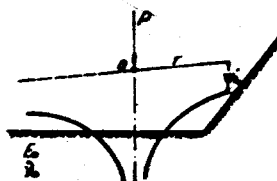
Valerile  $K_{M,contact}$

- TABELUL 3.14 -

$2h/B$	$\alpha = 1$	$\alpha = 5$	$\alpha = 10$	$\alpha = 15$
0,0	1,00	1,00	1,00	1,00
0,5	1,02	0,95	0,87	0,82
1,0	0,98	0,69	0,58	0,52
1,5	0,68	0,41	0,33	0,29
2,0	0,33	0,26	0,20	0,18
2,5	0,27	0,17	0,16	0,12

Fig.3.18

PLANSA 3.IX



$$(1) \frac{h}{2} = \frac{1 - \sqrt{1 + \frac{P}{E_1 I}}}{T^2} \cdot \frac{P}{E_1}$$

Fig.3.19

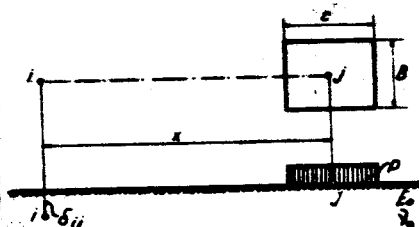


Fig.3.20

Valerile  $F$

- TABELUL 3.15 -

$x/h$	$a/x$	$E/E_1^2/3$	$E/E_1^2$	$E/E_1^2$
0		4,265	3,525	2,466
1	1	1,069	1,038	0,929
2	0,500	0,508	0,505	0,498
3	0,333	0,336	0,333	0,325
4	0,250	0,251	0,251	0,249
5	0,200	0,200	0,200	0,199
6	0,167	0,167	0,167	0,166
7	0,143	0,143	0,143	0,142
8	0,125	0,125	0,125	0,124
9	0,111	0,111	0,111	0,111
10	0,100	0,100	0,100	0,100

PLANSA 3.X

$$S = \frac{1 - \sqrt{\omega}}{\omega} \cdot \omega \cdot B \cdot p$$

in care :

- p - este presiunea uniform distribuită
- $\omega$  - se alege, după caz, din tabelul 3.16
- B - este diametrul suprafeței circulare
- B = 2R sau latura mică a suprafeței dreptunghiulare de încărcare

Valerile  $\omega$

- TABELUL 3.16 -

Forma suprafeței încărcate	$\omega_0$ în colț	$\omega_0$ în centru	$\omega$ const tacare uniformă
Cerc	0,64	1,00	0,79
Pătrat L/B=1		1,12	0,88
Dreptunghi L/B=			
2		1,53	1,22
3		1,78	1,44
4		1,96	1,61
5		2,10	1,72
6		2,23	-
7		2,35	-
8		2,42	-
9		2,49	-
10	$\omega_0 = \frac{1}{2} \omega_c$	2,53	2,12

PLANSA 3.XI

$$S_0 = \frac{1 - \sqrt{\omega_{ch}}}{\omega_{ch}} \cdot \omega_{ch} \cdot B \cdot p$$

in care :

- p - este presiunea uniformă distribuită
- $\omega_{ch}$  - se alege, după caz, din tabelul 3.17

- B - este diametrul suprafeței circulare B=2R sau latura mică a suprafeței dreptunghiulare de încărcare.

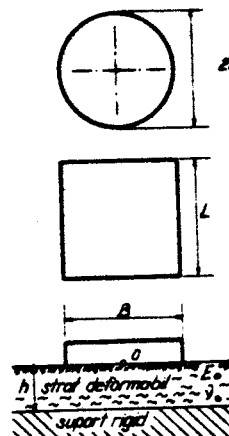


Fig. 3.21

- TABELUL 3.17 -

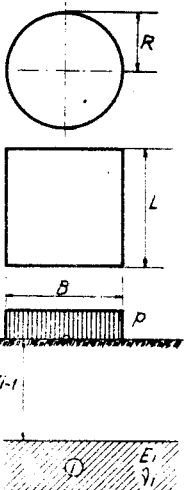
Valerile  $\omega_{ch}$  în

L/B	Cerc	Dreptunghi cu L/B =					Figie
		1	2	3	4	5	
0	0	0	0	0	0	0	0
0,25	0,15	0,15	0,15	0,15	0,15	0,15	0,15
0,5	0,26	0,26	0,26	0,26	0,26	0,26	0,26
0,75	0,39	0,39	0,39	0,39	0,39	0,39	0,39
1	0,51	0,51	0,52	0,52	0,52	0,52	0,52
1,5	0,64	0,68	0,73	0,74	0,74	0,74	0,74
2	0,75	0,78	0,83	0,89	0,89	0,89	0,89
2,5	0,78	0,84	0,99	1,02	1,05	1,05	1,05
3	0,81	0,88	1,08	1,15	1,14	1,14	1,14
4	0,86	0,94	1,18	1,27	1,31	1,31	1,31
5	0,89	0,98	1,25	1,36	1,46	1,46	1,46
7	0,92	1,02	1,53	1,48	1,67	1,67	1,67
10	0,94	1,05	1,59	1,57	1,99	1,99	1,99
20	0,97	1,09	1,46	1,67	2,19	2,19	2,19
50	0,99	1,11	1,50	1,74	2,40	2,40	2,40
		1,00	1,12	1,53	1,78	2,53	2,53

- TABEUL 3.18 -

Valerile  $K_1$ ,  $K_{1-1}$

Z/B	Cerc	Valorile raportului L/B =				
		1	2	3	5	10
n/R						risarc
0,0	0,000	0,000	0,000	0,000	0,000	0,000
0,2	0,045	0,050	0,050	0,050	0,052	0,052
0,4	0,090	0,100	0,100	0,100	0,104	0,104
0,6	0,135	0,150	0,150	0,150	0,156	0,156
0,8	0,179	0,200	0,200	0,200	0,208	0,208
1,0	0,233	0,250	0,250	0,250	0,260	0,260
1,2	0,266	0,299	0,300	0,300	0,311	0,311
1,4	0,308	0,342	0,349	0,349	0,349	0,349
1,6	0,348	0,381	0,397	0,397	0,412	0,412
1,8	0,382	0,415	0,442	0,442	0,462	0,462
2,0	0,411	0,446	0,484	0,484	0,511	0,511
2,2	0,437	0,474	0,524	0,525	0,525	0,566
2,4	0,461	0,499	0,561	0,566	0,566	0,605
2,6	0,482	0,522	0,595	0,604	0,604	0,648
2,8	0,501	0,542	0,626	0,640	0,640	0,687
3,0	0,517	0,560	0,655	0,674	0,674	0,726
3,2	0,532	0,577	0,682	0,706	0,708	0,763
3,4	0,546	0,592	0,707	0,736	0,741	0,798
3,6	0,558	0,606	0,730	0,764	0,772	0,831
3,8	0,569	0,618	0,752	0,791	0,808	0,862
4,0	0,579	0,630	0,773	0,816	0,830	0,892
4,2	0,588	0,641	0,791	0,839	0,853	0,921
4,4	0,596	0,651	0,809	0,861	0,885	0,949
4,6	0,604	0,660	0,824	0,888	0,908	0,976
4,8	0,611	0,668	0,841	0,902	0,932	1,001
5,0	0,618	0,676	0,855	0,921	0,955	1,023
5,2	0,624	0,683	0,868	0,939	0,977	1,050
5,4	0,630	0,690	0,881	0,955	0,998	1,075
5,6	0,635	0,697	0,893	0,971	1,018	1,095
5,8	0,640	0,703	0,904	0,986	1,038	1,117
6,0	0,645	0,709	0,913	1,000	1,057	1,138
6,2	0,649	0,714	0,924	1,014	1,047	1,158
6,4	0,653	0,719	0,934	1,027	1,091	1,178
6,6	0,657	0,724	0,945	1,040	1,107	1,197
6,8	0,661	0,728	0,951	1,051	1,123	1,215
7,0	0,664	0,732	0,959	1,062	1,138	1,255
7,2	0,679	0,751	0,995	1,111	1,205	1,316
7,4	0,691	0,766	1,022	1,151	1,262	1,390
7,6	0,700	0,777	1,045	1,187	1,309	1,456



$$\Delta S_i = \frac{1 - \gamma_i^2}{E_i} \cdot (K_1 - K_{1-1})$$

in care :

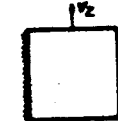
- este, după cas, R sau B.

1. Consolidare uniaxială.

CONSOLIDAREA IN TIPO A  
PAMONTURILOR ARGILOASE SATURATE

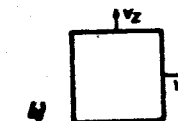
1. Consolidare uniaxială.

$$\frac{\partial u}{\partial t} = c_v \frac{\partial^2 u}{\partial z^2}$$



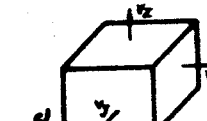
2. Consolidare plană.

$$\frac{\partial u}{\partial t} = c_v \left( \frac{\partial^2 u}{\partial z^2} + \frac{\partial^2 u}{\partial x^2} \right)$$



3. Consolidare spațială.

$$\frac{\partial u}{\partial t} = c_v \left( \frac{\partial^2 u}{\partial z^2} + \frac{\partial^2 u}{\partial x^2} + \frac{\partial^2 u}{\partial y^2} \right)$$



4. Consolidare radială.

$$\frac{\partial u}{\partial t} = c_r \left( \frac{\partial^2 u}{\partial r^2} + \frac{1}{r} \frac{\partial u}{\partial r} \right)$$



In care:  
 $c_v, c_r$  sunt coeficientii de consolidare  
 $u$  - este presiunea neutru  
 $t$  - este timpul

5.  $U = f_1(T)$

In care :  $U$  - gradul de consolidare ;  $U_v = \frac{4}{\pi}$   
 $T$  - factorul de timp

6.  $U = f_2(T)$

$T = T_v = \frac{c_v \cdot t}{H_2}$  pentru consolidare uniaxială

$T = T_R = \frac{c_v \cdot t}{(2R)^2}$  pentru consolidare radială.

**I. CONSOLIDARE UNIAXIALĂ**

**I.a. Presiunea neutră initială  $u_0$ , distribuită uniform pe înălțimea stratului**

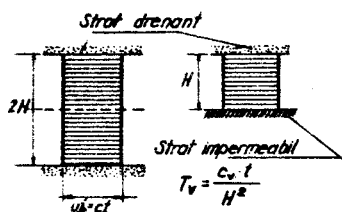


Fig. 3.24

- TABEЛ 3.19 - a

$U_v = f_1(T_v)$	
$U_v \%$	$T_v$
0	0
5	0,0017
10	0,0077
15	0,0177
20	0,0314
25	0,0491
30	0,0707
35	0,1962
40	0,126
45	0,159
50	0,196
55	0,298
60	0,286
65	0,342
70	0,403
75	0,477
80	0,567
85	0,684
90	0,848
95	1,129
100	

- TABEЛ 3.20 - a

$T_v = f_2(U_v)$	
$T_v$	$U_v \%$
0,004	7,35
0,008	10,38
0,012	12,48
0,020	15,98
0,028	18,89
0,036	21,41
0,048	24,64
0,060	27,64
0,072	30,28
0,083	32,33
0,100	35,62
0,125	39,89
0,150	43,76
0,175	47,18
0,200	50,41
0,250	56,22
0,300	61,32
0,350	65,82
0,400	69,73
0,500	76,40
0,600	81,56
0,700	85,59
0,800	88,74
0,900	91,19
1,000	93,13
2,000	99,42

**I.b. Presiunea neutră initială  $u_0$ , distribuită linear pe înălțimea stratului**

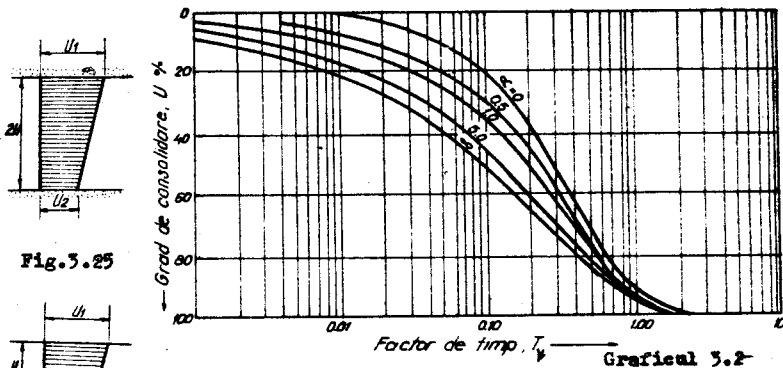
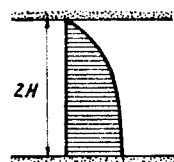


Fig. 3.25

Graficul 3.2

**I.c. Presiunea neutră initială  $u_0$ , distribuită semisinusoidal pe înălțimea stratului**

Fig. 3.26



- TABEЛ 3.19 - c

$U_v \%$	$T_v$
0	0
5	0,0021
10	0,0114
15	0,0238
20	0,0403
25	0,0608
30	0,0845
35	0,112
40	0,143
45	0,177
50	0,215
55	0,257
60	0,304
65	0,358
70	0,421
75	0,494
80	0,586
85	0,700
90	0,862
95	1,163
100	

- TABEЛ 3.20 - c

$T_v$	$U_v \%$
0,004	6,49
0,008	8,62
0,012	10,49
0,020	13,67
0,028	16,38
0,036	18,76
0,048	21,96
0,060	24,81
0,072	27,45
0,083	29,67
0,100	32,88
0,125	36,54
0,150	41,12
0,175	44,75
0,200	48,09
0,250	54,17
0,300	59,50
0,400	68,36
0,500	76,28
0,600	80,69
0,700	84,91
0,800	88,21
0,900	90,79
1,000	92,86
2,000	

Fig. 3.27

1.e. Presiunea neutră initială  $U_0$ , distribuită sinusoidal pe înălțimea stratului

- TABELUL 3.19 - d

$U_0 \%$	$T_V$
0	0,0208
5	0,0427
10	0,0659
15	0,0904
20	0,117
25	0,145
30	0,175
35	0,207
40	0,242
45	0,281
50	0,324
55	0,371
60	0,425
65	0,488
70	0,562
75	0,652
80	0,769
85	0,933
90	1,214
100	2,000

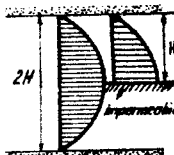


Fig.3.28

1.e. Presiunea neutră initială  $U_0$ , distribuită triunghiular pe înălțimea stratului

- TABELUL 3.19 - e

$U_0 \%$	$T_V$	$U_0 \%$	$T_V$	$U_0 \%$
0	0,004	0,35	0,700	81,65
5	0,008	1,62	0,828	85,66
10	0,012	2,41	0,900	88,89
15	0,020	4,00	1,000	91,25
20	0,028	5,60	2,000	
25	0,036	7,20		
30	0,048	9,50		
35	0,060	11,38		
40	0,072	14,36		
45	0,083	16,46		
50	0,100	19,76		
55	0,125	24,42		
60	0,150	28,86		
65	0,175	33,06		
70	0,200	37,04		
75	0,250	44,32		
80	0,300	50,78		
85	0,350	56,49		
90	0,400	61,54		
95	0,500	69,94		
100	0,600	76,52		

Fig.3.29

1.f. Consolidare axială sub încărcare creșătoare în timp urmată de sarcină constantă

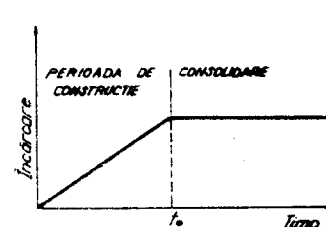
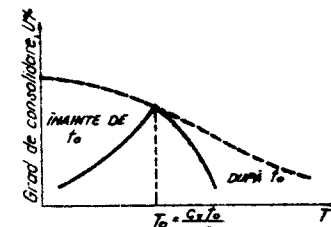
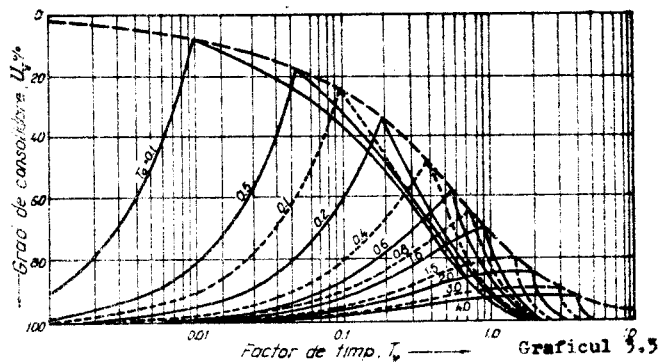


Fig.3.30

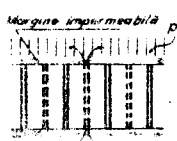


Factorul de timp Fig.3.31



Graficul 3.3

## 2. CONSOLIDARE RADIALĂ



$$\tau_r = \frac{C_1 \cdot r}{(2R)^2}$$

Distanța între drepturi

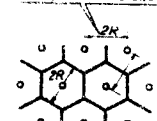


Fig.3.32

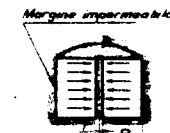


Fig.3.33

- TABEULU 3.21 -

U <sub>r</sub> (%)	Factor de tip r	U/r =						U <sub>r</sub>
		3	10	15	20	25	30	
5	0,006	0,619	0,614	0,616	0,617	0,619	0,620	0,625
10	0,012	0,628	0,626	0,628	0,635	0,639	0,642	0,648
15	0,019	0,632	0,640	0,646	0,650	0,654	0,660	0,674
20	0,026	0,644	0,655	0,663	0,669	0,674	0,682	0,692
25	0,034	0,657	0,671	0,681	0,689	0,696	0,706	0,717
30	0,042	0,670	0,688	0,701	0,710	0,718	0,725	0,739
35	0,050	0,685	0,706	0,725	0,741	0,753	0,765	0,772
40	0,058	0,691	0,712	0,731	0,750	0,768	0,783	0,793
45	0,067	0,698	0,718	0,737	0,756	0,774	0,790	0,804
50	0,081	0,707	0,727	0,747	0,769	0,790	0,815	0,834
55	0,094	0,715	0,737	0,757	0,781	0,804	0,824	0,845
60	0,107	0,718	0,736	0,758	0,785	0,804	0,827	0,846
65	0,125	0,725	0,747	0,769	0,796	0,825	0,846	0,866
70	0,137	0,731	0,751	0,773	0,799	0,830	0,851	0,872
75	0,162	0,737	0,757	0,779	0,801	0,832	0,853	0,875
80	0,188	0,748	0,767	0,787	0,817	0,848	0,869	0,890
85	0,222	0,752	0,773	0,793	0,823	0,854	0,875	0,896
90	0,270	0,755	0,775	0,795	0,825	0,855	0,875	0,896
95	0,351	0,759	0,778	0,798	0,824	0,854	0,874	0,894
99	0,539	0,767	0,787	0,807	0,837	0,867	0,887	0,907

3. CONSOLIDARE COMBINATA (UNIAXIAL + RADIAL)

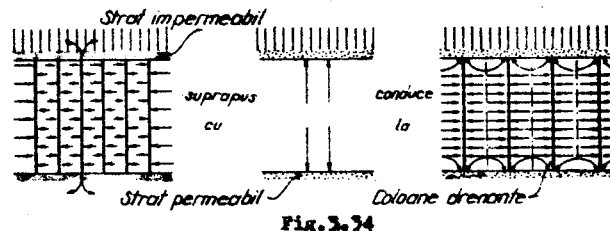
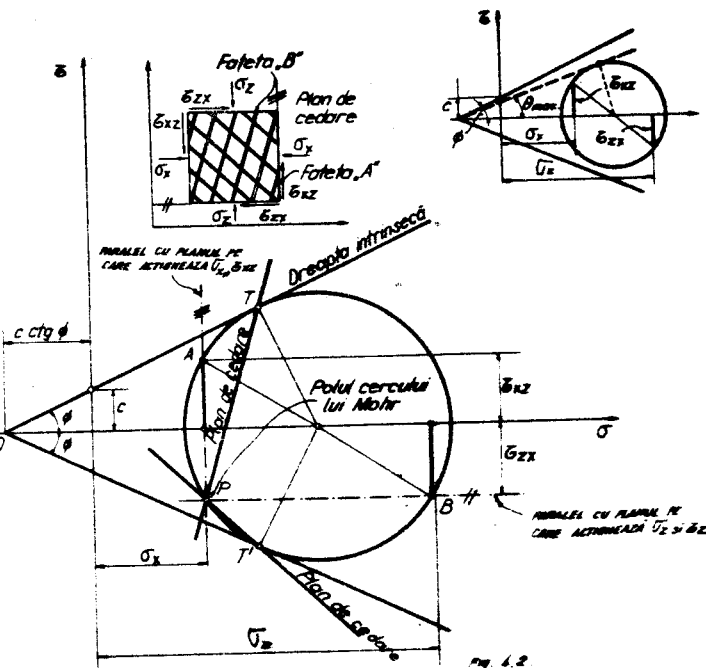


Fig. 3.34

$$U_r = U_v \cdot U_x$$

$$(7) \quad (1 - U_{total}) = (1 - U_v) \cdot (1 - U_x)$$



1) Fără considerarea greutății proprii a pământului

$$\sin \theta_{\max} = \frac{\sqrt{(\bar{\sigma}_z - \bar{\sigma}_x)^2 + 4 \cdot \bar{\tau}_{xz}^2}}{\bar{\sigma}_z + \bar{\sigma}_x + 2 \cdot c \cdot \operatorname{ctg} \phi} = \sin \theta$$

2) Cu considerarea greutății proprii a pământului

$$\sin \theta_{\max} = \frac{\sqrt{(\bar{\sigma}_z - \bar{\sigma}_x)^2 + 4 \cdot \bar{\tau}_{xz}^2}}{\bar{\sigma}_z + \bar{\sigma}_x + 2(c \cdot \operatorname{ctg} \phi + f \cdot z)} = \sin \theta$$

- 88 -  
Condiții generale de cedare plastică

PLANSA 4.I

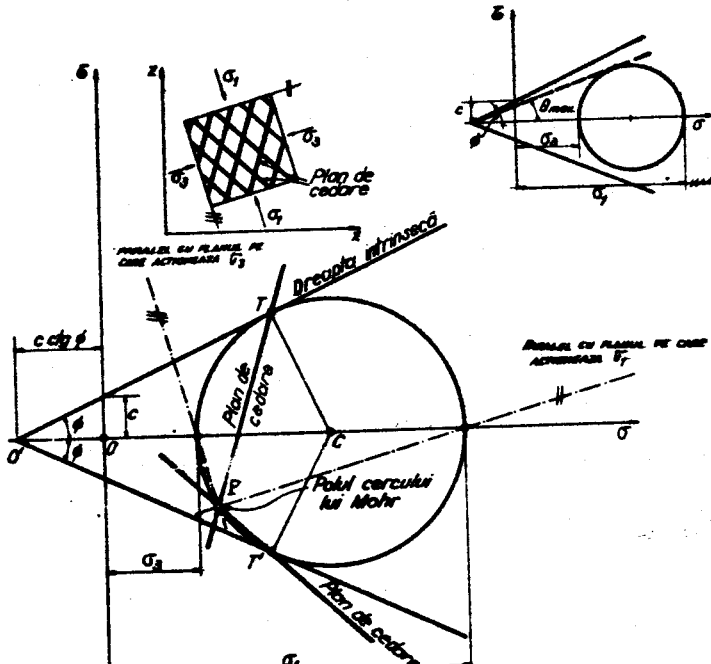


fig. 4.I.

1) Fără considerarea greutății proprii a pământului

$$\sin \theta_{\max} = \frac{\bar{\sigma}_1 - \bar{\sigma}_3}{\bar{\sigma}_1 + \bar{\sigma}_3 + 2 \cdot c \cdot \operatorname{ctg} \phi} = \sin \theta$$

2) Cu considerarea greutății proprii a pământului

$$\sin \theta_{\max} = \frac{\bar{\sigma}_1 - \bar{\sigma}_3}{\bar{\sigma}_1 + \bar{\sigma}_3 + 2(c \cdot \operatorname{ctg} \phi + f \cdot z)} = \sin \theta$$

în care :

$\phi$  și  $c$  - sunt respectiv unghiul de frecare internă și coesiunea pământului;

$z$  - este adâncimea panoului considerat în teren, sub suprafață liberă orizontală a acestuia.

Siguranță față de cedarea plastică

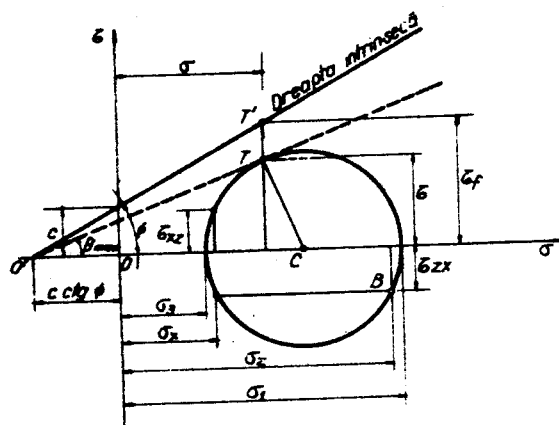


Fig. 4.3.

1) Factorul de siguranță față de starea limită

$$F_s = \frac{\sigma_f}{\sigma} = \frac{\text{tg } \theta}{\text{tg } \theta_{\max}} \quad \text{Cea mai mică valoare}$$

2) Gradul de mobilizare a rezistenței la forfecare :

$$\alpha = \frac{\sigma}{\sigma_f} = \frac{1}{F_s} \quad \text{Cea mai mare valoare}$$

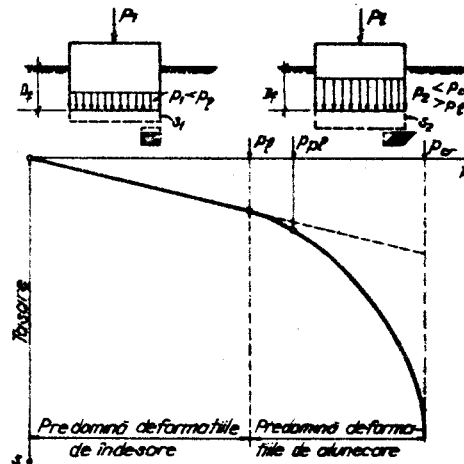


Fig. 4.4.

$$(1) p_1 = D_1 N_q^L + e N_c^L$$

în care :

$$N_q^L = 1 + \frac{\bar{x}}{\text{ctg } \theta + \theta - \frac{\bar{x}}{2}}$$

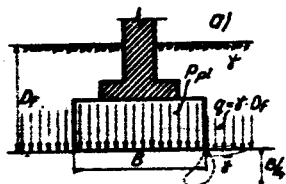
$$N_c^L = \frac{\bar{x} \text{ctg } \theta}{\text{ctg } \theta + \theta - \frac{\bar{x}}{2}}$$

- Tabelul 4.1 -

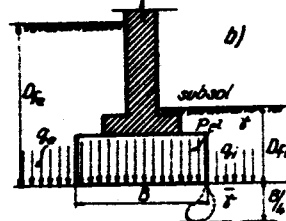
θ°	0	2	4	6	8	10	12	14	16	18	20	22
N <sub>q</sub> <sup>L</sup>	1,00	1,12	1,25	1,39	1,55	1,73	1,94	2,17	2,43	2,72	3,06	3,44
N <sub>c</sub> <sup>L</sup>	3,14	3,32	3,51	3,71	3,93	4,17	4,42	4,69	5,00	5,31	5,66	6,04

θ°	24	26	28	30
N <sub>q</sub> <sup>L</sup>	3,87	4,37	4,93	5,59
N <sub>c</sub> <sup>L</sup>	6,45	6,90	7,40	7,95

Presiunile limite de proporționalitate, încărcare-tăsare



$$1) p_{pl} = n_1 (\bar{N} M_1 + q_1 N_2 + q_2 N_3)$$



$$2) p_{pl} = n_1 (\bar{N} M_1 + \frac{2q_2}{3} + q_1 N_2 + q_3 N_3)$$

Fig. 4.5.

Valorile  $M_1$ ,  $M_2$ ,  $M_3$ 

- tabelul 4.2. -

$\theta$	$0^\circ$	$2^\circ$	$4^\circ$	$6^\circ$	$8^\circ$	$10^\circ$	$12^\circ$	$14^\circ$	$16^\circ$	$18^\circ$	$20^\circ$	$22^\circ$
$M_1$	0,00	0,03	0,06	0,10	0,14	0,18	0,23	0,29	0,36	0,43	0,51	0,61
$M_2$	1,00	1,12	1,25	1,39	1,55	1,73	1,94	2,17	2,43	2,72	3,06	3,44
$M_3$	3,14	3,32	3,51	3,71	3,93	4,17	4,42	4,69	5,00	5,31	5,66	6,04

$\theta$	$24^\circ$	$26^\circ$	$28^\circ$	$30^\circ$
$M_1$	0,72	0,84	0,96	1,15
$M_2$	3,87	4,37	4,93	5,59
$M_3$	6,45	6,90	7,40	7,93

- Tabelul 4.3 -

Nr. crt. Denumirea terenului de fundare	$M_1$ pentru starea limită a structurii la care se face verificarea	
	starea limită ultimă	starea limită a exploatarii normale
1. Bolovănișuri cu interagațiile umplute cu nisip, pietriguri și nisipuri cu excepția nisipurilor fine și prăfoase.	2,00	1,60
2. Nisipuri fine :		
- uscate sau umede ( $S_r < 0,8$ )	1,90	1,55
- foarte umede sau saturate ( $S_r > 0,8$ )	1,80	1,45
3. Nisipuri prăfoase :		
- uscate sau umede ( $S_r < 0,8$ )	1,80	1,45
- foarte umede sau saturate ( $S_r > 0,8$ )	1,50	1,25
4. Bolovănișuri și pietriguri cu pământuri argiloase cu $I_C \geq 0,5$	1,60	1,35
5. Pământuri argiloase cu $I_C > 0,5$	1,60	1,35
6. Bolovănișuri și pietriguri umplute cu pământuri argiloase cu $I_C < 0,5$	1,10	0,95
7. Pământuri argiloase cu $I_C < 0,5$	1,10	0,95

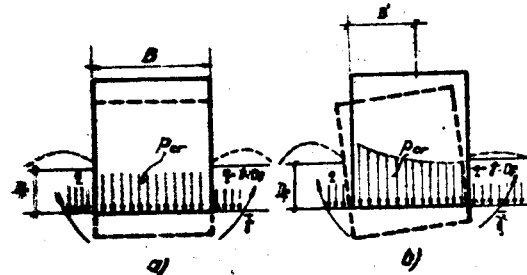


Fig. 4.6

$$(1) P_{cr} = \frac{1}{2} B' \cdot N_y + q \cdot N_q \cdot \lambda_q + c \cdot N_c \cdot \lambda_c$$

$B'$ ,  $B'$  sunt dimensiunile reduse ale suprafeței de fundare în cazul solicitării excentrice :

$$B' = B - 2e_B$$

$$L' = L - 2e_L$$

$$(2) Q_{cr} = P_{cr} \cdot L' \cdot B'$$

- Tabelul 4.4 -

$B$	$N_y$	$N_q$	$N_c$
0°	0,0	1,0	5,1
5°	0,1	1,6	6,5
10°	0,2	2,5	8,3
15°	0,7	3,9	11,0
20°	1,8	6,4	14,8
22°-30°	2,7	8,2	17,5
25°	4,1	10,7	20,7
27°-30°	6,1	13,9	24,9
30°	9,0	18,4	30,1
32°-30°	13,6	24,6	37,0
35°	20,4	35,3	46,1
37°-30°	31,0	45,8	58,4
40°	47,7	64,2	75,3
42°-30°	75,0	91,9	99,5
45°	120,3	134,9	133,9

- Tabelul 4.5 -

Forma fundației	$\lambda_c, \lambda_q$	$\lambda_y$
- Cenușină	1,0	1,0
- Dreptunghiulară $B/L > 0,2$	$1 + 0,5 B'/L'$	$1 - 0,4 B'/L'$
- Patrată, circulară	1,3	0,6

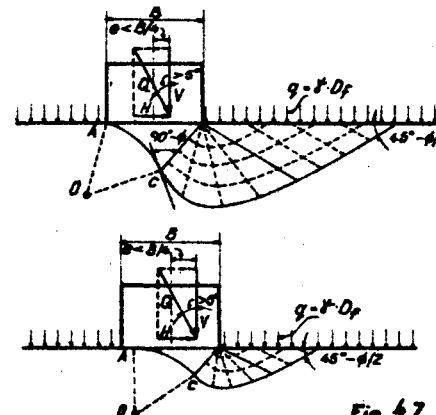


Fig. 4.7

$$(1) P_{cr} = \frac{1}{2} \cdot \frac{1}{2} \cdot B' \cdot N_y \cdot \lambda_y \cdot \lambda_N + q \cdot N_q \cdot \lambda_q \cdot \lambda_{qi} + c \cdot N_c \cdot \lambda_c \cdot \lambda_{ci}$$

$B'$ ,  $B'$  sunt dimensiunile reduse ale suprafeței de fundare în cazul solicitării excentrice.

$$B' = B - 2e_B$$

$$L' = L - 2e_L$$

$$(2) Q_{cr} = P_{cr} \cdot L' \cdot B'$$

$N_y, N_q, N_c$  - factori de capacitate portantă, cu valoarea funcție de unghi  $\gamma$  de freare internă, din Tabelul 4.6 ;

$\lambda_y, \lambda_q, \lambda_c$  - factori de corecție pentru forme în plan a suprafeței de fundare, Tabelul 4.7

$\lambda_{qi}, \lambda_{ci}$  - factori de corecție pentru orientarea planului forței rezultante,  $Q$ , Tabelul 4.8.

Factorii de capacitate portantă

- Tabelul 4.6 -

<i>N</i>	$N_c$	$N_q$	$N$	$N_q/N_c$	$\operatorname{tg}\theta$	<i>S</i>	$N_c$	$N_q$	$N$	$N_q/N_c$	$\operatorname{tg}\theta$
0	5,14	1,00	0,00	0,20	0,00	19	13,93	5,80	4,68	0,42	0,34
1	5,39	1,09	0,07	0,20	0,02	20	14,83	6,40	5,39	0,45	0,36
2	5,63	1,20	0,15	0,21	0,03	21	15,82	7,07	6,20	0,45	0,38
3	5,90	1,31	0,24	0,22	0,05	22	16,88	7,62	7,13	0,46	0,40
4	6,19	1,43	0,34	0,25	0,07	23	18,05	8,66	8,20	0,48	0,42
5	6,49	1,57	0,45	0,24	0,09	24	19,32	9,60	9,44	0,50	0,45
6	6,81	1,72	0,57	0,25	0,11	25	20,72	10,66	10,88	0,51	0,47
7	7,16	1,88	0,71	0,26	0,12	26	22,29	11,85	12,54	0,53	0,49
8	7,53	2,08	0,85	0,27	0,14	27	23,94	13,20	14,17	0,55	0,51
9	7,92	2,25	1,03	0,28	0,16	28	25,80	14,72	16,72	0,57	0,53
10	8,35	2,47	1,22	0,30	0,18	29	27,88	16,44	19,34	0,58	0,55
11	8,80	2,71	1,44	0,31	0,19	30	30,14	18,40	22,40	0,61	0,58
12	9,28	2,97	1,89	0,32	0,21	31	32,67	20,63	25,99	0,63	0,60
13	9,81	3,26	1,97	0,33	0,23	32	35,49	23,16	30,22	0,65	0,62
14	10,37	3,59	2,29	0,36	0,25	33	38,61	26,09	35,19	0,68	0,65
15	10,98	3,94	2,65	0,36	0,27	34	42,16	29,44	41,06	0,70	0,67
16	11,63	4,34	3,06	0,37	0,29	35	46,12	33,30	48,03	0,72	0,70
17	12,34	4,77	3,53	0,39	0,31						
18	13,10	5,26	4,07	0,40	0,32						

Factori de corecție pentru formă

- Tabelul 4.7 -

Forma fundației	$\zeta_c$	$\zeta_q$	$\zeta_y$
Pigie	1,00	1,00	1,00
Dreptunghi	$1 + (B/L)(N_q/N_c)$	$1 + (B/L)\operatorname{tg}\theta$	$1 - 0,4(B/L)$
Cerc sau pătrat	$1 + (N_q/N_c)$	$1 + \operatorname{tg}\theta$	0,60

Factori de corecție pentru inclinarea rezultantei

- Tabelul 4.8 -

Factor	Formula
$\zeta_{qi}$	$\left[ 1 - \frac{P}{Q + B'L' \cdot \cot\theta} \right]^{m+1}$
$\zeta_{yi}$	$\left[ 1 - \frac{P}{Q + B'L' \cdot \cot\theta} \right]^m$

- Tabelul 4.8 - (continuare)

Factor	Formula
$\zeta_{ci}$	$\left[ \zeta_{qi} - \frac{1 - \zeta_{qi}}{N_c \operatorname{tg}\theta} \right] \text{ pt } \theta \neq 0$
$\zeta$	$\left[ 1 - \frac{m_P}{B'L' \cdot c \cdot N_c} \right] \text{ pt } \theta = 0$
	- inclinarea rezultantei in direcția lăturei scurte, $B$ :
	$m_B = \frac{2 + B/L}{1 + B/L}$
	- inclinarea rezultantei in direcția lăturei lungi, $L$ :
	$m_L = \frac{2 + L/B}{1 + L/B}$
	- inclinarea in direcția $n$ , cu unghiul $\theta_n$ cu direcția lăturei $L$ :
	$m_n = m_L \cos^2 \theta_n + m_B \sin^2 \theta_n$

Presiunile critice de rezistență laterală  
în zona de taluz

PLANSA 4.VIII

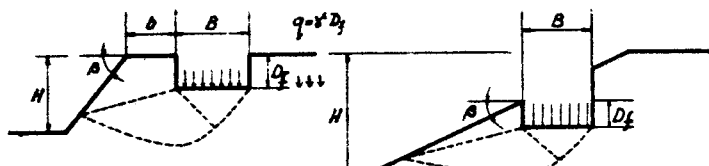
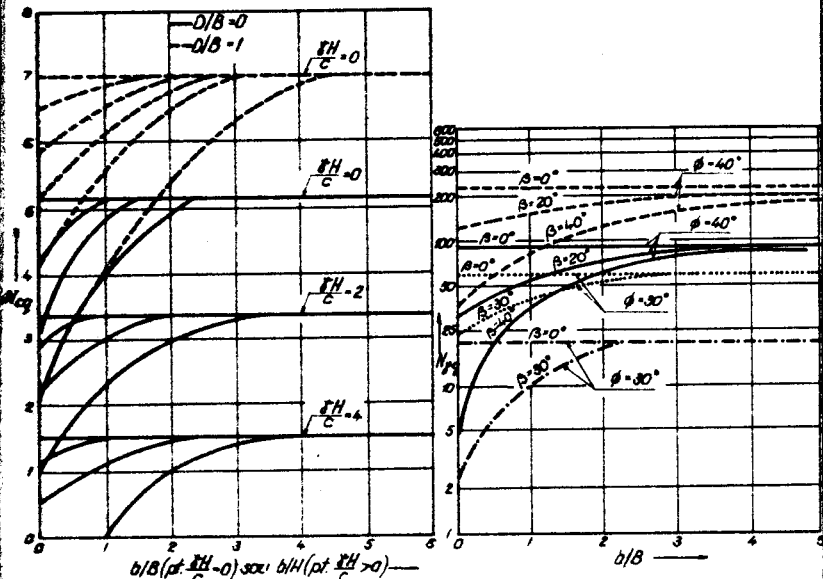


Fig 4.8

A. Fundație pe taluz.

B. Fundație în taluz.

$$P_{cr} = \frac{1}{2} \cdot Y_B \cdot H \cdot q \cdot \bar{\gamma}_y + c \cdot N_{eq} \cdot \bar{\gamma}_c$$



Teren pur coeziu.

Fundație pe taluz.

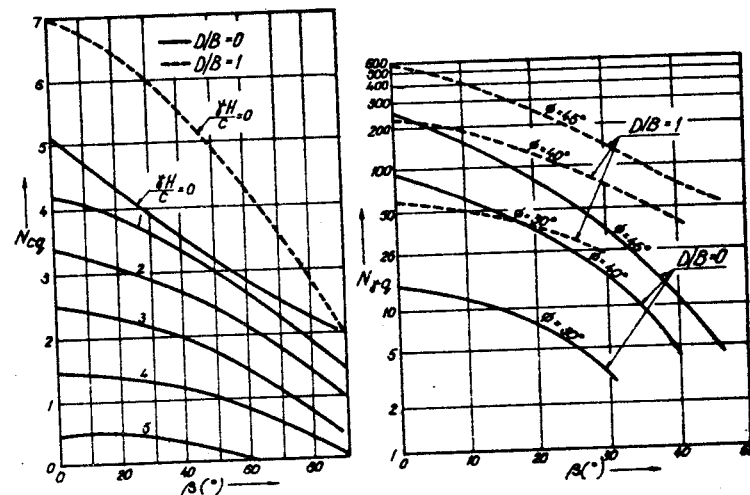
Graficul 4.1

Teren necoeziu.

Fundație pe taluz.

Graficul 4.2

PLANSA 4.VIII



Teren pur coeziu.

Fundație în taluz.

Graficul 4.3

Teren necoeziu.

Fundație în taluz.

Graficul 4.4

$\bar{\gamma}_y, \bar{\gamma}_c$  - factori de formă :

$$\bar{\gamma}_y = \frac{3 - \bar{\gamma}_c}{2} ; \quad \bar{\gamma}_c = 1 + (0,2 + \tan^2 \phi) \cdot \frac{B'}{L}$$

$$B' = B - 2 \cdot e_B$$

$e_B$  - excentricitatea inclinației în lungul laturii scurte.

- 100 -  
Presiunea critică de refugare laterală în teren stratificat ortotrop

PLANSA 4.IX

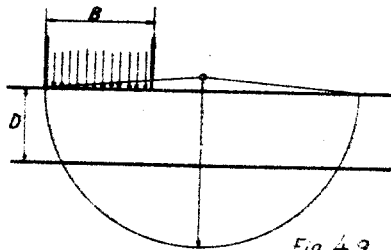
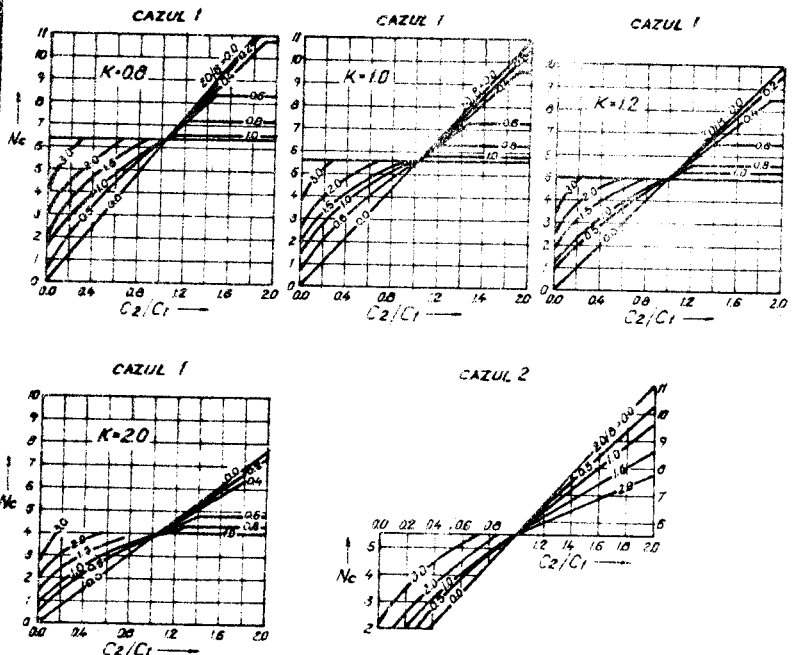


Fig. 4.9

$$1) P_{cr} = c_1 N_c$$



Coefficient de anizotropie  $K = c_y/c_H$  - Graficele 4.5.

- 101 -  
Presiunea critică de refugare laterală în teren stratificat cu strate izotrope

PLANSA 4.X

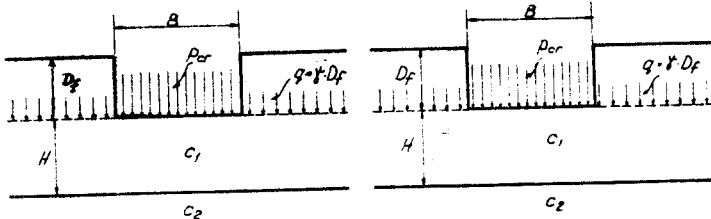


Fig. 4.10

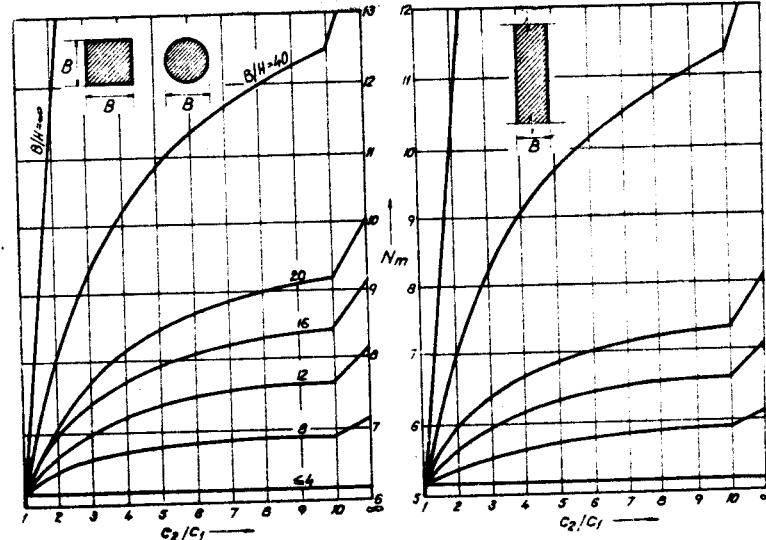
$$a) c_2 > c_1$$

$$1) P_{cr} = c_1 \cdot N_m + q$$

$N_m$  - conform graficelor pentru cazul (a)

$$N_m = \frac{1}{P} + K \cdot \zeta_c \cdot N_c \text{ pentru cazul (b)}$$

$$\begin{aligned} P &= BL / [2(B + L) \cdot H]; \quad N_c = \begin{cases} 6,17 \\ 5,14 \end{cases} \\ \zeta_c &= \begin{cases} 0,17 \\ 0,14 \end{cases} \end{aligned}$$



Graficul 4.6

Graficul 4.7

- 102 -

Planșă 5.I.

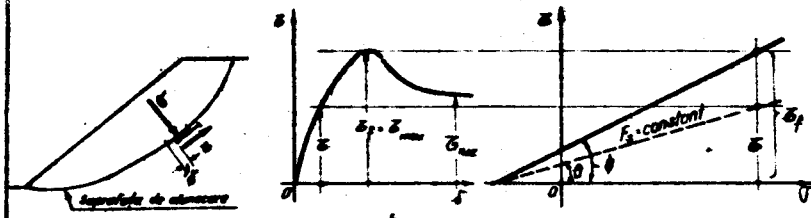


Fig. 5.1.

$$(1) F_s = \frac{c}{g \cdot \tan \phi}$$

$$(2) F_s = \frac{c \cdot \tan \phi}{g} = \frac{c \sin \phi}{g \cos \phi}$$

$$(3) F_s = \frac{\frac{c}{g}}{\tan \phi} = \frac{1}{\tan \phi}$$

$$(4) \tan \frac{c}{g \cdot \tan \phi} = \frac{\sin \phi}{\cos \phi}$$

Metoda unghiului de frâdere φ

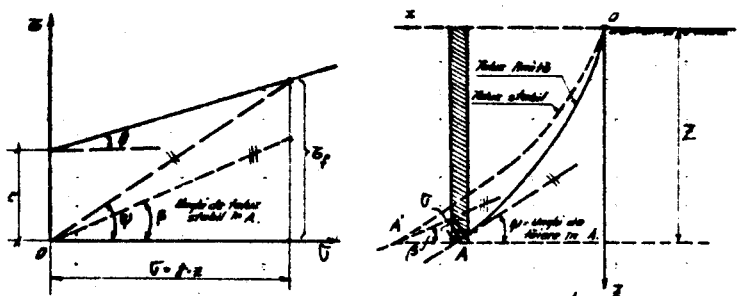


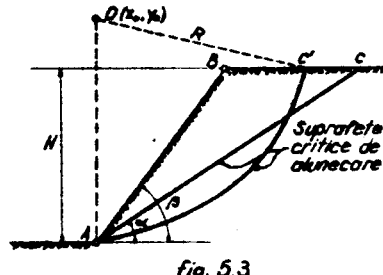
Fig. 5.2.

$$(5) F_{s_A} = \frac{c}{g} \cdot \frac{\tan \phi}{R} = \frac{\tan \phi + \frac{c}{g}}{\tan \phi}$$

$$(6) x = \frac{c}{g \cdot \tan \phi} \left[ z - \frac{c}{g \cdot \tan \phi} \ln \left( z + \frac{c}{g \cdot \tan \phi} \right) \right]$$

- 103 -

PLANSA 5.II

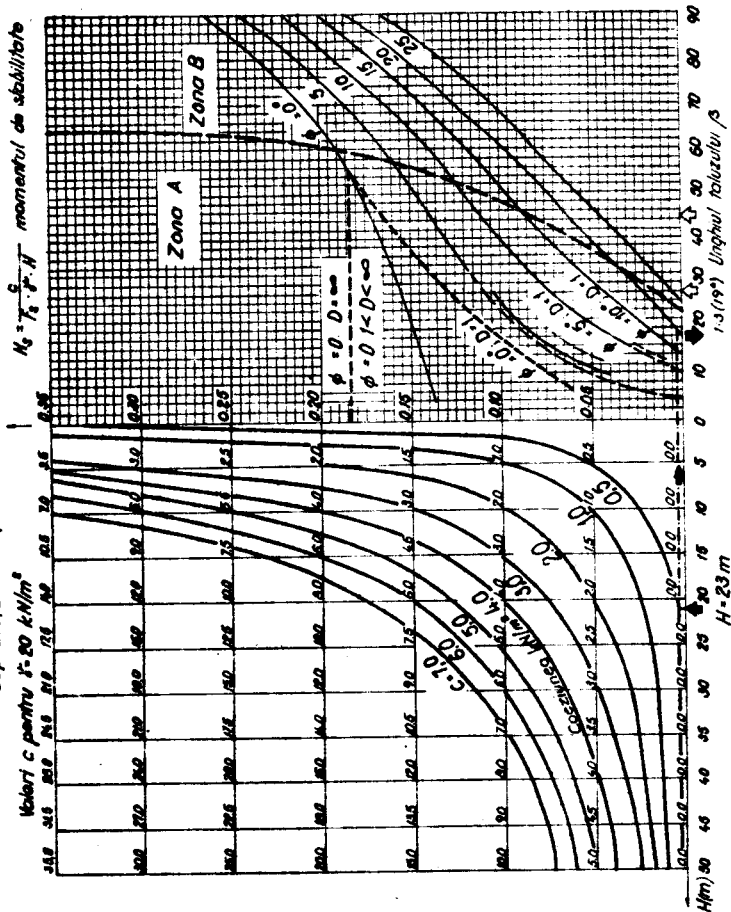


$$N_s = \frac{c}{F_s \cdot g \cdot H} = \tau(\beta, \theta) \quad (1)$$

$$\text{Suprafață plană de alunecare : } \sin^2 \left( \frac{\beta - \theta}{2} \right) \\ \tau(\beta, \theta) = \frac{2 \sin \beta \cos \theta}{\sin^2 \left( \frac{\beta - \theta}{2} \right)} \quad (2)$$

fig. 5.3

Graficul 5.I



Sectiune tip si cerc de rupere in zona A



Cercul critic trece prin piciorul taluzului. Se utilizează curbele cu linii pline.

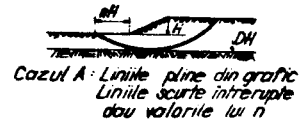
Sectiune tip cu diversele cazuri considerate in zona B



**CAZUL 1** - Cercul cel mai periculos trece prin piciorul taluzului ; se utilizează curbele cu linii continui. Acolo unde liniile nu apar, acest caz nu diferă apreciabil de cazul 2.

**CAZUL 2** - Cercul critic trece pe sub piciorul taluzului ; se utilizează curbele cu linii interrupții lungi. Acolo unde liniile nu apar, cercul critic trece prin piciorul taluzului.

**CAZUL 3** - Suprafață de rupere sau strat mai tare în baza taluzului ( $D=1$ ) ; se utilizează curbele cu linii interrupții scurte.

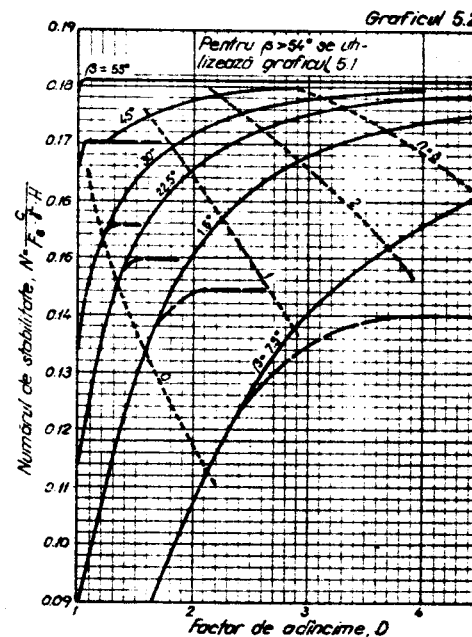


Cazul A: Linii pline din grafic  
Linii scurte interrupție  
două valoare lui n



Cazul B: Linii lungi interrupție

fig. 5.4



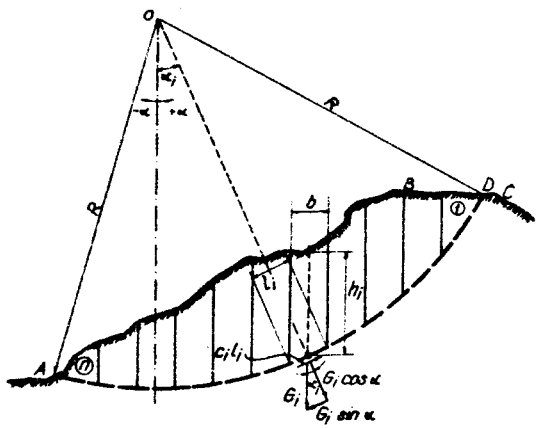


Fig. 5.5

$$F_s = \frac{\sum_i G_i \cos \alpha_i \tan \theta_1 + \sum_i c_i l_i}{\sum_i G_i \sin \alpha_i} \quad (1)$$

$$\text{cu } G_i = \gamma \cdot b \cdot h_i$$

- Tabelul 5.1 -

Nr figiei	$h_i$	$G_i = h_i \cdot b \cdot \gamma \cos \alpha_i$	$G_i \cos \alpha_i$	$\sin \alpha_i$	$G_i \sin \alpha_i$	$G_i \cos \alpha_i / G_i \sin \alpha_i$	$c_i l_i$
1							
2							
3							
4							
$n$							
		$\Sigma \cdot$	$\Sigma \cdot$	$\Sigma \cdot$	$\Sigma \cdot$		

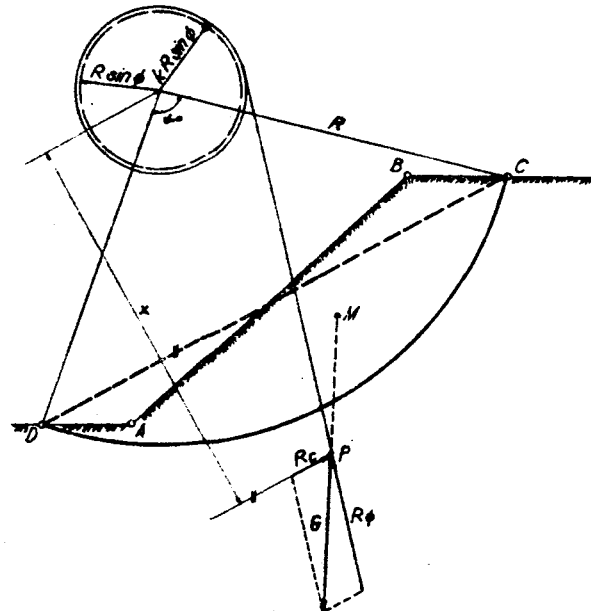


Fig. 5.6

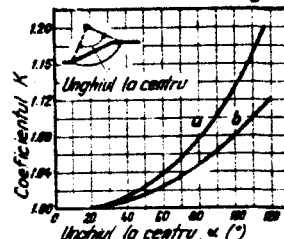
$$x = R \cdot \frac{DC}{DC} \quad (1)$$

$$P_s^B = \frac{\tan \theta_{ef}}{\tan \theta_{nec}} \quad (2)$$

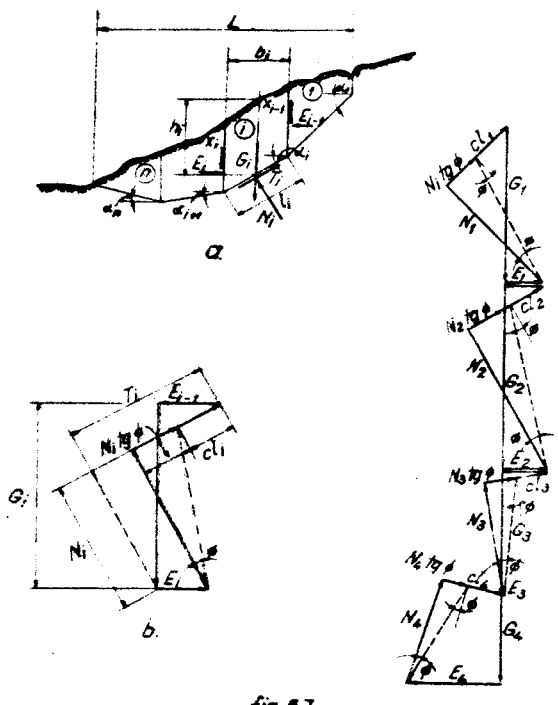
$$P_s^C = \frac{c_{ef}}{c_{nec}} \quad (3)$$

$$P_s = P_s^B = P_s^C \quad (4)$$

a - distributie de eforturi uniforme pe DC  
b - distributie de eforturi neuniforme pe DC  
svind valori nule in D si C.



Graficul 5.3



$$E_i = E_{i-1} + 1/2 \cdot G_i \sin 2\alpha_i - \alpha_i^2 \cos \alpha_i - \operatorname{tg} \theta \cdot G_i \cos^2 \alpha_i \quad (1)$$

$$E_i = \frac{1}{2} \sum_{j=1}^n G_j \sin 2\alpha_j - \alpha_1^2 \sum_{j=1}^n l_j \cos \alpha_j - \operatorname{tg} \theta \sum_{j=1}^n G_j \cos^2 \alpha_j \quad (2)$$

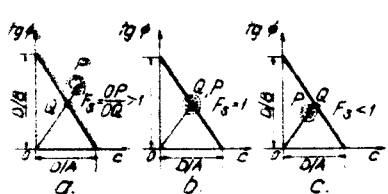


Fig. 5.8

$$\left. \begin{aligned} F_s &= \frac{\overline{OP}}{\overline{OQ}} \\ A &= \sum_{i=1}^n l_i \cos \alpha_i \\ B &= \sum_{i=1}^n G_i \cos^2 \alpha_i \\ D &= \frac{1}{2} \sum_{i=1}^n G_i \sin 2\alpha_i \\ \text{cu } G_i &= F_i \cdot b_i \cdot h_i \end{aligned} \right\} \quad (3)$$

Fig. 5.8

$$G' = G - u$$

$$J \cdot d = V_2 f_v \cdot e_2$$

$$F_s = \frac{R \left[ \sum_{i=1}^n (G'_i + G^1_i) \cos \alpha_i \operatorname{tg} \theta'_i + \sum_{i=1}^n e_i^2 l_i \right]}{G_1 \cdot e_1 + V_2 e_2 (f^1 + f_v)} \quad (3)$$

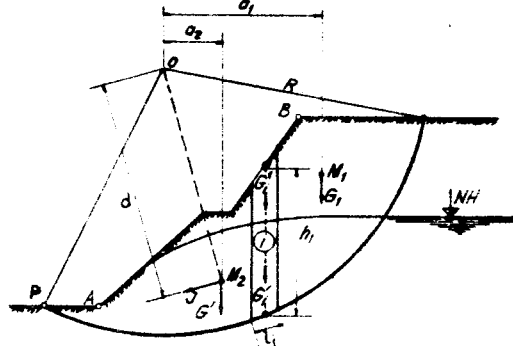


Fig. 5.9

$$u_i = f_v \cdot h_i^2 \cdot \cos^2 \theta_i$$

$$r_u^i = u_i / (\delta_1^2 \cdot h_i)$$

$$\delta_1^2 = \frac{\sum_j (f_j)_i h_j^2}{\sum_i h_i^2}$$

$$F_s = \frac{\sum_i [l_i c_i + r_u^i h_i l_i (\cos^2 \theta_i - r_u^2) \operatorname{tg} \theta'_i]}{\frac{1}{2} \sum_i r_u^i h_i l_i \sin 2\theta_i} \quad (7)$$

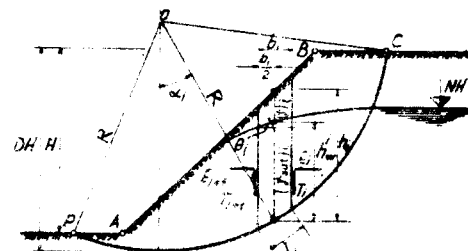


Fig. 5.10

$$r_u^m = \left( \sum_i r_u^i \right) / n \quad (8)$$

$$r_{u,i}^m = r_0 - r_u^m \cdot n_0 \quad (9)$$

$$x_0 = \frac{\sum_i (l_i c'_i + f_i^m h_i l_i \cos^2 \alpha_i \operatorname{tg} \beta'_i)}{\frac{1}{2} \sum_i f_i^m h_i l_i \sin 2 \alpha_i} \quad (10)$$

$$n_0 = \frac{\sum_i (f_i^m h_i l_i \cdot \operatorname{tg} \beta'_i)}{\frac{1}{2} \sum_i f_i^m h_i l_i \sin 2 \alpha_i} \quad (11)$$

$$F_s = \frac{1}{\sum_i \frac{b_i}{H} \frac{h_i}{H} \sin \alpha_i} \sum_i \left[ \frac{c'_i \cdot b_i}{l_i H} + \frac{b_i \cdot h_i}{H} (1 - r_u^i) \operatorname{tg} \beta'_i \right] \cdot \frac{\sec \alpha_i}{1 + \frac{\operatorname{tg} \alpha_i \cdot \operatorname{tg} \beta'_i}{F_s}} \quad (1)$$

Tabele cu coeficienții m și n din expresia

$$F_s = m - n F_u \quad (2)$$

- Coeficienții de stabilitate m și n pentru  $\frac{c'}{H} = 0$

- Tabelul 5.2 -

$\beta'$	Coeficienți de stabilitate							
	Panta 1:2		Panta 1:3		Panta 1:4		Panta 1:5	
	m	n	m	n	m	n	m	n
10,0	0,353	0,441	0,529	0,588	0,705	0,749	0,882	0,917
12,5	0,443	0,554	0,665	0,739	0,887	0,943	1,109	1,153
15,0	0,536	0,670	0,804	0,893	1,072	1,139	1,340	1,393
17,5	0,631	0,789	0,946	1,051	1,261	1,340	1,577	1,639
20,0	0,728	0,910	1,092	1,213	1,456	1,547	1,820	1,892
22,5	0,828	1,035	1,243	1,381	1,657	1,761	2,071	2,153
25,0	0,933	1,166	1,399	1,554	1,865	1,982	2,332	2,424
27,5	1,041	1,301	1,562	1,736	2,082	2,213	2,603	2,706
30,0	1,155	1,444	1,732	1,924	2,309	2,454	2,887	3,001
32,5	1,274	1,593	1,911	2,123	2,548	2,708	3,185	3,311
35,0	1,400	1,750	2,101	2,334	2,801	2,977	3,501	2,659
37,5	1,535	1,919	2,302	2,558	3,069	3,261	3,857	3,989
40,0	1,678	2,098	2,517	2,797	3,356	3,566	4,196	4,362

PLANSA 5.VII

- Coeficienți de stabilitate m și n pentru  $\frac{c'}{T_H} = 0,025$  și

$$D = 1,00$$

- Tabelul 5.3 -

$\beta'$	Coeficienți de stabilitate									
	Panta 1:2		Panta 1:3		Panta 1:4		Panta 1:5		m	n
	m	n	m	n	m	n	m	n		
10,0	0,678	0,554	0,906	0,685	1,130	0,846	1,365	1,301		
12,5	0,790	0,655	1,066	0,849	1,337	1,061	1,620	1,282		
15,0	0,901	0,776	1,224	1,014	1,544	1,273	1,868	1,534		
17,5	1,012	0,898	1,380	1,179	1,751	1,485	2,121	1,789		
20,0	1,124	1,022	1,542	1,347	1,962	1,698	2,380	2,050		
22,5	1,239	1,150	1,705	1,518	2,177	1,916	2,646	2,317		
25,0	1,356	1,282	1,875	1,696	2,400	2,141	2,921	2,596		
27,5	1,478	1,421	2,050	1,882	2,651	2,575	3,207	2,886		
30,0	1,606	1,567	2,235	2,078	2,873	2,622	3,508	3,191		
32,5	1,739	1,721	2,451	2,285	3,127	2,883	3,823	3,511		
35,0	1,880	1,885	2,635	2,505	3,396	3,160	4,156	3,849		
37,5	2,030	2,060	2,855	2,741	3,681	3,458	4,510	4,209		
40,0	2,190	2,247	3,090	2,993	3,984	3,778	4,885	4,592		

- Coeficienți de stabilitate m și n pentru  $\frac{c'}{T_H} = 0,025$  și

$$D = 1,25$$

- Tabelul 5.4 -

$\beta'$	Coeficienți de stabilitate									
	Panta 1:2		Panta 1:3		Panta 1:4		Panta 1:5		m	n
	m	n	m	n	m	n	m	n		
10,0	0,737	0,614	0,901	0,726	1,085	0,867	1,285	1,014		
12,5	0,878	0,759	1,076	0,908	1,299	1,089	1,543	1,278		
15,0	1,019	0,907	1,253	1,095	1,515	1,512	1,803	1,545		
17,5	1,162	1,059	1,433	1,282	1,736	1,541	2,065	1,814		
20,0	1,309	1,216	1,618	1,478	1,961	1,775	2,334	2,090		
22,5	1,461	1,379	1,808	1,680	2,194	2,017	2,610	2,373		
25,0	1,619	1,547	2,007	1,891	2,437	2,269	2,897	2,669		
27,5	1,783	1,728	2,213	2,111	2,689	2,531	3,196	2,976		
30,0	1,956	1,915	2,431	2,342	2,953	2,806	3,511	3,299		
32,5	2,139	2,112	2,659	2,585	3,231	3,095	3,341	3,638		
35,0	2,331	2,321	2,901	2,841	3,524	3,400	4,191	3,998		
37,5	2,536	2,541	3,158	3,112	3,835	3,723	4,563	4,579		

PLANSA 5.VII

Coeficienți de stabilitate m și n pentru  $\frac{c'}{T_H} = 0,05$  și  
 $D = 1,00$

- Tabelul 5.5 -

$\beta'$	Coeficienți de stabilitate									
	Panta 1:2		Panta 1:3		Panta 1:4		Panta 1:5		m	n
	m	n	m	n	m	n	m	n		
10,0	0,913	0,563	1,181	0,717	1,469	0,910	1,733	1,069		
12,5	1,050	0,690	1,345	0,878	1,688	1,136	1,995	1,316		
15,0	1,145	0,816	1,506	1,043	1,904	1,353	2,256	1,567		
17,5	1,262	0,942	1,671	1,212	2,117	1,565	2,517	1,825		
20,0	1,380	1,071	1,840	1,387	2,333	1,776	2,783	2,091		
22,5	1,500	1,202	2,014	1,568	2,551	1,989	3,055	2,365		
25,0	1,624	1,338	2,193	1,757	2,778	2,211	3,336	2,651		
27,5	1,753	1,480	2,380	1,952	3,013	2,444	3,628	2,948		
30,0	1,888	1,630	2,574	2,157	3,261	2,693	3,934	3,259		
32,5	2,029	1,789	2,777	2,370	3,523	2,961	4,256	3,585		
35,0	2,178	1,958	2,990	2,592	3,803	3,253	4,597	3,927		
37,5	2,336	2,138	3,215	2,826	4,103	3,574	4,959	4,288		
40,0	2,505	2,332	3,451	3,071	4,425	3,926	5,344	4,668		

- Coeficienți de stabilitate m și n pentru  $\frac{c'}{T_H} = 0,05$  și

$$D = 1,25$$

- Tabelul 5.6 -

$\beta'$	Coeficienți de stabilitate									
	Panta 1:2		Panta 1:3		Panta 1:4		Panta 1:5		m	n
	m	n	m	n	m	n	m	n		
10,0	0,919	0,633	1,119	0,766	1,344	0,886	1,594	1,042		
12,5	1,054	0,792	1,294	0,941	1,563	1,112	1,850	1,300		
15,0	1,211	0,950	1,471	1,119	1,782	1,358	2,109	1,562		
17,5	1,359	1,108	1,650	1,303	2,004	1,567	2,373	1,831		
20,0	1,509	1,266	1,834	1,493	2,230	1,799	2,643	2,107		
22,5	1,663	1,428	2,024	1,690	2,463	2,058	2,921	2,392		
25,0	1,822	1,595	2,222	1,897	2,705	2,287	3,211	2,690		
27,5	1,988	1,769	2,428	2,113	2,957	2,546	3,513	2,999		
30,0	2,161	1,950	2,645	2,342	3,221	2,819	3,829	3,324		
32,5	2,343	2,141	2,873	2,583	3,500	3,107	4,161	3,665		
35,0	2,535	2,344	3,114	2,839	3,795	3,415	4,511	4,025		
37,5	2,738	2,560	3,370	3,111	4,109	3,740	4,881	4,405		
40,0	2,953	2,791	3,642	3,400	4,442	4,090	5,273	4,806		

- Coeficienți de stabilitate și n pentru  $\frac{G'}{F'N} = 0,05$  și  
 $D = 1,5e$

- Tabelul 5.7 -

g'	Coeficienți de stabilitate							
	Panta 1:2		Panta 1:1		Panta 1:4		Panta 1:5	
	n	m	n	m	n	m	n	
10,0	1,022	0,751	1,170	0,828	1,343	0,974	1,547	1,108
12,5	1,202	0,936	1,376	1,043	1,589	1,227	1,829	1,399
15,0	1,383	1,122	1,583	1,260	1,835	1,480	2,112	1,690
17,5	1,565	1,309	1,795	1,480	2,084	1,734	2,398	1,983
20,0	1,752	1,501	2,011	1,705	2,337	1,993	2,690	2,280
22,5	1,943	1,698	2,254	1,957	2,597	2,258	2,990	2,585
25,0	2,143	1,903	2,467	2,179	2,867	2,554	3,302	2,902
27,5	2,350	2,117	2,709	2,451	3,148	2,820	3,626	3,231
30,0	2,568	2,342	2,964	2,696	3,443	3,120	3,967	3,577
32,5	2,798	2,580	3,232	2,975	3,753	3,436	4,326	3,940
35,0	3,041	2,832	3,515	3,269	4,082	3,771	4,707	4,325
37,5	3,299	3,102	3,817	3,583	4,431	4,128	5,112	4,735
40,0	3,574	3,389	4,136	3,915	4,803	4,507	5,543	5,171

Teren fără opă



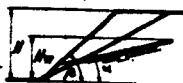
Fâșă fisuri de întindere



$$x = 2\sqrt{(\beta-\alpha)(\alpha-\rho)}$$

$$y = \frac{1}{N_0} \text{ cu } N_0^* = \frac{c}{FH}$$

Derivator din dreapta normal spre taluz



Fisură de întindere, uscată



$$x = 2\sqrt{(\beta-\alpha)(\alpha-\rho)(1-\alpha)} \left( \frac{H_0}{H} \right)^{\frac{1}{2}}$$

$$y = \frac{1 + \frac{Z_0}{H}}{N_0^*}$$

Curgere orizontală  
o operă în teren



Fisură de întindere,  
cu opă



$$x = 2\sqrt{(\beta-\alpha)(\alpha-\rho)(1-\alpha)} \left( \frac{H_0}{H} \right)^{\frac{1}{2}}$$

$$y = \frac{1 + \frac{3Z_0}{H}}{N_0^*}$$

Fig. 5.11

Teren fără opă



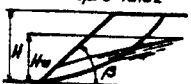
Fâșă fisuri de întindere



$$x = \beta - 1,2\rho$$

$$y = \frac{1}{N_0^*} \text{ cu } N_0^* = \frac{c}{FH}$$

Derivator din dreapta  
normal spre taluz



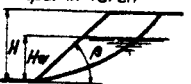
Fisură de întindere,  
uscată



$$x = \beta - \rho \left[ 12 - 0,3 \frac{H_0}{H} \right]$$

$$y = \frac{\left[ 1 + \frac{(0,28)}{100} \right] Z_0}{N_0^*}$$

Curgere orizontală  
o operă în teren



Fisură de întindere,  
cu opă

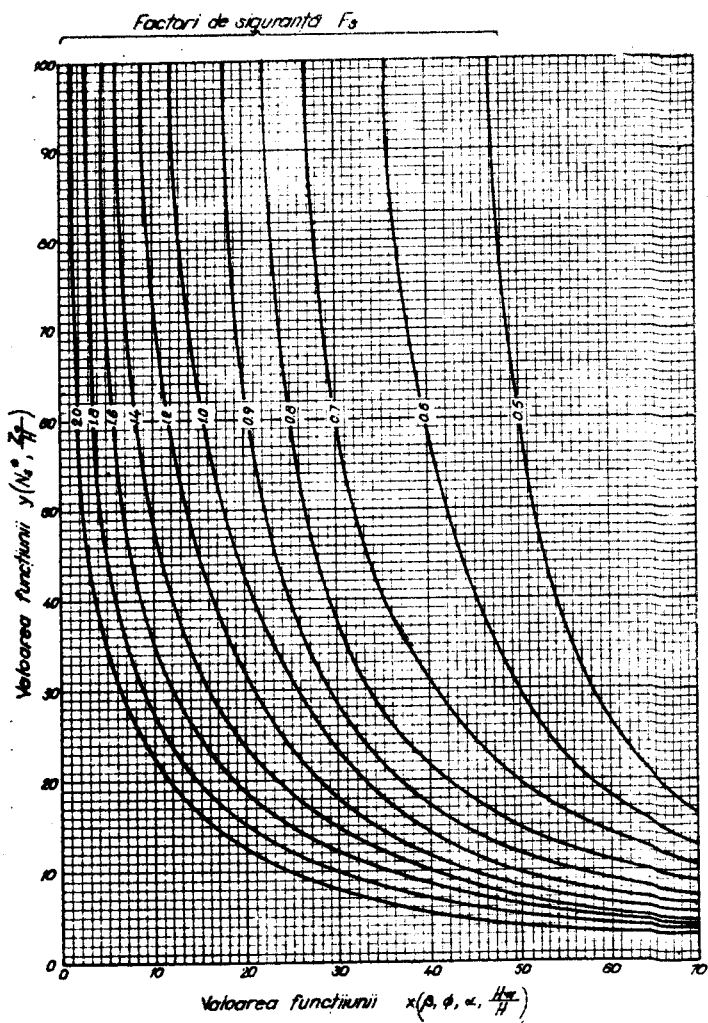


$$x = \beta - \rho \left[ 12 - 0,5 \frac{H_0}{H} \right]$$

$$y = \frac{\left[ 1 + \frac{(0,10)}{100} \right] Z_0}{N_0^*}$$

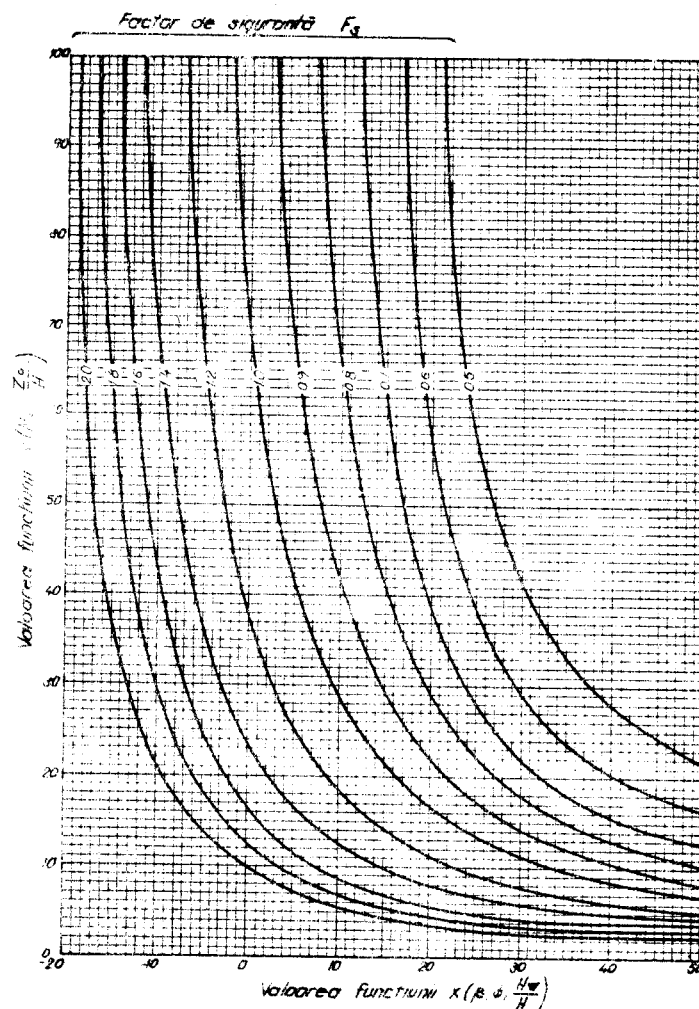
Fig. 5.12

RUPERE PLANA



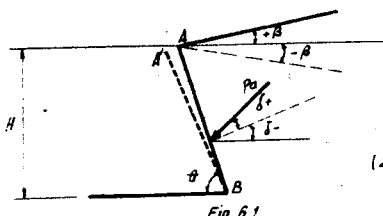
Graficul 5.4

RUPERE CIRCULARĂ



Graficul 5.5

IMPINGERE ACTIVA A PAMINTULUI  
(după Ch. A. Coulomb)



$$(1) P_a = \frac{1}{2} f \cdot H^2 \cdot K_a$$

$$(2) K_a = \frac{1}{\sin(\theta-\delta) \sin^2 \theta} \left[ \frac{\sin(\theta+\delta)}{1 + \sqrt{\frac{\sin(\theta+\delta) \sin(\theta-\delta)}{\sin(\theta-\delta) \sin(\theta+\delta)}}} \right]$$

Valori  $K_a$

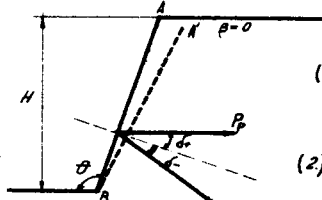
- Tabelul 6.1. -

$\delta = 20^\circ$

$\delta = 30^\circ$

$\theta$	$\delta$	$0^\circ$	$+10^\circ$	$-10^\circ$	$+20^\circ$	$-20^\circ$	$0^\circ$	$+15^\circ$	$-15^\circ$	$+30^\circ$	$-30^\circ$	
60°	0°	0,77	0,93	0,66	1,50	0,56	0°	0,62	0,79	0,50	1,54	0,38
	-10°	0,85	0,98	0,76	1,38	0,67	-15°	0,71	0,51	0,60	1,38	0,49
	+10°	0,74	0,93	0,62	1,69	0,52	+15°	0,61	0,82	0,47	1,89	0,41
	-20°	1,31	1,31	1,31	1,31	1,31	-30°	1,33	1,33	1,33	1,33	
	+20°	0,76	0,98	0,61	2,01	0,50	+30°	0,67	0,94	0,50	2,67	0,36
90°	0°	0,49	0,57	0,44	0,88	0,40	0°	0,33	0,40	0,29	0,75	0,26
	-10°	0,58	0,42	0,53	0,89	0,50	-15°	0,42	0,48	0,37	0,78	0,34
	+10°	0,45	0,53	0,40	0,90	0,36	+15°	0,30	0,37	0,26	0,78	0,22
	-20°	0,94	0,94	0,94	0,94	0,94	-30°	0,87	0,87	0,87	0,87	0,87
	+20°	0,43	0,52	0,37	0,94	0,33	+30°	0,30	0,38	0,25	0,87	0,22
120°	0°	0,35	0,38	0,30	0,63	0,28	0°	0,15	0,18	0,14	0,38	0,15
	-10°	0,43	0,48	0,40	0,72	0,37	-15°	0,22	0,25	0,20	0,47	0,19
	+10°	0,28	0,32	0,25	0,59	0,23	+15°	0,13	0,15	0,11	0,34	0,10
	-20°	0,86	0,86	0,86	0,86	0,86	-30°	0,67	0,67	0,67	0,67	0,67
	+20°	0,25	0,29	0,22	0,56	0,20	+30°	0,11	0,14	0,10	0,33	0,09

REZISTENTA PASIVA A PAMINTULUI  
(după Ch.A. Coulomb)



$$(1) P_p = \frac{1}{2} f \cdot H^2 \cdot K_p$$

$$(2) K_p = \frac{1}{\sin(\theta-\delta) \sin^2 \theta} \left[ \frac{\sin(\theta+\delta)}{1 + \sqrt{\frac{\sin(\theta+\delta) \sin(\theta-\delta)}{\sin(\theta-\delta) \sin(\theta+\delta)}}} \right]^2$$

Valori  $K_p$

- Tabelul 6.2. -

$\delta$	$\theta$	$\theta = 90^\circ$				$\theta = 100^\circ$			
		15°	20°	25°	30°	15°	20°	25°	30°
+15°	0°	0,97	1,53	1,62	1,93	1,04	1,47	1,84	2,25
+10°	1,51	1,56	1,88	2,26	1,43	1,76	2,18	2,67	
+5°	1,51	1,80	2,17	2,61	1,68	2,06	2,54	3,18	
0°	1,70	2,03	2,48	3,03	1,95	2,40	2,99	3,81	
-5°	1,89	2,30	2,85	3,53	2,21	2,79	3,58	4,62	
-10°	2,13	2,63	3,29	4,18	2,54	3,27	4,31	5,72	
-15°	2,39	3,03	3,88	5,02	2,97	3,90	5,28	7,25	
		$\theta = 110^\circ$				$\theta = 120^\circ$			
$\delta$	$\theta$	15°	20°	25°	30°	15°	20°	25°	30°
+15°	0°	1,14	1,60	2,15	2,77	1,29	2,03	2,76	3,76
+10°	1,59	2,03	2,63	3,37	1,92	2,58	3,51	4,84	
+5°	1,92	2,43	3,17	4,20	2,33	3,23	4,48	6,31	
0°	2,26	2,94	3,91	5,26	2,93	4,08	5,78	8,57	
-5°	2,68	3,57	4,83	6,76	3,63	5,20	7,76	12,10	
-10°	3,21	4,38	6,17	9,04	4,61	6,91	10,90	18,70	
-15°	3,92	5,56	8,24	12,69	6,02	9,12	16,50	32,70	

**REZISTENȚA PASIVĂ A PÂMÂNTULUI**  
(suprafată compusă de cedare)

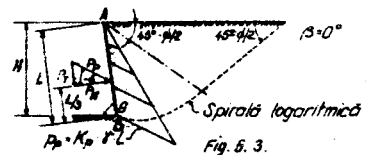
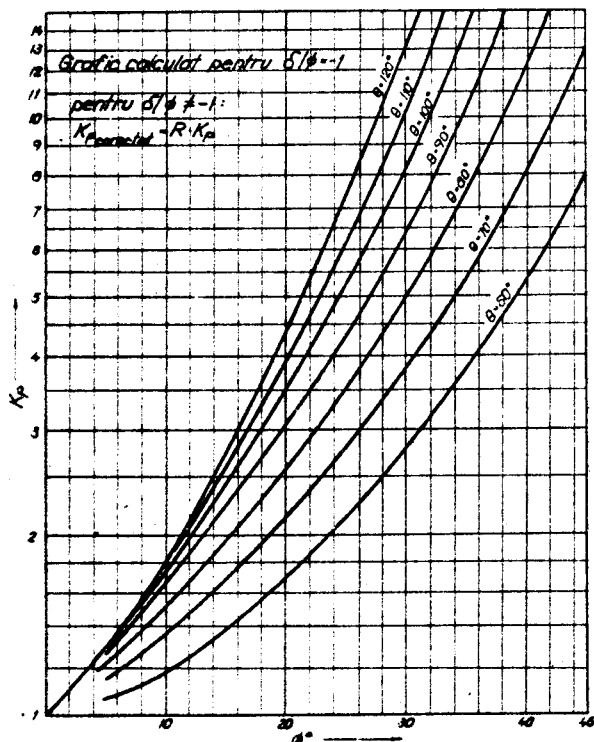


Fig. 6.3.

Factori de reducere R pentru $\alpha/\beta \neq 1$								
0	-0.7	-0.6	-0.5	-0.4	-0.3	-0.2	-0.1	0.0
10	0.970	0.962	0.945	0.929	0.912	0.890	0.861	0.834
15	0.961	0.936	0.907	0.881	0.854	0.820	0.783	0.745
20	0.959	0.907	0.862	0.824	0.787	0.752	0.716	0.678
25	0.912	0.880	0.800	0.759	0.711	0.666	0.620	0.574
30	0.878	0.811	0.746	0.686	0.627	0.574	0.520	0.467
35	0.838	0.782	0.716	0.653	0.596	0.545	0.487	0.429
40	0.789	0.692	0.592	0.512	0.439	0.379	0.316	0.262
45	0.719	0.600	0.500	0.416	0.339	0.276	0.216	0.174

$$P_p = K_p \frac{1}{2} \gamma L^2 = K'_p \frac{1}{2} \gamma H^2 \quad (1)$$

$$K'_p = \frac{1}{\sin^2 \theta} \quad (2)$$



Graficul 6.1.

**REZISTENȚA PASIVĂ A PÂMÂNTULUI**  
(suprafată compusă de cedare)

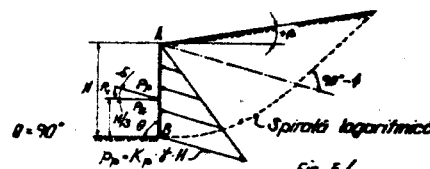
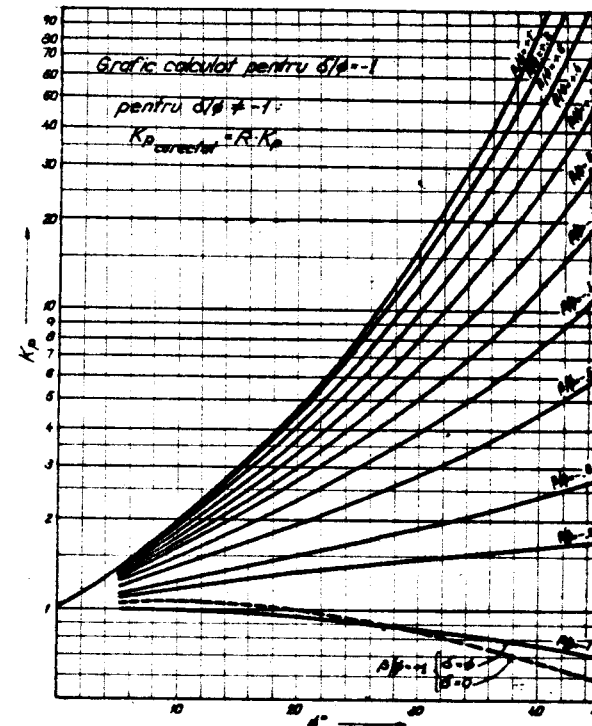


Fig. 6.6.

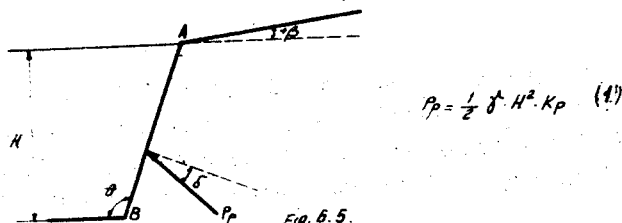
Factori de reducere R pentru $\alpha/\beta \neq 1$								
0	-0.7	-0.6	-0.5	-0.4	-0.3	-0.2	-0.1	0.0
10	0.970	0.962	0.945	0.929	0.912	0.890	0.861	0.834
15	0.961	0.936	0.907	0.881	0.854	0.820	0.783	0.745
20	0.959	0.907	0.862	0.824	0.787	0.752	0.716	0.678
25	0.912	0.880	0.800	0.759	0.711	0.666	0.620	0.574
30	0.878	0.811	0.746	0.686	0.627	0.574	0.520	0.467
35	0.838	0.782	0.716	0.653	0.596	0.545	0.487	0.429
40	0.789	0.692	0.592	0.512	0.439	0.379	0.316	0.262
45	0.719	0.600	0.500	0.416	0.339	0.276	0.216	0.174

$$P_p = K_p \frac{1}{2} \gamma H^2 \quad (1)$$



Graficul 6.2.

REZISTENTA PASIVA A PAMINTULUI  
(după A. Caquot și J. Kerisel)

Valori  $K_p$ 

- Tabelul 6.3. -

$\beta$	$\phi$	$\theta = 90^\circ$					$\theta = 100^\circ$				
		10°	15°	20°	25°	30°	10°	15°	20°	25°	30°
$+0^\circ$	0	1,42	1,70	2,04	2,46	3,00	1,54	1,92	2,41	3,00	3,93
	0,2	1,47	1,82	2,26	2,86	3,67	1,60	2,05	2,67	3,55	4,83
	0,4	1,52	1,93	2,48	3,26	4,40	1,66	2,18	2,93	4,04	5,77
	0,6	1,58	2,05	2,71	3,69	5,21	1,71	2,31	3,20	4,58	6,82
	0,8	1,62	2,14	2,91	4,09	6,02	1,76	2,42	3,44	5,08	7,88
	1,0	1,64	2,19	3,01	4,29	6,42	1,78	2,47	3,55	5,33	8,42
$+10^\circ$	0	1,67	2,12	2,65	3,33	4,26	1,72	2,34	3,07	4,01	5,48
	0,2	1,73	2,27	2,94	3,87	5,24	1,83	2,50	3,41	4,73	6,74
	0,4	1,79	2,41	3,22	4,41	6,26	1,89	2,66	3,73	5,39	8,06
	0,6	1,86	2,55	3,52	5,00	7,40	1,96	2,82	4,08	6,11	9,52
	0,8	1,91	2,67	3,78	5,54	8,55	2,02	2,95	4,39	6,78	11,00
	1,0	1,93	2,46	3,91	5,81	9,13	2,04	3,02	4,53	7,11	11,74
$+20^\circ$	0			3,16	4,43	5,93			3,65	5,29	7,65
	0,2			3,50	5,13	7,29			4,05	6,25	9,40
	0,4			3,84	5,85	8,71			4,44	7,12	11,23
	0,6			4,20	6,63	10,50			4,85	8,97	13,28
	0,8			4,51	7,36	11,90			5,21	8,95	15,35
	1,0			4,66	7,71	12,70			5,39	9,38	16,38
$+30^\circ$	0								9,57		
	0,2								7,43		
	0,4								9,13		
	0,6								10,90		
	0,8								12,90		
	1,0								14,90		
									15,90		
										20,50	

Valori  $K_p$ 

- Tabelul 6.3. - (continuare)

$\beta$	$\phi$	$\theta = 110^\circ$					$\theta = 120^\circ$				
		10°	15°	20°	25°	30°	10°	15°	20°	25°	30°
$+0^\circ$	0	1,74	2,26	2,99	4,02	5,50	2,05	2,81	3,93	5,61	8,15
	0,2	1,81	2,43	3,52	4,66	6,76	2,13	3,01	4,36	6,51	10,02
	0,4	1,87	2,57	3,64	5,31	8,08	2,20	3,19	4,78	7,42	11,98
	0,6	1,94	2,75	3,98	6,02	9,55	2,28	3,39	5,22	8,40	14,16
	0,8	1,99	2,86	4,28	6,68	11,04	2,35	3,55	5,61	9,32	16,36
	1,0	2,04	2,92	4,42	7,00	11,78	2,37	3,63	5,80	9,77	17,46
$+10^\circ$	0	1,97	2,73	3,78	5,31	7,62	2,30	3,37	4,93	7,38	11,33
	0,2	2,04	2,92	4,19	6,16	9,36	2,39	3,61	5,47	8,57	13,93
	0,4	2,11	3,10	4,59	7,02	11,19	2,48	3,85	6,00	9,76	16,64
	0,6	2,19	3,29	5,02	7,96	13,23	2,56	4,06	6,56	11,06	19,68
	0,8	2,25	3,45	5,39	8,83	15,28	2,64	4,25	7,05	12,27	22,73
	1,0	2,28	3,52	5,57	9,25	16,31	2,66	4,35	7,28	12,86	24,26
$+20^\circ$	0	-	-	4,48	6,96	10,58	-	-	5,85	9,72	15,69
	0,2	-	-	4,96	8,07	13,00	-	-	6,49	11,27	19,28
	0,4	-	-	5,44	9,20	15,54	-	-	7,11	12,85	23,04
	0,6	-	-	5,95	10,42	18,37	-	-	7,77	14,56	27,24
	0,8	-	-	6,39	11,56	21,22	-	-	8,33	16,15	31,48
	1,0	-	-	6,60	12,12	22,65	-	-	8,62	16,93	33,59
$+30^\circ$	0	-	-	-	-	-	15,22	-	-	-	19,67
	0,2	-	-	-	-	-	16,25	-	-	-	24,18
	0,4	-	-	-	-	-	19,42	-	-	-	28,90
	0,6	-	-	-	-	-	22,96	-	-	-	34,16
	0,8	-	-	-	-	-	26,53	-	-	-	39,47
	1,0	-	-	-	-	-	28,31	-	-	-	42,12

Excavatii sub nivelul permanent al apelor subterane

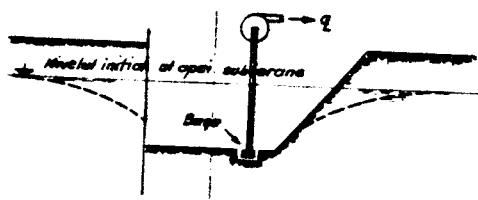


Fig. 7.1

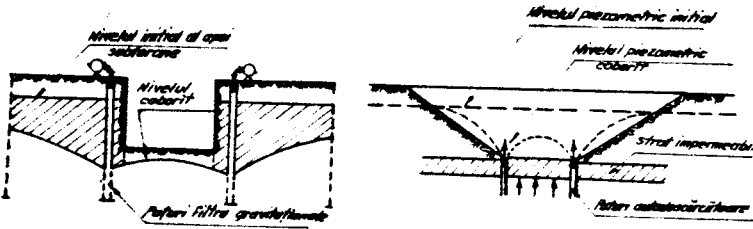


Fig. 7.2

Fig. 7.3

Domeniile de granulozitate pentru coborarea nivelului apelor subterane (Fig. 7.4)

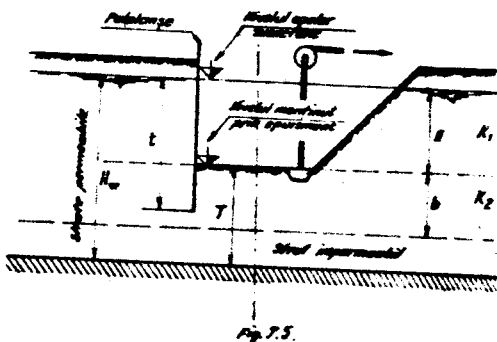
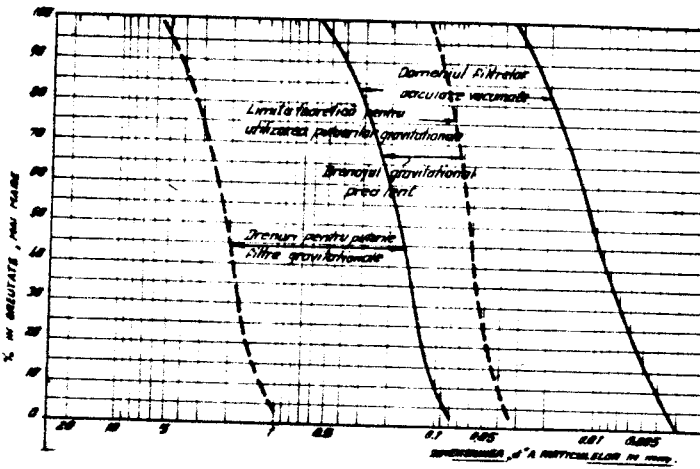


Fig. 7.5

$$(1) Q = \frac{\pi K_1 \cdot H^2}{\ln R - \ln r_0} + \frac{2 \pi K_2 \cdot r_0 \cdot H}{\frac{\pi}{2} - \text{arc tg} \frac{b}{r_0}}$$

in care :

$K_1, K_2$ , coeficienții de permeabilitate ai straturilor aciviere în m/sec;

$R = 3000 H \sqrt{K_1}$ , raza de influență a denivelării prin pompare, în m;

$b$ , adâncime pînă la care este influențat curentul subteran, de pomparea din excavație, în m.

Pentru,  $T > H$        $b = H$

$T < H$        $b = T$

$$r_0 = \sqrt{\frac{A}{\pi}}, \text{ raza echivalentă a suprafeței bazei săpaturii, } A, \text{ în m.}$$

Notă : dimensiunile liniare din expresia (1), se iau în m, debitul rezultat fiind exprimat în  $m^3/\text{sec}$ .

(2)  $Q_t = \alpha \cdot Q$

- Tabelul 7.1 -

$t/H$	0,10	0,20	0,30	0,40	0,50	0,60	0,70	0,80	0,90	1,00
$\alpha$	0,95	0,90	0,85	0,80	0,74	0,68	0,61	0,51	0,36	0,00

Coborarea generală a nivelului  
apei subterane prin pompări din puțuri filtre  
gravitacionales

1) Puț izolat (Fig. 7.6)

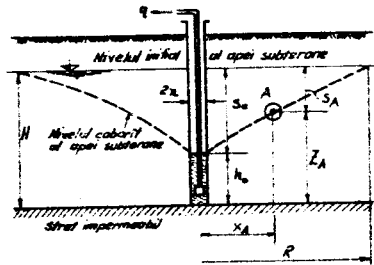
$$(1a) q = \frac{\pi K}{\ln \frac{R}{r}} (2H - S_0) S_0 \text{ în } m^3/\text{sec}$$

cu :

$$R = 3000 S_0 \sqrt{K}, \text{ în } m,$$

cu  $K$  în  $m/\text{sec}$ .

$$(1b) q = \frac{\pi K}{\ln \frac{R}{x_A}} (2H - S_A) S_A, \text{ în } m^3/\text{sec}$$

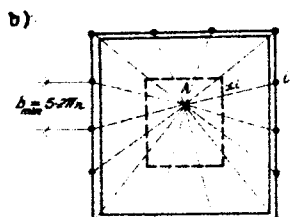
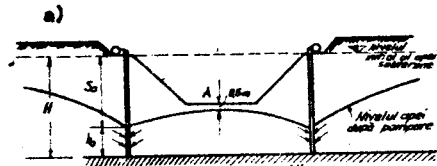


Debitul maxim ce poate fi  
pompăt dintr-un puț filtru gravitațional :

$$q_{max} = 2 \pi r h_0 \frac{\sqrt{K}}{15} \text{ în } m^3/\text{sec}$$

pentru :  $b > 5 \cdot 2 \pi r$

2) Grup de puțuri (Fig. 7.7)



$$(2a) Q = nq = \frac{\pi K}{\ln R - \frac{1}{n} \ln x_1 x_2 \dots x_n} \cdot (2H - S_A) S_A$$

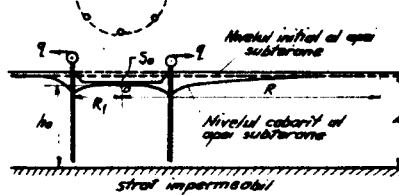
$$(2'a) S_A = H - \sqrt{H^2 - \frac{nq}{\pi K} (\ln R - \frac{1}{n} \ln x_1 x_2 \dots x_n)}$$

Numărul posibil de puțuri în grup :

$$n = \frac{Q_{nec}}{q_{max}}$$

(2b)

$$(2b) Q = nq = \frac{\pi K}{\ln \frac{R}{R_1}} (2H - S_0) S_0$$



(2'b)

$$(2'b) S_0 = H - \sqrt{H^2 - \frac{nq}{\pi K} \ln \frac{R}{R_1}}$$

d)

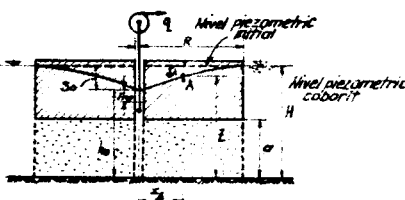


$$(3) R_{ech} = \sqrt{\frac{A}{\pi}}$$

Notă : Pentru puțuri filtre imperfecte, care pătrund parțial în pinza acviferă, debitul total se majorășă cu 20 %.

Coborîrea nivelului piezometric al apelui dintr-o pînză acviferă sub presiune, prin puturi autodescrescătoare

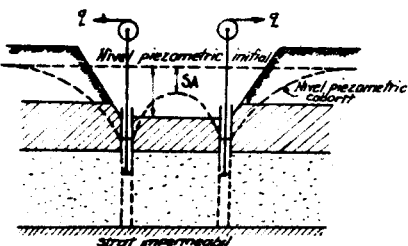
1) Put izolat (Fig.7.8)



$$(1a) q = \frac{2\pi K a S_0}{\ln \frac{R}{r}}$$

$$(1b) q = \frac{2\pi K a S_A}{\ln \frac{R}{x_A}}$$

2) Grup de puturi (Fig.7.9)



Pentru pomparea cu debit egal din n puturi

(2a)

$$Q = nq = \frac{2\pi K a S_M}{\ln R - \frac{1}{n} \ln x_1, x_2, \dots, x_n}$$

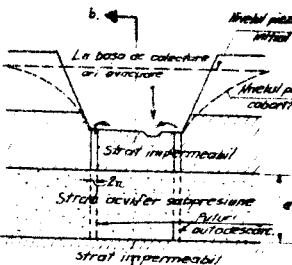
(2'a)

$$S_M = \frac{nq}{2\pi K a} \left( \ln R - \frac{1}{n} \ln x_1, x_2, x_n \right)$$

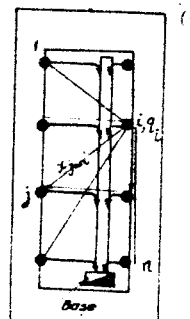
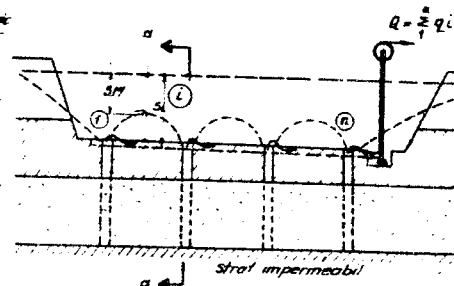
Punct de colectare, o opere de colectare a puturilor autodescătoare.

Puturi autodescătoare la nivelul săpturii (fig.7.10)

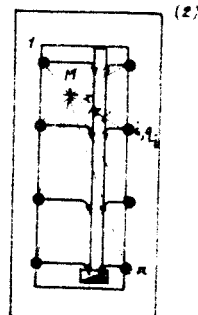
SECȚIUNEA a-a



SECȚIUNEA b-b



PLAN



Se determină debitele  $q_i$  din sistemul de ecuații liniare în  $q$ , valabile pentru fiecare put.

$$(1) S_i = \frac{1}{2\pi K a} \sum_{j=1}^n q_j \ln \frac{R}{x_{j-i}}$$

în ecuații, cu  $i = 1, \dots, n$

Pentru fiecare din puturile  $q_i$  se își înecuația respectivă  $x_i = r$ .

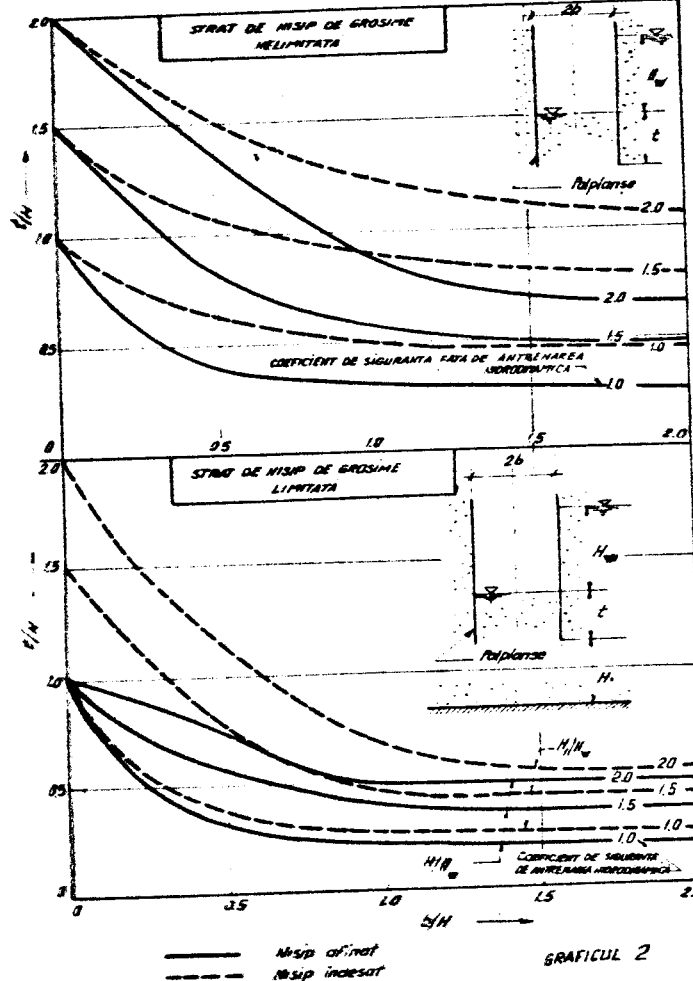
Se calculează coborîrea nivelului piezometric într-un punct M cu expresia :

$$(2) S_M = \frac{1}{2\pi K a} \sum_{i=1}^n q_i \ln \frac{R}{x_{M-i}}$$

valorile  $q_i$  fiind cele determinate prin rezolvarea sistemului de ecuații (1).

Faza necesară a palplanelor pentru a evita întrenarea hidrodinamică în nisipuri

GRAFICUL 1



Adâncimea minimă de fundare în funcție de adâncimea de îngheț și de adâncimea apei subterane

- Tabelul 8. 1 -

Terenul de fundație	$H_i =$ adâncimea de îngheț stabilită conform STAS 6054-77 (cm)	$H =$ adâncimea apei subterane față de cota terenului nivelat (m)	Adâncimea minima de fundare (cm)			
			Terenuri supuse acțiunii de înghețului (ziduri exterioare sau interioare în spații reci și neîncălzite)	Terenuri ferite de acțiunea înghețului (ziduri exterioare sau interioare în spații calde sau încălzite)	Construcții definitive	Construcții provizorii
Roci stincoase	oricare	oricare	20	20	20	20
Pietrisuri curate, balast curat, nisipuri mari și mijloace curate, necozeive.	oricare	$H \geq 2,00$	$H_i$	60	40	40
		$H < 2,00$	$H_i + 10$	70	40	40
Pietriș sau balast cu liant argilos, nisip argilos, argilă grăsă.	$H_i \leq 70$	$H \geq 2,00$	80	70	50	40
		$H < 2,00$	90	80	50	40
	$H_i > 70$	$H \geq 2,00$	$H_i + 10$	80	50	40
Nisip fin argilos, preafă argilos, argilă prăfoasă și nisip posă, mil, nămol.	$H_i \leq 70$	$H \geq 2,50$	80	70	50	40
		$H < 2,50$	90	80	50	40
	$H_i > 70$	$H \geq 2,50$	$H_i + 10$	80	50	40
		$H < 2,50$	$H_i + 20$	90	50	40

Calculul presiunii efective pe talpa fundației rigide

1. Solicitare centrică

$$P = \frac{P}{B \cdot L}$$

P = rezultanta tuturor încărcarilor ce revin fundației, inclusiv greutatea acesteia  
 L, B = dimensiunile în plan ale fundației.



Fig.8.1

2. Solicitare excentrică.



a) Excentricitatea pe o direcție :

$$e \leq \frac{L}{6}$$

$$p = \frac{P}{A} = \frac{M_x}{I_y}$$

- pentru fundație dreptunghiulară

$$p = \frac{P}{BL} \left( 1 \pm \frac{6e}{L} \right)$$

$$\frac{L}{3} \leq e < \frac{L}{2}$$

$$p = \frac{2P}{3B(\frac{L}{2} - e)}, \text{ deoarece } \frac{L'}{B} = \frac{B}{2} - e \text{ și}$$

$$p = p \frac{L'B}{2}$$

b) Excentricitatea pe două direcții :

$$p = \frac{P}{A} + \frac{M_x^2}{I_y} + \frac{M_y^2}{I_x}$$

- pentru fundație dreptunghiulară

$$p = \frac{P}{BL} \left( 1 \pm \frac{6e_x}{L} + \frac{6e_y}{B} \right)$$

Fig.8.2

Pentru determinarea liniei de presiune zero sub fundații rigide încărcate excentrică, se poate folosi soluție grafică a lui Plech.

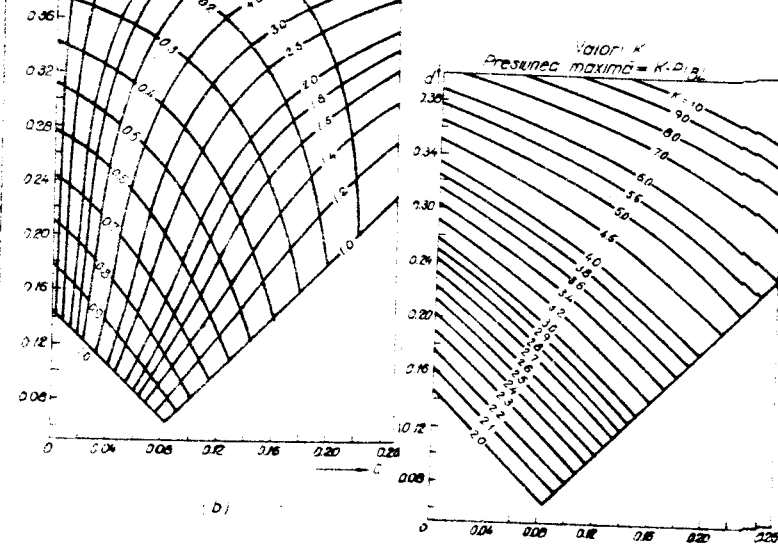
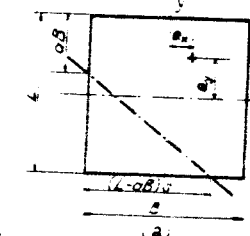
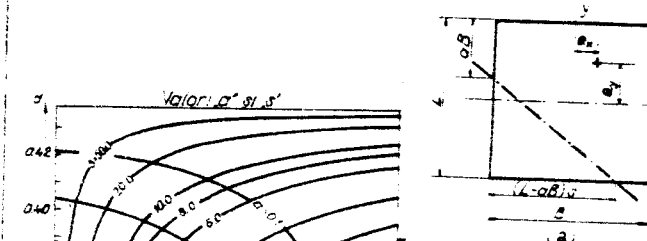
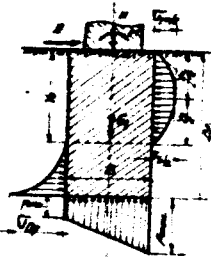


Fig. 8.3 . Metodă de determinare a liniei de presiune zero sub fundații încărcate excentric. (a) Semnificația termenilor ; (b) Curbe pentru găsirea liniei de presiune zero ; (c) Curbe pentru obținerea presiunii maxime pe teren.

Notări :  $c = e_x/B$ ;  $d = e_y/L$

Considerarea încostruirii fundațiilor directe de adâncime



$$\psi_{\text{min.}} = \frac{N+G}{L \cdot B} \pm \psi \frac{M+H \cdot D_F}{f L \cdot B^2}$$

$$2) \bar{U}_{\text{sp}} = \frac{m \alpha}{4} \cdot D_F$$

$$3) \bar{U}_{\text{DF}} = m \left(1 - \frac{f}{\alpha}\right) \cdot D_F$$

Rotirea fundației:

$$4) \tan \theta = \frac{2\psi}{f \cdot B} \cdot \frac{M+H \cdot D_F}{f \cdot L \cdot B^2}$$

Fig. 8.4

În (4)  $K_c$  este coeficientul de putere al terapei fundației.

Necesare îndeplinirea condiției:

- pentru pământuri cu fricare internă:

$$5) m \leq T \left[ \tan^2 \left( 45 + \frac{\phi}{2} \right) - \tan^2 \left( 45 - \frac{\phi}{2} \right) \right], \text{ cu}$$

$$6) m = \sqrt{\frac{M+H \cdot D_F}{f L \cdot B^2}} \cdot \frac{1}{D_F}$$

- pentru pământuri cu coeziune:

$$7) \bar{U}_{\text{sp}} \leq 2c$$

Dacă  $(7)_c$  este coeziunea pământului:

$$\text{Cu notările } K = \frac{B}{D_F}; c = \frac{M+H \cdot D_F}{H \cdot D_F}$$

$$8) \psi_2 = \frac{K^2}{3K^2+1} \cdot \frac{3\phi-1}{\phi}; \text{ valori în tabelul 8.2 pag. 1}$$

$$9) \alpha = \frac{4\phi - K^2/1}{6\phi - 2}; \text{ valori în tabelul 8.2 pag. 2}$$

$$10) \gamma = \frac{K^2(4\phi - K^2/1)}{(3K^2+1)} c; \text{ valori în tabelul 8.2 pag. 3.}$$

- Tabelul 8.2 -

$K$	$\psi_2$	$\alpha$	$\beta$	$\gamma$	$\delta$	$\epsilon$	$\zeta$	$\eta$	$\varphi$	$\rho$	$\sigma$	$\tau$	$\varphi'$	$\rho'$	$\sigma'$	$\tau'$	$\varphi''$	$\rho''$	$\sigma''$	$\tau''$
1,0	0,53	0,4	0,5	0,6	0,7	0,8	0,9	1,0	1,2	1,4	1,6	1,8	2,0	2,2	2,4	2,6	2,8	3,0	3,2	3,4
1,1	0,16	0,32	0,43	0,50	0,56	0,60	0,64	0,69	0,73	0,76	0,78	0,80	0,85	0,90	0,93	0,96	0,98	0,99	0,99	0,99
1,2	0,16	0,32	0,42	0,50	0,56	0,60	0,64	0,69	0,73	0,76	0,78	0,80	0,85	0,89	0,92	0,95	0,97	0,98	0,98	0,98
1,3	0,16	0,32	0,42	0,50	0,56	0,60	0,64	0,69	0,73	0,75	0,77	0,79	0,81	0,84	0,88	0,91	0,94	0,95	0,95	0,95
1,4	0,16	0,32	0,42	0,50	0,55	0,59	0,63	0,68	0,72	0,75	0,77	0,79	0,81	0,84	0,88	0,91	0,94	0,95	0,95	0,95
1,5	0,16	0,32	0,42	0,50	0,55	0,59	0,63	0,68	0,72	0,75	0,77	0,79	0,82	0,86	0,90	0,93	0,96	0,97	0,97	0,97
1,6	0,15	0,31	0,42	0,49	0,55	0,59	0,62	0,67	0,70	0,73	0,75	0,77	0,80	0,84	0,88	0,91	0,94	0,96	0,97	0,97
1,7	0,15	0,31	0,41	0,48	0,54	0,58	0,62	0,67	0,70	0,73	0,75	0,77	0,80	0,84	0,88	0,91	0,94	0,96	0,97	0,97
1,8	0,15	0,31	0,41	0,48	0,53	0,57	0,61	0,66	0,69	0,72	0,74	0,76	0,80	0,84	0,88	0,91	0,94	0,96	0,97	0,97
1,9	0,15	0,31	0,40	0,48	0,53	0,57	0,61	0,66	0,69	0,72	0,74	0,76	0,80	0,84	0,88	0,91	0,94	0,96	0,97	0,97
2,0	0,15	0,30	0,40	0,46	0,52	0,56	0,60	0,64	0,68	0,71	0,73	0,76	0,80	0,84	0,87	0,91	0,94	0,96	0,97	0,97
2,1	0,15	0,29	0,39	0,45	0,51	0,55	0,59	0,63	0,66	0,69	0,71	0,72	0,77	0,81	0,84	0,87	0,91	0,94	0,96	0,97
2,2	0,14	0,28	0,37	0,44	0,49	0,53	0,57	0,61	0,64	0,67	0,68	0,70	0,74	0,78	0,81	0,84	0,87	0,90	0,93	0,94
2,3	0,13	0,27	0,36	0,42	0,47	0,50	0,53	0,57	0,60	0,63	0,65	0,67	0,70	0,73	0,76	0,79	0,82	0,85	0,88	0,89
2,4	0,12	0,25	0,33	0,39	0,44	0,47	0,50	0,54	0,57	0,60	0,63	0,66	0,69	0,72	0,75	0,78	0,81	0,84	0,86	0,87
2,5	0,11	0,23	0,30	0,36	0,40	0,43	0,45	0,49	0,52	0,54	0,56	0,58	0,61	0,64	0,66	0,68	0,71	0,73	0,75	0,76
2,6	0,10	0,20	0,27	0,32	0,35	0,38	0,40	0,44	0,46	0,48	0,49	0,50	0,54	0,58	0,60	0,63	0,66	0,68	0,70	0,71
2,7	0,09	0,17	0,23	0,27	0,30	0,32	0,34	0,37	0,39	0,40	0,41	0,45	0,49	0,51	0,55	0,57	0,60	0,63	0,65	0,66
2,8	0,08	0,13	0,17	0,21	0,23	0,25	0,26	0,28	0,30	0,31	0,32	0,33	0,35	0,37	0,39	0,41	0,43	0,45	0,47	0,48
2,9	0,07	0,13	0,17	0,21	0,23	0,25	0,26	0,28	0,30	0,31	0,32	0,33	0,35	0,37	0,39	0,41	0,43	0,45	0,47	0,48
3,0	0,05	0,09	0,12	0,14	0,16	0,17	0,18	0,20	0,21	0,22	0,23	0,24	0,26	0,27	0,28	0,29	0,30	0,31	0,32	0,33
3,1	0,03	0,05	0,07	0,08	0,09	0,10	0,11	0,12	0,13	0,14	0,15	0,16	0,16	0,17	0,18	0,19	0,20	0,21	0,22	0,23
3,2	0,01	0,03	0,05	0,06	0,07	0,08	0,09	0,10	0,11	0,12	0,13	0,14	0,15	0,16	0,17	0,18	0,19	0,20	0,21	0,22
3,3	0,00	0,01	0,01	0,01	0,02	0,02	0,02	0,02	0,02	0,02	0,02	0,02	0,02	0,02	0,02	0,02	0,02	0,02	0,02	0,02

\* Cîrcul recomandat se atinge în jurul contrului de rezultat nă  
cuprinsul de fundație.

**Valoarea coeficientilor**

- Tabloul 8.2 -

<i>x</i>	0,35	0,4	0,5	0,6	0,7	0,8	0,9	1	1,2	1,4	1,6	1,8	2,0	2,2	2,4	2,6	2,8	3,0	3,2	3,4	3,6
2,9	0,0	21,50	9,00	5,87	1,46	3,64	5,12	2,75	2,27	1,97	1,76	1,61	1,50	1,49	0,97	0,81	0,67	0,50	0,30	0,10	
1,9	0,0	16,65	7,87	5,16	5,94	5,21	2,78	2,46	2,95	1,79	1,61	1,48	1,39	1,12	0,92	0,79	0,67	0,57	0,47	0,37	
1,8	0,0	16,08	6,83	4,51	5,46	2,87	2,48	2,21	1,85	1,63	1,48	1,37	1,28	1,05	0,89	0,77	0,67	0,57	0,47	0,37	
1,7	0,0	15,78	5,91	5,95	5,04	2,54	2,21	1,98	1,67	1,40	1,36	1,26	1,19	1,00	0,85	0,76	0,67	0,57	0,47	0,37	
1,6	0,0	11,74	5,10	3,44	2,68	2,25	1,97	1,77	1,52	1,36	1,25	1,17	1,11	0,94	0,82	0,74	0,67	0,57	0,47	0,37	
1,5	0,0	9,94	4,38	2,98	2,36	1,99	1,76	1,59	1,38	1,25	1,16	1,09	1,04	0,90	0,80	0,75	0,67	0,57	0,47	0,37	
1,4	0,0	8,56	3,74	2,58	2,06	1,76	1,57	1,45	1,26	1,15	1,07	1,01	0,97	0,86	0,77	0,73	0,67	0,57	0,47	0,37	
1,3	0,0	6,99	3,20	2,24	1,82	1,57	1,41	1,30	1,15	1,06	1,00	0,95	0,92	0,82	0,76	0,71	0,67	0,57	0,47	0,37	
1,2	0,0	5,82	2,73	1,95	1,61	1,40	1,28	1,18	1,06	0,98	0,94	0,90	0,87	0,80	0,74	0,70	0,67	0,67	0,67	0,67	
1,1	0,0	4,83	2,93	1,71	1,42	1,26	1,16	1,08	0,99	0,93	0,88	0,86	0,83	0,77	0,72	0,68	0,67	0,67	0,67	0,67	
1,0	0,0	4,00	2,00	1,50	1,27	1,15	1,06	1,00	0,92	0,88	0,84	0,82	0,80	0,75	0,72	0,69	0,67	0,67	0,67	0,67	
0,9	0,0	3,52	1,73	1,35	1,15	1,05	0,98	0,93	0,87	0,83	0,81	0,79	0,77	0,75	0,72	0,69	0,67	0,67	0,67	0,67	
0,8	0,0	2,78	1,51	1,20	1,05	0,97	0,91	0,88	0,83	0,80	0,78	0,76	0,74	0,72	0,71	0,70	0,68	0,67	0,67	0,67	
0,7	0,0	2,36	1,34	1,09	0,97	0,91	0,86	0,84	0,80	0,77	0,75	0,74	0,73	0,72	0,71	0,70	0,68	0,67	0,67	0,67	
0,6	0,0	2,04	1,22	1,01	0,92	0,86	0,83	0,80	0,77	0,75	0,74	0,73	0,72	0,71	0,69	0,68	0,67	0,67	0,67	0,67	
0,5	0,0	1,81	1,13	0,95	0,88	0,83	0,80	0,76	0,75	0,74	0,73	0,72	0,71	0,70	0,69	0,68	0,67	0,67	0,67	0,67	
0,4	0,0	1,66	1,06	0,92	0,85	0,81	0,78	0,77	0,75	0,73	0,72	0,71	0,70	0,69	0,68	0,67	0,67	0,67	0,67	0,67	
0,3	0,0	1,57	1,03	0,89	0,82	0,79	0,77	0,76	0,74	0,72	0,71	0,70	0,69	0,68	0,67	0,67	0,67	0,67	0,67	0,67	
0,2	0,0	1,52	1,01	0,88	0,82	0,79	0,77	0,75	0,73	0,72	0,71	0,70	0,69	0,68	0,67	0,67	0,67	0,67	0,67	0,67	

PLANSA 8.III

- 136 -

**Valoarea coeficientilor**

- Tabloul 8.2 -

<i>x</i>	0,33	0,4	0,5	0,6	0,7	0,8	0,9	1	1,2	1,4	1,6	1,8	2,0	2,2	2,4	2,6	2,8	3,0	3,2	3,4	3,6
2,0	4,00	3,44	2,88	2,50	2,24	2,04	1,88	1,76	1,57	1,44	1,34	1,26	1,20	1,01	0,86	0,75	0,64	0,59	0,54	0,49	
1,9	3,61	3,12	2,64	2,30	2,07	1,90	1,76	1,65	1,49	1,37	1,28	1,21	1,16	1,00	0,87	0,77	0,67	0,52	0,47	0,42	
1,8	3,24	2,82	2,39	2,11	1,91	1,76	1,64	1,55	1,41	1,31	1,23	1,17	1,12	0,99	0,87	0,79	0,70	0,65	0,60	0,55	
1,7	2,89	2,59	2,18	1,93	1,76	1,63	1,53	1,45	1,34	1,25	1,19	1,13	1,09	0,98	0,88	0,81	0,73	0,69	0,64	0,59	
1,6	2,56	2,26	1,96	1,76	1,63	1,52	1,44	1,37	1,27	1,20	1,15	1,10	1,07	0,97	0,89	0,85	0,77	0,71	0,66	0,61	
1,5	2,25	2,01	1,77	1,61	1,50	1,41	1,35	1,29	1,21	1,15	1,11	1,07	1,05	0,97	0,90	0,86	0,81	0,75	0,70	0,65	
1,4	1,96	1,78	1,59	1,46	1,37	1,31	1,26	1,22	1,16	1,11	1,08	1,05	1,02	0,97	0,92	0,89	0,86	0,81	0,76	0,71	
1,3	1,69	1,55	1,42	1,33	1,27	1,22	1,19	1,16	1,11	1,08	1,06	1,04	1,02	0,98	0,94	0,92	0,86	0,81	0,76	0,71	
1,2	1,44	1,36	1,27	1,21	1,17	1,14	1,12	1,10	1,07	1,05	1,04	1,02	1,01	0,99	0,96	0,95	0,93	0,86	0,81	0,76	
1,1	1,21	1,17	1,13	1,12	1,08	1,07	1,06	1,05	1,04	1,03	1,02	1,01	1,01	0,99	0,98	0,97	0,94	0,90	0,86	0,81	
1,0	1,00	1,00	1,00	1,00	1,00	1,00	1,00	1,00	1,00	1,00	1,00	1,00	1,00	1,00	1,00	1,00	1,00	1,00	1,00	1,00	
0,9	0,81	0,84	0,88	0,96	0,92	0,93	0,94	0,95	0,95	0,97	0,98	0,98	0,99	1,00	1,00	1,01	1,01	1,01	1,01	1,01	
0,8	0,64	0,70	0,76	0,80	0,83	0,86	0,87	0,89	0,91	0,93	0,94	0,95	0,97	0,99	1,01	1,01	1,01	1,01	1,01	1,01	
0,7	0,49	0,57	0,65	0,70	0,74	0,77	0,79	0,81	0,85	0,87	0,88	0,89	0,91	0,93	0,95	0,97	0,97	0,97	0,97	0,97	
0,6	0,36	0,45	0,53	0,59	0,63	0,66	0,69	0,70	0,75	0,77	0,78	0,79	0,81	0,84	0,86	0,87	0,89	0,89	0,89	0,89	
0,5	0,25	0,33	0,41	0,46	0,50	0,53	0,56	0,57	0,62	0,63	0,64	0,66	0,68	0,70	0,71	0,73	0,74	0,74	0,74	0,74	
0,4	0,16	0,22	0,29	0,35	0,36	0,38	0,40	0,41	0,45	0,46	0,47	0,48	0,49	0,51	0,52	0,54	0,56	0,58	0,59	0,59	
0,3	0,09	0,17	0,20	0,22	0,25	0,26	0,27	0,28	0,28	0,28	0,29	0,31	0,32	0,33	0,34	0,35	0,36	0,36	0,36	0,36	
0,2	0,04	0,07	0,08	0,09	0,10	0,11	0,11	0,12	0,12	0,13	0,13	0,14	0,14	0,15	0,15	0,15	0,15	0,15	0,15	0,15	

PLANSA 8.III

- 137 -

\* ) Cazul rezemului pe ating - rotatii in jurul centrului de greutate al suprafetei de fundatie.

## PLANSA 8.IV

Valorile presiunilor conventionale de calcul  
pentru diferite terenuri

- Tabelul 8.3 -

Denumirea terenului de fundare	$P_{conv}$ (in kPa)	
<b>ROCI STINCOASE</b>		
1. Stinči în formă de masiv compact, fără crăpături sau goluri.	$\bar{U}_{rcs}/6$ a).	
2. Stinči crăpată constând din blocuri mălegătoare.	900 ..... 2000	
<b>ROCI SEMISTINCOASE</b>		
1. Marne, marnec argiloase și argile marnoase compacte.	350 ..... 1100 b)	
2. Sisturi argiloase, argile gistoase și nășipuri cimentate.	600 ..... 850 b)	
<b>PĂMINȚURI NECOZIVE</b>		
1. Bolevănișuri cu interspațiiile umplute cu nisip și pietrig	850	
2. Blocuri cu interspațiiile umplute cu pămințuri argiloase.	350 ..... 600 c)	
3. Pietriguri curate (din fragmente de rocă cristaline).	750	
4. Pietriguri cu nisip.	650	
5. Pietriguri cu fragmente de rocă sedimentare.	360 ..... 500 c)	
6. Pietriguri cu nisip argilos.	350 .... 500 c)	
Indesare		
7. Nisip mare.	750	
8. Nisip mijlociu.	600	
9. Nisip fin,-umed.	500	
- foarte umed și saturat	350	
10. Nisip fin prăfos : - uscat	250	
- umed	400	
- foarte umed și saturat	300	
	250	
	150	
<b>PĂMINȚURI COZIVE e) f)</b>		
Cohesie		
Indicele porilor (e)	$I_C = 0,5$	$I_C = 1$
1. Nisip argilos, praf argilos.	0,5	400
	0,7	300
2. Argilă nisipoasă sau prăfoasă.	0,5	400
	0,7	300
	1,0	225
		300

## PLANSA 8.IV

- Tabelul 8.3 - (continuare)

## 5. Argile

## UMPLUTURI g)

0,5	725	850
0,6	575	725
0,8	350	425
1,0	250	350

Pămințuri nisipoase și zărate cu excepția nășipurilor prăfoase	$S_r$ 0,5	$S_r$ 0,8	Nisipuri prăfoase, prafuri argiloase, pămințuri vegetale	$S_r$ 0,5	$S_r$ 0,8
1. Umpluturi și depozite din pămințuri omogene realizate și compactate organizat (perne, ramblee)	250	200	180	150	
2. Depozite omogene rezultate în urma unor activități sistematice de depunere de pămințuri și reziduri minerale compactate controlat	250	200	180	150	
3. Idem, necompactate	180	150	120	100	
4. Umpluturi heterogene, în gropi, realizate neorganizat, cu conținut de materii organice sub 10%, compactate controlat.	150	120	100	100	
5. Idem, necompactate.	120	100	100	80	

## OBSEVAȚII :

- a)  $\bar{U}_{rcs}$  reprezintă rezistență la rupere la compresiune a rocii în stare saturată, determinată pe epruvete cubice conform STAS 6200/5-71.
- b) În intervalul indicat valorile se aleg înțind seama de compactate și starea de degradare a rocii semistincoase. Ele nu variază cu adâncimea de fundare și dimensiunile în plan ale fundațiilor.
- c) În intervalul indicat valorile se aleg înțind seama de coerență pămințului argilos, aflat în interspații, interpolind între valorile minime pentru  $I_C = 0,5$  și maxime, corespunzând lui  $I_C = 1$ .
- d) În cazul în care datorită naturii pămințului nu este posibilă prelevarea de probe netulburate, stabilirea gradului de indesare sau al coerenței se poate face pe baza rezultatelor penetrației dinamice conform STAS 3198-71.
- e) La pămințuri cozive, având valori intermediare ale indicelui de coerență  $I_C$  și ale indicelui porilor e, se admite interpolarea liniară a valorii presiunii conventionale de calcul pe terenul de fundare de sub talpa fundației, după  $I_C$  și după e, succesiv.

- Tabelul 8.3 - (continuare)

OBSERVATII :

- f) Pentru pământurile sensibile la umezire sau contractile pentru stabilirea valorilor presiunii convenționale de calcul, se vor folosi prescripții speciale.
- g) Pentru valori ale lui  $S_r$  între 0,5 și 0,8,  $p_{conv}$  se determină prin interpolare.

Corectarea valorilor  $p_{conv}$

1. Valerile de bază din tabelul 8.3 sunt valabile pentru fundațiile având înălțimea tălpiei de  $B = 0,6 \dots 1,0$  m și adincimete de fundare  $D = 1,0 \dots 2,0$  m.

2. Pentru fundațiile având înălțimea tălpiei  $B > 5$  m, valerile din tabel se majorează astfel :

- la leovărăuri, pietriguri și pământuri nisipoase cu excepția nisipurilor prăfoase cu 50 % ;
- la nisipuri prăfoase și pământuri argiloase cu 20 %.

Pentru  $1,0 < B < 5$  m se interpolează linier valorile din tabel și cele corespunzătoare la  $B = 5$  m.

3. Pentru adincimi de fundare  $D > 2,0$  m, valoarea  $p_{conv}$  se calculează cu formula :

$$p_{conv} D > 2 = p_{conv} + K \cdot \bar{\gamma} \cdot (D - 2)$$

în care :

$p_{conv}$  - presiunea convențională de calcul conform tabelului 8.3 ;

$K$  - coeficientul conform tabelului de mai jos ;

$\bar{\gamma}$  - greutatea volumică de calcul a stratelor situate deasupra nivelului tălpiei fundației (calculată ca medie ponderată cu grosimea stratelor), în  $\text{kN/m}^3$ .

Benzinarea pământului	K
Leovărăuri, pietriguri și pământuri nisipoase (cu excepția nisipurilor prăfoase)	2,5
Nisipuri prăfoase cu excepția argilelor	2,0
Argile	1,5

4. Pentru  $D < 1$  m, valerile  $p$  se determină prin interpolare între valoarea  $p_{conv}$ , stabilită pentru  $D = 1$  m și  $0,5 p_{conv}$  pentru  $D = 0$ .

5. Pentru pământurile argiloase având  $I_C > 1$ , valoarea  $p_{conv}$  se va alege astfel :

- pentru nisipuri argiloase, valoarea  $p_{conv}$  corespunzătoare lui  $I_C = 1$  ;
- pentru prefuri argiloase, argile prăfoase, argile, valerile din coloana  $I_C = 1$  se majorează cu 20 %.

6. La construcțiile cu subsol se adoptă pentru presiunile convenționale de calcul valorile corespunzătoare celei mai mici dintre valorile  $D$  sau  $D'$  unde :

$D$  - adincimea de fundare măsurată de la cota terenului sistematizat, la exteriorul zidului de subsol ;

$$D' = q/\bar{\gamma}$$

în care :

$q$  - supraincarcarea permanentă aplicată la nivelul tălpiei fundației în partea interioră a zidului de subsol, în  $\text{kPa}$  ;

$\bar{\gamma}$  - greutatea volumică de calcul a stratelor situate deasupra tălpiei fundației (calculată ca medie ponderată cu grosimea stratelor), la interiorul zidului de subsol, în  $\text{kN/m}^3$ .

X<sub>1</sub> = 0,06

X<sub>2</sub> =

0,20 p... 1)

0,65  
0,20

5-1

Clase de importanță a construcțiilor  
conform STAS Ielco/o-75

- Tabelul 8. 4 -

Clasa de importanță	Caracterizare
I	Construcții de importanță excepțională. Construcții a căror avariere are urmări catastrofale. Construcții a căror exploatare neîntreruptă este indispensabilă.
II	Construcții de importanță deosebită. Construcții a căror avariere are urmări deosebit de grave. Construcții necesare pentru recuperare în urma unor evenimente catastrofale (construcții a căror supraviețuire este necesară pentru asigurarea unui minim de măsuri în vederea înălțării urmărilor unei catastrofe). Construcții de valoare culturală deosebită.
III	Construcții de importanță medie. Clasa cuprinde majoritatea construcțiilor. Construcții pentru care nu există indicații de încadrare în alte clase se încadrează în această clasă.
IV	Construcții de importanță secundară. Construcții a căror avariere implică un pericol redus pentru viață și sănătatea oamenilor și produce pagube de materiale reduse.
V	Construcții neimportante. Construcții provizorii de valoare redusă, a căror avariere nu prezintă pericole pentru viață și sănătatea oamenilor, construcții pentru adăpostirea temporară a animalelor.

Categorii de terenuri de fundare pentru care nu este necesar calculul la starea limită de deformații

- Tabelul 8.5 -

- A. Pământuri macrogranulare, conținând mai puțin de 40 % nisip și mai puțin de 30 % argilă, în condițiile unei stratificării practic uniforme și orizontale.
- B. Pământuri nisipoase, inclusiv nisipuri prăfoase, îndesate sau de îndesare medie, în condițiile unei stratificării practic uniforme și orizontale.
- C. Nisipuri argiloase și prafuri argiloase avind  $e \leq 0,7$  și  $I_C \geq 0,5$  în condițiile unei stratificării practic uniforme și orizontale.
- D. Argile nisipoase și argile prăfoase avind  $e \leq 1,0$  și  $I_C \geq 0,5$  în condițiile unei stratificării practic uniforme și orizontale.
- E. Argile avind  $e \leq 1,1$  și  $I_C \geq 0,5$  în condițiile unei stratificării practic uniforme și orizontale.
- F. Orice combinație între stratificările de la punctele anterioare.

Valori orientative ale deplasărilor sau deformațiilor maxime admisibile ale fundațiilor

- Tabelul 8. 6 -

Tipul construcției	Deplasări sau deformații maxime admisibile ale fundațiilor			
	Deformații		Deplasări (tasări)	
	Tipul defor- majiei	Val. adm. (cm)	Tipul depla- sării	Val. adm. (cm)
e	1	2	3	4
1. Construcții civile și industriale cu structura de rezistență în cadre multietajate :				
a) Cadru din beton armat fără umplutură de zidărie sau panouri	tasare relativă	0,002	tasare absolută max ( $S_{max}$ )	8
b) Cadre metalice fără umplutură de zidărie sau panouri	idem	0,004	idem	12
c) Cadre din beton armat cu umplutură de zidărie	idem	0,001	idem	8
d) Cadre metalice cu umplutură de zidărie sau panouri	idem	0,002	idem	12
2. Construcții în structura către care nu apar eforturi suplimentare datorită tasărilor neuniforme	idem	0,006	idem	15
3. Construcții multietajate cu ziduri portante din :				
a) panouri mari	incoaciere relativă	0,0007	tasare medie $S_m$	1e
b) zidărie din blocuri sau cărămidă, fără armare	idem	0,001	idem	1e
c) zidărie din blocuri sau cărămidă armată cu centuri armate	idem	0,0012	idem	15

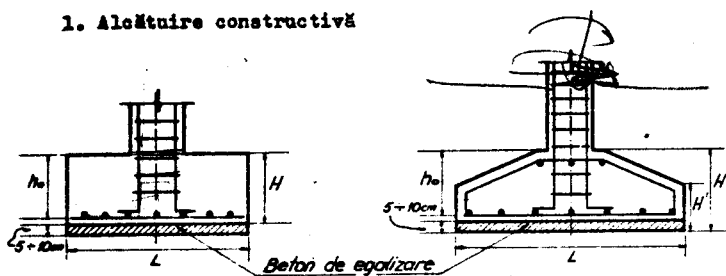
- Tabelul 8. 6 - (continuare)

0	1	2	3	4
d) independent de materialul zidurilor	inclinare transversală $\text{tg } \theta_{tr}$	0,005	-	-
4. Construcții înalte, rigide :				
a) silozuri din beton armat	inclinare longitudinală sau transversală $\text{tg } \theta$	0,005	tasare medie $S_m$	40
- turnul elevatoarelor și grupurile de celule turionate monolit și rezemă pe același radier continuu	idem	0,005	idem	30
- idem, din beton armat prefabricat	inclinare transv. $\text{tg } \theta_{tr}$	0,005	idem	25
- turnul elevatoarelor rezemă pe un radier independent	inclinare longit. $\text{tg } \theta_1$	0,004	idem	25
- grupuri de celule turionate monolit rezemă pe un radier independent	inclinare longit. și transvers. $\text{tg } \theta$	0,004	idem	40
- idem, din beton armat prefabricat	idem	0,004	idem	30
b) Cosuri de fum cu înălțimea H :				
- $H \leq 100$ m	inclinare $\text{tg } \theta$	0,005	idem	40
- $100 \leq H \leq 200$ m	idem	$1/2 H$	idem	30
- $200 < H \leq 300$ m	idem	$1/2 H$	idem	20
- $H > 300$ m	idem	$1/2 H$	idem	10
c) Alte construcții înalte, rigide cu înălțime pînă la 100 m.	idem	0,004	idem	20

Fundații izolate. Sumar de prescripții de proiectare.

Fundații cu talpă de beton armat

1. Aleațuirea constructivă



I. SUPRAFATA BAZEI  $\leq 1,00 \text{ m}^2$

2. MARCI DE BETOANE

- Beton de egalizare : B.25
- Beton armat : B.150

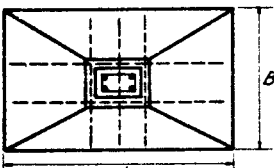


Fig.8.5

3. Înălțimea minimă a fundației

- Constructiv  $H \geq 30 \text{ cm}$
- Reportul  $H/L$  pentru asigurarea rigidității fundației va respecta valorile minime din tabelul

- Tabelul 8.7 -

- Pe considerente economice, se alege  $H \approx (0,25 - 0,35) L$

- Înălțimea minimă la extremitatea fundației

$$H' \geq 20 \text{ cm}; \\ H \leq (H/3 \dots H/2)$$

4. Armarea fundației

- Diametrul minim 10 mm
- Distanța maximă între bare 25 cm
- Procentul minim de armare 0,05 % reportat la secțiunea  $Lh_0$

Frasinarea max. pe teren (daN/cm <sup>2</sup> )	Valori (H/B) peste care nu mai este necesară verificarea la forța tăietoare	H/B min.
B.100	B.150	
1	0,20	0,20
2	0,21	0,21
3	0,23	0,22
4	0,26	0,23
5	0,28	0,26
6	0,30	0,28

7. Momente încovoiatoare.

- Fundații patrate și stelipă cu secțiune patrată cu încărcare centrică.

- Fundații dreptunghiulare cu încărcare excentrică.

$$l_x > l_y;$$

$$P_{med} = \frac{q_1 + q_2}{2}$$

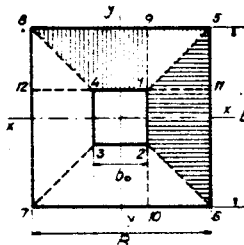


Fig.8.6

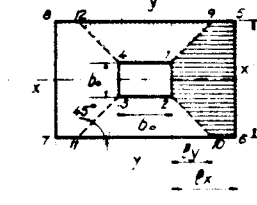


Fig.8.7

$$M_x = M_y = \frac{2B + b_0}{24} (B - b_0)^2$$

Formulele de calcul al momentelor încovoiatoare utilizând tabelele de calcul

- Presiunea pe teren uniform distribuită  $q$

$$M_x = q \frac{l_x^3}{3}$$

$$M_y = q \frac{B^3}{3}$$

- Presiunea pe teren variabilă triunghiular, cu valoarea maximă  $q$

$$M_x = q \frac{l_x^3}{3}$$

$$q_{med} = \frac{p}{2}$$

$$M_y = \frac{q_{med} B^3}{3}$$

Presiunea pe teren variabilă linier între  $q_{max} = q_1$  și  $q_{min} = q_2$

$$M_x = \frac{q_2 L^3}{3} + \frac{(q_1 - q_2)L^3}{6}$$

$$M_y = \frac{q_{med} B^3}{7} + P_{med} = \frac{q_1 + q_2}{2}$$

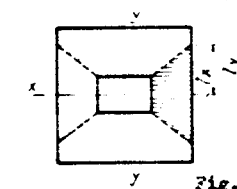


Fig.8.8

$$M_x = \frac{b_0 l_x^2}{6} (2q_1 + q_0) + \frac{l_x^3}{6} (3q_1 + q_0)$$

$$M_y = \frac{q_{med}}{6} (3Ll_y^2 - l_x^2)$$

Fundatii cu bloc de beton simplu si cuzinet din beton armat

1. Alcătuire constructivă

2. Mărci de betoane

- Pentru blocul de beton simplu : B.50, B.75
- Pentru blocul de beton simplu cu cuzinet ancorat : B.100
- Pentru cuzinet : B.150

3. Raportul  $l/L$  se alege pe criterii economice :

$l/L = 0,55 - 0,65$  pentru bloc cu o singură treaptă

$l/L = 0,4 - 0,5$  pentru bloc cu 2 - 3 trepte

4. Înălțimea minimă  $H$  a blocului de beton simplu trebuie să respecte condiția :  $H \geq (l_1 + l_2) \operatorname{tg} \alpha$ ;  $\operatorname{tg} \alpha$  se ia din tabelul

- Tabelul 8.8 -

5. Înălțimea minimă a cuzinetei  $h$  minimă constructivă 30 cm.

Prăștiunea maximă pe teren (daN/cm <sup>2</sup> )	Valorile minime ale $\operatorname{tg} \alpha$ pentru beton de mărca :		
	B.50	B.100	B.150
$P < 2$	1,3	1,1	1,0
$P = 3$	1,6	1,3	1,1
$P = 4$	1,8	1,5	1,3
$P = 6$	-	1,8	1,6

$\operatorname{tg} \beta \geq 1$  (nu este necesară verificarea la forță tăietoare).

6. Armarea cuzinetei

- Diametrul minim 8 mm
- Distanța maximă între bare 25 cm
- Procentul minim de armare 0,05 %

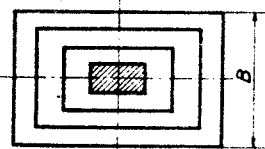
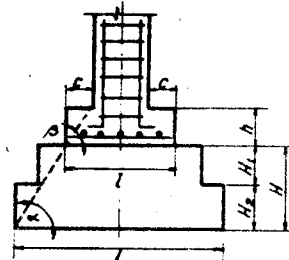


Fig. 8.9

respecte condiția :  $H \geq (l_1 + l_2) \operatorname{tg} \alpha$ ;  $\operatorname{tg} \alpha$  se ia din tabelul

5. Înălțimea

minimă a cuzinetei  $h$  minimă constructivă 30 cm.

$\operatorname{tg} \beta = \frac{h}{c} > \frac{2}{5}$

$\frac{h}{c} \geq 0,25$

$\frac{h}{c} \geq 0,25$

$\frac{h}{c} \geq 0,25$

Fundatii izolate tip pahar pentru stilpi prefabricati

1. Alcătuire constructivă

2. Mărci de betoane

- Beton egalizare : B.25
- Beton armat : B.150, B.200, B.250
- Beton de umplutură în jurul stilpului : B.200

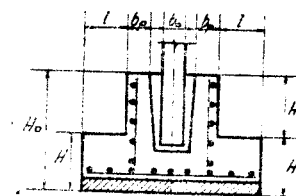


Fig. 8.10

3. Solicitările care se iau în considerare la calculul peretilor paharului (se recomandă  $H_p = 2,5 - 3 b_p$ )

4. Dimensionarea peretilor paharului și a grosimii fundului paharului.

a) Dimensionarea peretilor paharului se face pe baza relației :

$$M = N \frac{b_{st}}{3} \leq 1,4 b_{med} H^2 p_t R_z$$

în care :

$M, N$  - valorile de calcul ale momentului incovoiator și forței axiale în secțiuni teoretică de închastrire ;

$b_{med}$  - lățimea medie a peretelui paharului ;

$H_p$  - adâncimea paharului ;

$R_z$  - rezistența de calcul la întindere a betonului.

b) Grosimea fundului paharului trebuie să satisfacă condiția :

$$H_p \geq \frac{N_0}{U R_z}$$

în care :

$N_0$  - forță axială de calcul a stilpului sub acțiunea încărării care intervin înainte de întărirea monolitizării ;

$U$  - perimetrul secțiunii transversale a bazei stilpului.

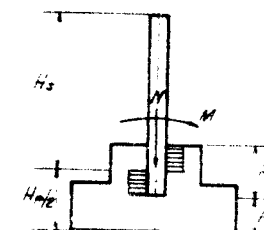


Fig. 8.11

Trebuie să fie respectate condiții :

$$H_f + H_p > \frac{H}{U R_{t,n}^2}$$

în care :

$H$  - forță axială maximă de calcul a stâlpului sub acțiunea tuturor încărcărilor luate în considerare în diferitele grupări de încărcări ;

$R_{t,n}^2$  - rezistență normală la întindere a tălpii fundației.

$$H > 15 \text{ cm}$$

a) Înălțimea la marginile fundației se va lua de cel puțin 20 centimetri.

#### 5. Armarea fundației.

- Talpa fundației

- Diametrul barelor minimum 10 mm ; Distanță maximă între bare 25 cm ; Procentul de armare minim 0,05 % față de aria  $BH_0$ .

- Pereții paharului

- Diametrul barelor minimum 10 mm ; Distanță maximă pe verticală (între armăturile orizontale) 15 cm pe o adâncime de  $H_p/2$  de la față superioară a paharului.

Pentru  $b_p < 25 \text{ cm}$ , armarea pereților se poate face numai la partea superioară, asigurându-se 3 bare orizontale și barele verticale pentru montaj.

Pentru  $b_p > 30 \text{ cm}$  - armarea se va face cu PC.52.

Pentru  $b_p > 45 \text{ cm}$  - diametrul minim 12 mm. Se verifică cantitatea de armătură cu relația :

$$A_{so} > \frac{0,5 b_{med} R_t s_{so}}{R_a}$$

unde :

$A_{so}$  - aria secțiunii transversale a unei armături orizontale ;

$R_t$  - rezistență de calcul a acestei armături ;

$s_{so}$  - distanță pe verticală, între armăturile orizontale

$$A_{sv} \geq \frac{0,05}{100} b_{med} s_{av} ;$$

$A_{sv}$  - aria secțiunii transversale a unei armături verticale

$s_{av}$  - distanță pe orizontală între armăturile verticale.

#### Fundații continue sub ziduri. Sumar de prescripții de proiectare

##### a) Fundații din beton simplu.

###### 1. Ale cătuire constructivă : tipuri de bază.

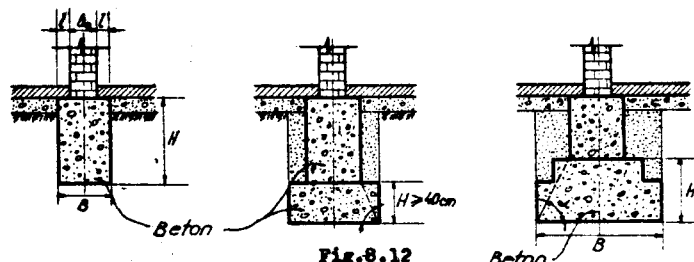


Fig.8.12

##### 2. Mărți de betoane.

- Beton simplu : B.25 - pentru umpluturi și egalizări ;  
B.50 - pentru fundații continue, socluri.

##### 3. Dimensiuni minime.

- Înălțimea minimă H a fundației 40 cm  
- Raportul tg α dintre înălțime și lățimile treptelor va indeplini condiția din tabelul 8.7

##### b) Fundații din beton armat.

###### 1. Ale cătuire constructivă.

###### 2. Mărți de betoane.

- Beton simplu : B.25

- Beton armat : B.150

###### 3. Înălțimea minimă a fundației :

- Constructiv  $H \geq 30 \text{ cm}$   
- Raportul  $H/B$  va respecta valorile din tabelul 8.7.  
- Înălțimea minimă la marginile fundației  $h = (1/3 \dots 1/2)H$ , dar minimum 15 cm.

Fig.8.13

##### 4. Armarea fundației.

- Distanță dintre bare maximum 25 cm.

- Procentul minim de armare 0,05 %.

- Armătura de repartizare : min. 10 % din armătura de rezistență (transversală) corespunzătoare.

5. Momente incovoietoare.

Solicitări centrice : distribuția presiunilor se consideră pe lățimea fundației :

$$M = \frac{q B^2}{2} ; T = q B'$$

în care  $q = p_{ef} - p_g$  ;  $p_g$  - presiunea corespunzătoare greutății fundației și a pământului de deasupra.

Solicitări excentrice : distribuția presiunilor liniară.

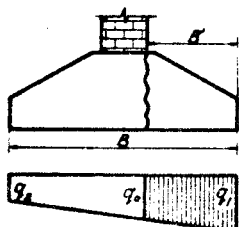


Fig.8.14

$$M = \frac{2q_1 + q_0}{6} B^2$$

$$T = \frac{q_1 + q_0}{2} B'$$

Tălpi continue sub stilpi. Sumar de prescripții de proiectare

1. Alcătuire constructivă

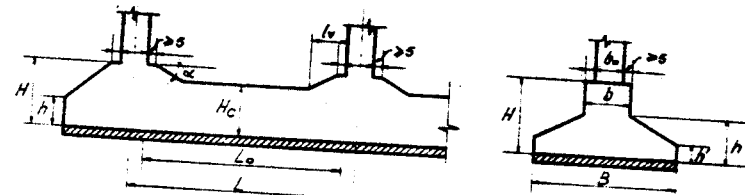


Fig.8.15

2. Mărci de betonare.

- Beton de egalizare : B.25
- Beton armat : B.150

3. Dimensiuni minime.

- Înlățimea H a grinzi se va lua de ordinul (1/3 ..... 1/6)L

- Lățimea b a grinzi :  $b > b_0 + 10$  cm

4. Dimensiunile vutelor :

lungimea vutei  $\ell \approx (1/6 \dots 1/4)L$ ,  
( $L_0$  = lungimea intericară între stilpi)

$$\operatorname{tg} \alpha \leq 1/3$$

$$H/H_c \approx 1,2 \dots 1,5$$

- Înlățimea h a tălpii inferioare se dimensionează la fel ca în cazul fundațiilor de beton armat pentru ziduri

$$h \geq 50 \text{ cm} ; h' = 15 \text{ cm}$$

4. Armarea grinzi.

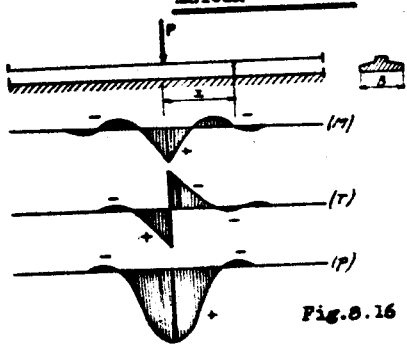
- Procentul minim de armare  $0,10 \%$

- Armături din oțel OB.37 și PC.52

- Diametrul minim al barelor 12 mm (recomandabil 16 mm).

GRINZI CONTINUE PE MEDIU  
ELASTIC

METODA WINKLER



$$l_0 = \sqrt{\frac{4 EI}{k_s B}} / \text{cm}$$

$$M = \alpha P l_0$$

$$T = \beta P$$

$$P = kx = \delta \frac{P}{l_0 B}$$

Fig. 8.16

Valori  $\alpha$

$$\alpha = \frac{1}{4} e^{-\gamma} (\cos \gamma - \sin \gamma); \gamma = \frac{x}{l_0}$$

$\frac{x}{l_0}$	$\alpha$								
0,000	0,250	0,350	0,105	1,025	-0,030	2,300	-0,035	3,385	-0,006
0,010	0,245	0,365	0,100	1,080	-0,035	2,310	-0,035	3,400	-0,006
0,020	0,240	0,380	0,095	1,100	-0,036	2,350	-0,034	3,465	-0,005
0,030	0,235	0,400	0,090	1,115	-0,038	2,385	-0,032	3,500	-0,004
0,040	0,230	0,415	0,085	1,155	-0,040	2,400	-0,032	3,550	-0,004
0,050	0,225	0,430	0,080	1,190	-0,042	2,425	-0,031	3,600	-0,003
0,060	0,220	0,445	0,075	1,200	-0,043	2,460	-0,030	3,650	-0,003
0,070	0,215	0,465	0,070	1,245	-0,045	2,500	-0,029	3,705	-0,002
0,080	0,210	0,480	0,065	1,300	-0,048	2,540	-0,028	3,770	-0,001
0,090	0,205	0,500	0,060	1,350	-0,049	2,575	-0,026	3,800	-0,001
0,100	0,203	0,520	0,055	1,390	-0,050	2,600	-0,025	3,850	±0,001
0,105	0,200	0,540	0,050	1,400	-0,050	2,615	-0,025	3,900	±0,000
0,114	0,195	0,560	0,045	1,450	-0,051	2,695	-0,022	3,927	±0,000
0,127	0,190	0,580	0,040	1,500	-0,052	2,700	-0,022	3,970	±0,000
0,140	0,185	0,600	0,036	1,570	-0,052	2,740	-0,021	4,020	0,002
0,155	0,180	0,605	0,035	1,600	-0,052	2,780	-0,020	4,060	0,001
0,165	0,175	0,630	0,030	1,690	-0,051	2,800	-0,019	4,100	0,001
0,175	0,170	0,655	0,025	1,775	-0,050	2,825	-0,019	4,150	0,001
0,185	0,165	0,675	0,020	1,840	-0,049	2,870	-0,017	4,200	0,001
0,200	0,160	0,700	0,015	1,900	-0,048	2,900	-0,017	4,220	0,002
0,212	0,155	0,725	0,010	1,945	-0,046	2,915	-0,016	4,300	0,002
0,225	0,150	0,755	0,005	1,995	-0,045	2,965	-0,015	4,400	0,002
0,240	0,145	0,785	±0,000	2,000	-0,045	3,000	-0,014	4,500	0,002
0,255	0,140	0,800	-0,002	2,035	-0,044	3,015	-0,014	4,600	0,002
0,265	0,135	0,820	-0,005	2,085	-0,042	3,065	-0,012	4,700	0,002
0,277	0,130	0,850	-0,010	2,100	-0,042	3,100	-0,012	4,710	0,002
0,290	0,125	0,885	-0,015	2,120	-0,041	3,120	-0,011	4,800	0,002
0,300	0,122	0,900	-0,016	2,155	-0,040	3,180	-0,010	4,900	0,002
0,305	0,120	0,930	-0,020	2,200	-0,039	3,200	-0,010	5,000	0,002
0,320	0,115	0,975	-0,025	2,235	-0,038	3,245	-0,009		
0,335	0,110	1,000	-0,028	2,270	-0,036	3,310	-0,008		

Valori  $\beta$

$$\beta = -\frac{1}{2} e^{-\gamma} (\cos \gamma + \sin \gamma); \gamma = \frac{x}{l_0}$$

$\frac{x}{l_0}$	$\beta$									
0,000	-0,300	0,800	-0,157	1,575	±	0,000	2,700	0,030	3,800	0,009
0,050	-0,475	0,820	-0,150	1,600	0,005	2,715	0,030	3,855	0,008	
0,100	-0,450	0,900	-0,125	1,625	0,005	2,800	0,029	3,900	0,007	
0,155	-0,425	1,000	-0,100	1,680	0,010	2,855	0,027	3,920	0,007	
0,200	-0,401	1,100	-0,076	1,700	0,012	2,900	0,027	3,995	0,006	
0,205	-0,400	1,105	-0,075	1,745	0,015	2,985	0,025	4,075	0,005	
0,255	-0,375	1,200	-0,055	1,800	0,019	3,000	0,025	4,100	0,005	
0,300	-0,354	1,220	-0,050	1,820	0,020	3,100	0,022	4,165	0,004	
0,310	-0,350	1,250	-0,045	1,900	0,024	3,200	0,020	4,200	0,004	
0,360	-0,325	1,280	-0,040	1,925	0,025	3,220	0,020	4,270	0,003	
0,400	-0,309	1,300	-0,036	2,000	0,028	3,300	0,018	4,300	0,003	
0,420	-0,300	1,310	-0,035	2,065	0,030	3,330	0,017	4,390	0,002	
0,480	-0,275	1,350	-0,030	2,100	0,031	3,400	0,016	4,400	0,002	
0,500	-0,266	1,375	-0,025	2,200	0,032	3,456	0,015	4,500	0,001	
0,540	-0,250	1,400	-0,021	2,300	0,033	3,500	0,014	4,600	0,001	
0,600	-0,227	1,415	-0,020	2,365	0,034	3,590	0,012	4,700	±0,000	
0,605	-0,225	1,465	-0,015	2,400	0,033	3,600	0,012	4,800	±0,000	
0,670	-0,200	1,485	-0,010	2,500	0,033	3,700	0,011	4,830	±0,000	
0,700	-0,199	1,500	-0,008	2,530	0,032	3,720	0,010	4,870	-0,001	
0,740	-0,175	1,525	-0,005	2,600	0,032	3,785	0,009	5,000	-0,001	

OBSERVATIE : Linia de influență a forței situate în mediu este antisimetrică în raport cu punctul de aplicare al forței  $F$ , valorile  $\beta$  se iau cu semnul din tabel pentru  $x$  pozitiv (forță situată la stînga secțiunii de calcul) și cu semn schimbat pentru  $x$  negativ (forță situată la dreapta secțiunii de calcul).

$$\text{Valori } \hat{\tau} \quad \hat{\tau} = \frac{1}{2} e^{-\gamma} (\cos \gamma + \sin \gamma) ; \gamma = \frac{x}{l_0}$$

$\frac{x}{l_0}$	$\hat{\tau}$	$\frac{\hat{\tau}}{Z}$	$\hat{\sigma}$	$\frac{\hat{\sigma}}{E}$	$\gamma$	$\frac{\gamma}{E}$	$\hat{\tau}$	$\frac{\hat{\tau}}{Z}$	$\hat{\sigma}$
0,000	0,500	0,800	0,512	1,500	0,119	2,500	-0,008	3,700	-0,017
0,100	0,495	0,855	0,300	1,590	0,100	2,540	-0,010	3,800	-0,016
0,200	0,482	0,900	0,286	1,600	0,098	2,600	-0,013	3,845	-0,015
0,240	0,475	0,935	0,275	1,700	0,079	2,700	-0,016	3,900	-0,014
0,300	0,463	1,000	0,254	1,720	0,075	2,800	-0,018	4,000	-0,013
0,350	0,450	1,015	0,250	1,800	0,062	2,900	-0,020	4,100	-0,012
0,400	0,439	1,095	0,225	1,880	0,050	3,000	-0,021	4,200	-0,010
0,450	0,425	1,100	0,224	1,900	0,047	3,100	-0,021	4,300	-0,009
0,500	0,412	1,185	0,200	2,000	0,033	3,141	-0,021	4,400	-0,008
0,545	0,400	1,200	0,195	2,070	0,025	3,200	-0,021	4,500	-0,007
0,600	0,381	1,275	0,175	2,100	0,022	3,300	-0,021	4,600	-0,006
0,620	0,375	1,300	0,168	2,200	0,012	3,400	-0,020	4,665	-0,005
0,650	0,350	1,375	0,150	2,300	0,004	3,445	-0,020	4,700	-0,005
0,700	0,350	1,400	0,142	2,352	0,000	3,500	-0,019	4,800	-0,004
0,780	0,325	1,475	0,125	2,400	-0,003	3,600	-0,018	5,000	-0,001

Capacitatea portantă a piloților izolați, la solicitări axiale :

$$R = K \cdot m \cdot P_{cr} \quad (1)$$

în care :

- K - este coeficientul de omogenitate, egal cu 0,7 ;  
 m - este coeficientul condițiilor de lucru, egal cu 1 ;  
 $P_{cr}$  - este încărcarea axială critică, a pilotului.

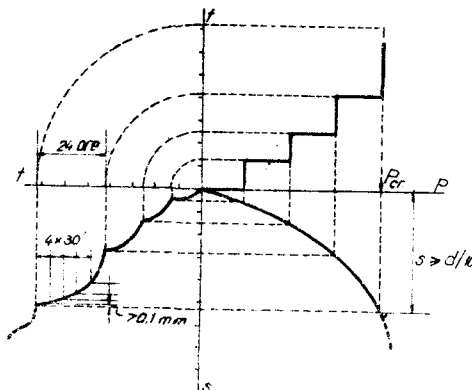


Fig.9.1

Criterii pentru stabilirea încărcării critice  $P_{cr}$ , folosind date din încărcarea statică :

a)  $s > d/lo$ , în care :

d - este dimensiunea transversală a secțiunii pilotului, diametrul sau latura, în cm.

b) Creșterea tesărilor în 4 intervale de cîte 30°, în decurs de 24 ore, mai mare de 0,1 mm (v.fig.9.1).

c) Criteriul Van der Veen.

Pe baza interpretării datelor din încărcarea statică a piloților, se admite că relația încărcare - tesere poate fi pusă sub forma :

$$1) s = m \cdot \lg(1 - \frac{P}{P_{cr}})$$

În coordinate semilogaritmice, avind în abscisă valorile  $\log(1-P/P_{cr})$ , diagrama  $s = f(P)$ , este liniară.

## PLANSA 9.I

Interpretarea datelor din încărcare statică se face prin tătemări, reținind valoarea încărcării critice  $P_{cr}$ , care conduce la forma liniară a reprezentării relației  $s = f(P)$  în coordonate semilogaritmice (fig.9.2).

## d) Criteriul Pares.

Atingerea capacitatei pertinente a pilotului este semnalată de apariția unei schimbări în viteză de deformare a pilotului sub încărcare constantă.

Reprezentarea tasării în funcție de timp pentru o încărcare constantă, este o dreaptă, dacă pentru timp se adoptă scara logaritmică.

Tasarea în funcție de timp are expresia : (fig.9.3,a)

$$s = \sigma_1 + \sigma_2 \cdot \log t$$

Panta dreptei  $\sigma_2$  este o măsură a vitezei de deformare a pilotului sub încărcare constantă. Dacă se reprezintă pentru fiecare treaptă de încărcare, valoarea  $\sigma_2$  se obține reprezentarea din fig. 9.3,b.

Înărcirea pentru care apare o fringere netă în graficul  $\sigma_2 = f(P)$  reprezintă încărcarea critică a pilotului.

Timp și scara logaritmică

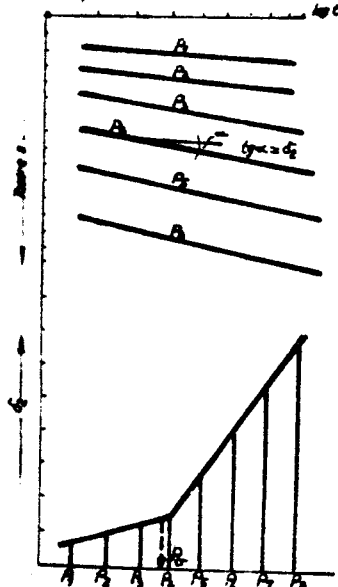


Fig. 9.3

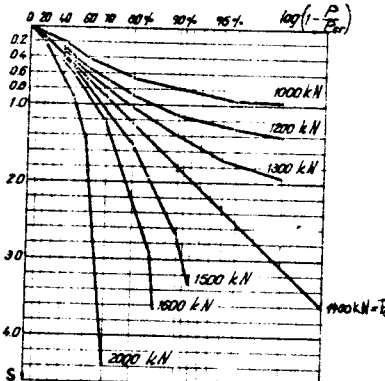
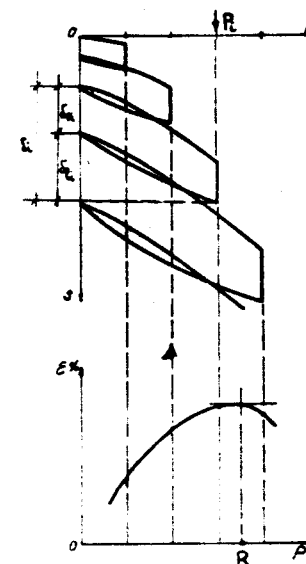


Fig. 9.2

## PLANSA 9.I

## e) Criteriul Szechy.



$$\varepsilon = \frac{\sigma_{e_1} - \sigma_{e_{1-1}}}{\sigma_{p_1} - \sigma_{p_{1-1}}}$$

Se încercă să desceră pilotii ciclic cu stabilisarea tasării în timp sub fiecare treaptă.

Se determină, pentru fiecare treaptă tasarea elastică și tasarea remanentă.

Valoarea maximă a raportului  $\varepsilon$ , corespunde capacitatei pertinente a pilotului.

Fig. 9.4

PLANSA 9.II

Stabilirea încărcării critice  $P_{cr}$ , pe  
baza datelor din încercări dinamice

$$P_{cr} = - \frac{n_0 A}{2} + \sqrt{\left( \frac{n_0 A}{2} \right)^2 + \frac{n_0 A}{e} \cdot \frac{Q_0 + e,2 q}{Q_0 + q} \cdot Q_0 \cdot H_0} \quad (1)$$

în care :

- $P_{cr}$  - este încărcarea critică axială a pilotului, în kN ;
- $e$  - este refuzul pilotului, în cm ;
- $n_0$  - coeficient a cărui valoare, în kPa, se alege din tabelul 9.1 ;
- $H_0$  - este înălțimea de cădere, introdusă conform tabloului 9.2, în cm ;
- $A$  - este aria secțiunii transversale a pilotului, în  $m^2$  ;
- $Q_0$  - este greutatea, în kN, a berbecului cu cădere liberă sau a părții care loveste, pentru berbecii mecanici ;
- $q$  - este greutatea pilotului, inclusiv a căciului de protecție și a părții staționare a berbecilor mecanici, în kN.

- Tabelul 9.1 -

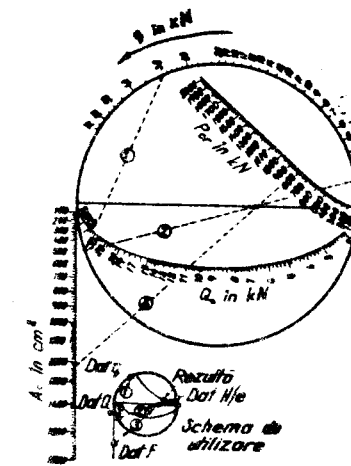
Tipul pilotului și condițiile de baterie	$n_0$ (kPa)
Pilot din beton armat (cu căciulă de protecție)	1500
Pilot din lemn (fără căciulă de protecție)	1000

- Tabelul 9.2 -

Tipul de berbec	Piloti verticali	Piloti inclinați cu 3:1
Berbec cu cădere liberă sau cu acțiune simplă	$H_0 = H_1$	$H_0 = 0,8 H_1$
Berbec diesel sau cu acțiune dublă	$H_0 = \frac{100 E_0}{Q_0}$	$H_0 = \frac{80 E_0}{Q_0}$

în care :  $H_1$  - înălțimea cursiei părții berbecului, care loveste, în cm ;  
 $E_0$  - energia de lovire a berbecului, în kJ ;  
 $Q_0$  - greutatea părții berbecului, care loveste, în kN .

PLANSA 9.II



$H$  in cm;  
 $2$  in cm.

Graficul 9.1 - pentru determinarea încărcării axiale critice din încercări dinamice.

Veloarea încercării axiale critice  
pe baza datelor din încercări de penetrometrie  
statică

$$P_{cr} = \frac{R_p}{2} \cdot A + P_i \cdot \frac{U}{u_p}, \text{ în kN} \quad (1)$$

în care :

$R_p$  - rezistența convențională pe virful penetrometrului, calculată cu relația :

$$R_p = \frac{R_{p1} + R_{p2}}{2}, \text{ în kPa};$$

$R_{p1}$  media rezistențelor pe virful penetrometrului, înregistrate în stratele situate de la nivelul virfului pilotului pînă la o adâncime egală cu "d" sub acest nivel, în kPa;

$R_{p2}$  media rezistențelor pe virful penetrometrului înregistrate de la nivelul virfului pînă la o înălțime egală cu "p-d" deasupra acestui nivel, în kPa;

d - diametrul sau dimensiunea maximă a secțiunii dreptunghinare a pilotului, în cm;

$\beta$  - coeficient, care se adoptă conform tabelului 9.3 ;

- Tabelul 9.3 -

Stratul în care se execută penetrarea	$\beta$
- Premituri coeziive, misipuri afinate	3
- Misipuri de îndesare medie	8
- Misipuri îndesante și misipuri cu pietriș	15

A - aria secțiunii transversale a pilotului, în  $m^2$ ;  
 $P_i$  - forță de frecare pe suprafața laterală a penetrometrului, introdus pînă la nivelul virfului pilotului, în kN;

U - perimetru secțiunii transversale a pilotului, în m;  
 $u_p$  - perimetru secțiunii coloanei penetrometrului, în m.

Estimarea capacitatei portante a pilotilor solicitati axial

a) Pentru forze axiale de infigere :

(1) Piloti partitori pe virf :

$$R = K \cdot m \cdot R^p \cdot A, \quad \text{in kN}$$

in care :

$K$  - este coeficientul de omogenitate, egal cu :

$K = 0,7$  pentru piloti prefabricati ;

$K = 0,5$  pentru piloti executati pe loc ;

$m$  - este coeficientul conditiilor de lucru, egal cu 1 ;

$A$  - este aria de rezemare (secțiunea) pilotului, in  $\text{cm}^2$  ;

$R^p$  - este rezistența normată a terenului sub virful pilotului, in kPa ;

= pentru piloti prefabricati introdusi prin baterie, vibrare sau presare, care reazemă cu virful pe roci stincoase sau pe strate necocezive macrogranulare (blocuri, bolovănișuri)

$$R^p = 20.000 \text{ kPa}$$

= pentru piloti executati pe loc, cu virful in stratul portant pe cel putin 0,50 m

$$R^p = 20.000 \text{ kPa} \text{ pentru strate macrogranulare}$$

$$R^p = C_{cs} \left( \frac{t}{d} + 1,5 \right) \text{ pentru roci stincoase :}$$

$C_{cs}$  - este rezistența medie la compresiune a rocii stincoase, in kPa ;

$t$  - adințimea de încastrare in stincoare virfului pilotului, in m ;

$d$  - dimensiunea transversală a secțiunii pilotului, in m.

(2) Piloti flotanți prefabricati :

$$R = K (m_1 \cdot R^p \cdot A + m_2 \cdot \sum f_i^p l_i), \quad \text{in kN}$$

in care :

$K = 0,7$

$m_1$  și  $m_2$  - coeficienți ai condițiilor de lucru, date în tabelul 9.4 ;

$A$  - aria secțiunii la virf a pilotului, in  $\text{m}^2$  ;

$u$  perimetru secțiunii transversale a pilotului, in m ;

$R^p$  rezistența normată a pământului sub virful pilotului, dată în tabelul 9.5, in kPa ;

$f_i^p$  rezistența normată pe suprafața laterală a pilotului in dreptul stratului i, conform tabelului 9.6, in kPa ;

$l_i$  lungimea pilotului in contact cu stratul i, in m.

- Tabelul 9.4 -

Modul de execuție a pilotului	$m_1$	$m_2$
1. Piloti bătuți	1,0	1,0
2. Piloti introduși prin spălare in pământuri nisipoase, cu condiția bateriei pe ultimul metru fără spălare	1,0	0,6
3. Piloti introduși prin vibrare, in pământuri :		
a) nisipoase saturate, de indesare medie :		
- mijlocii și mari	1,2	1,0
- fine	1,1	1,0
- prăfoase	1,0	1,0
b) argiloase cu indicele de consistență :		
$0,5 < I_C \leq 1$ :		
- profuri nisipoase	0,9	0,9
- argile nisipoase sau prăfoase	0,8	0,9
- argile	0,7	0,9
c) argiloase cu indicele de consistență		
$I_C > 1$	1,0	1,0

- Tabelul 9.5 -

Adâncimea de înfrigere (m)	Pământuri succesive		Pământuri coeziive cu $I_C$ :								
	Nisip prăfes	Nisip mediu	Mic pietrit mediu	Mic pietrit fin	$R^N$ (kPa)	$R^N$ >1,0	0,9	0,8	0,7	0,6	0,5
3	7500 8500 9700 11500 12000 13500 14500 15500	6500 6600 6700 6900 7300 7500 8200 8800 9400 10000	2900 3000 3100 3200 3300 2400 4000 4500 5000 5500	1800 1900 2000 2200 2400 1500 1600 1700 1800 1900	1200 1250 1300 1400 1500 10500 11000 12600 13400 14200	7000 8300 6200 9700 1500 7500 1600 1700 1800 1900	4000 5100 4000 6900 5000 5000 5600 4000 5800 4000	2000 2500 2800 4500 2200 2400 4000 6200 5800 5500	1200 1600 2000 2200 1400 1500 2800 3100 3400 3700	1000 1200 1300 1400 1600 1500 1600 1700 1800 1900	600 700 800 850 900 900 1000 1100 1200 1300
4	8500 9700 11500 12000 13500 14500 15500	6600 6700 7500 8200 8800 9400 10000	3000 3100 4000 4500 5000 5500 6000	1900 2000 2200 2400 2800 3100 3400	1300 1400 1500 1600 1700 1800 1900	7500 7700 11000 12600 13400 14200 15000	5100 5200 7500 8200 8800 9400 10000	4000 5000 5600 6200 6800 7400 8000	1600 2000 2400 3100 3400 3700 4000	1300 1400 1500 1600 1700 1800 2000	600 700 800 850 900 1000 1400

OBSERVATII : 1. Adâncimea de înfrigere a pilotului se măsoară de la nivelul terenului natural pînă la nivelul virfului pilotului, cînd umpluturile său decapătarele sunt mai mari de 3 m, adâncimea de înfrigere se măsoară de la un nivel superior, respectiv inferior, cu 3 m nivelului terenului natural.

2. Valorile  $R^N$  din tabel pot fi folosite cu condiția ca pilotul să pătrundă în terenul stabil (care nu este supus sursei sau alunecărilor) cel puțin 4 m pînă infrastructurile podurilor sau construcțiilor hidrotehnice și pe 3 m pentru celelalte construcții.

3. Valorile  $R^N$  din tabel dîntotdeauna trebuie folosite pentru pămînturi nisipoase unde rezistența lor este relativă și virfului pilotului în strat este  $t/d > 15$ . Pentru valori  $t/d < 15$  se calculează rezistența normală corectată cu relația :

$$R^N_{nor} = R^N(0,7 + 0,22 t/d), \text{ in kPa}$$

în care :  $t$  - adâncimea de încastrare în stratul de nisip mare sau pietriș a virfului pilotului,

$d$  - diametrul pilotului în planul basii, în m.

PLANSA 9.IV

- 167 -

PLANSA 9.IV

## OBSERVATII - Tabel 9.5 -

5. Pentru pămînturi nisipoase (cu excepția nisipurilor mari prevăzute la obs.4) și pămînturi coeziive, valorile din tabel se pot folosi cu condiția pătrunderii virfului pilotului pe o adâncime  $t/d > 4$ . Pentru valori  $t/d < 4$  se calculează rezistența normală corectată cu relația :

$$R^N_{nor} = R^N(0,5 + 0,125 t/d), \text{ in kPa}$$

6. Pentru valorile intermedii ale adâncimilor sau consistenței, valorile  $R^N$  din tabel se interpolează liniar.

- Tabelul 9.6 -

Adâncimea media a străutului (m)	Pămînturi necoeziive			Pămînturi coeziive cu $I_C$					
	mare și medie	fine	prăfoase	≥ 0,8	0,7	0,6	0,5	0,4	0,3
1	35	23	15	35	25	15	12	5	2
2	42	30	20	42	30	20	17	7	3
3	48	35	25	48	35	25	22	9	4
4	53	38	27	53	38	27	24	10	5
5	56	40	29	56	40	29	24	11	6
7	60	43	32	60	45	32	25	12	7
10	65	46	34	65	46	34	26	14	8
15	72	51	38	72	51	38	28	16	12
20	79	56	41	79	56	41	30	18	-
25	86	61	44	86	61	44	32	20	-
30	93	66	47	93	66	44	34	22	-
35	100	70	50	100	70	50	36	-	-

## OBSERVATII :

1. Valorile  $R^N$  se adoptă pentru adâncimile medii, corespunzătoare distanței de la mijlocul grosimii stratului și pînă la suprafața terenului, ținind seama de observația 1 de la tabelul 9.5. În cazul unor strate cu grosimi mai mari de 2 m, determinarea valorilor  $R^N$  se face prin împărțirea în orizonturi cu grosimi de max. 2 m.

2. Pentru valorile intermedii ale adâncimilor sau consistenței,  $R^N$  se interpolează liniar.

3. Dacă în limitele lungimii pilotului există o intercalatie de pămînt puternic compresibil, de consistență redusă (turbă, mîl etc. de cel puțin 30 cm grosime, iar suprafața terenului urmează să fie încărcată (în urma sistematizării sau din alte cauze) cu o umplutură de pămînt sau din alte materiale, rezistența pămîntului situat deasupra stratului de turbă se ia astfel :

- cînd umpluturile au pînă la 2 m înălțime : pentru stratul puternic compresibil și pentru umplutura de pămînt  $R^N$ , iar pentru stratele de pămînt natural,  $R^N$  are valorile din tabel, cu semnul pozitiv ;

- cînd umpluturile au între 2 și 5 m înălțime : pentru pămînturile naturale, inclusiv umplutura de pămînt,  $R^N$  se ia cu semnul negativ, iar pentru stratul puternic compresibil  $R^N = -5$  kPa ;

- cînd umpluturile au peste 6 m înălțime : pentru pămînturile nature, inclusiv umplutura de pămînt,  $R^N$  se ia egal cu valorile din tabel cu semn negativ, iar pentru stratul puternic compresibil  $R^N = -5$  kPa.

4. Dacă pilotul străbate umpluturi recente, în curs de consolidare, cu grosimi mai mari de 5 m, valorile  $R^N$  din tabel, corespunzătoare tipului de pămînt predominant în umplutura, se vor lua cu semn negativ.

- 168 -

## PLANSA 9.IV

(3) călări flotanți execuția pe loc :

$$R = K(m_3 \cdot R^N \cdot A + m_4 \cdot u \sum f_i^N l_i), \text{ în kN}$$

în care :

$K$ ,  $A$ ,  $u$ ,  $f_i^N$ ,  $l_i$  au semnificații și valorile indicate pentru expresia (2)

$m_3$  și  $m_4$  coeficienți ai condițiilor de lucru date în tabelele 9.7 și 9.8

$R^N$  rezistență normală a pământului sub nivelul vîrfului pilotului.

- Tabelul 9.7 -

Tehnologia de betonare a pilotului	$m_3$
Betonare în uscat sau sub apă	1,0
Betonare sub noroi	0,8

- Tabelul 9.8 -

Modul de execuție a pilotului	$m_4$ pentru :	
	pământuri necoeezive	pământuri coeezive
Pilot cu mantau introdusă prin baterie și betonul compactat prin vibrare	0,7	0,6
Pilot cu mantau introdusă prin baterie și betonul compactat prin baterie	1,0	1,0
Pilot executat prin vibropresare	1,0	1,0
Pilot forat de orice alt tip	0,6	0,5

Pentru pilotaj de îndesare (execuția prin baterie sau vibropresare) valoarea  $R^N$  se ia din tabelul 9.5.

Pentru pilotaj execuția prin forare care rezemă cu baza pe pământuri coeezive, valoarea  $R^N$  este dată în tabelul 9.9, funcție de indicele de consistență al pământului,  $I_C$ , de sub baza pilotului cu condiția asigurării pătrunderii bazei pilotului în stratul respectiv pe o adâncime egală cu cel puțin diametrul pilotului sau al bulbului.

- Tabelul 9.9 -

Adâncimea bazei pilotului (m)	$I_C$			
	≥ 1,0	0,8	0,6	0,4
$R^N$ (kPa)				
3	600	500	350	250
5	750	600	450	350
10	1100	900	750	600
20	1800	1600	1350	1050

OBSERVAȚIE : Tabel 9.9

Pentru valorile intermedii  $I_C$  și ale adâncimii, valorile  $R^N$  se rezultă prin interpolare.

Pentru pilotaj execuția prin forare care rezemă cu baza pe strate necoeezive, valoarea  $R^N$  se calculează cu relația :

$$R^N = \alpha (\gamma' d_b \cdot E_y + \gamma'_1 \cdot D_c \cdot E_q) \quad \text{în kPa} \quad (3.4)$$

în care :

$\alpha$  - coeficient dat în tabelul 9.10, în funcție de gradul de îndesare  $I_D$  al pământului de la baza pilotului;

$\gamma'$  - greutatea volumică a pământului de sub baza pilotului, în  $\text{kN/m}^3$ ;

$\gamma'_1$  - valoarea medie ponderată, prin grosimile diferitelor strate, a greutăților volumice ale straturilor străbătute de pilot, în  $\text{kN/m}^3$ ;

$d_b$  - diametrul pilotului la nivelul bazei, în m;

$D_c$  - figura de calcul a pilotului, în m, care se stabilește astfel :

- dacă  $D > d_b$  se consideră  $D_c = d_b$ ;

- dacă  $D < d_b$  se consideră  $D_c = D$ ;

$D$  - figura reală a pilotului (adâncimea la care se găsește baza pilotului, măsurată de la nivelul terenului natural, sau - pentru infrastructurile podurilor - de la nivelul fundului albiei, făinind seama de adâncimea de afnăiere), în m;

$\alpha$  - coeficient în funcție de gradul de îndesare  $I_D$  al pământului de la baza pilotului, conform tabelului 9.10;

$E_y$ ,  $E_q$  - factorii de capacitate portantă, date în tabelul 9.11, în funcție de valoarea normală (mediu) a unghiului de frecare interioară  $\gamma'_2$  al stratului de la baza pilotului.

OBSERVAȚIE : - Cind deasupra stratului de pămînt necoeeziv în care pătrunde baza pilotului se află un strat de umpluță recentă, necompactată, sau de pămînt coeeziv plastic moale sau plastic curgător, sau un strat de turbă, drept figă  $D$  se va considera doar adâncimea pe care pătrunde pilotul în stratul portant, iar în expresia  $R^N$  definită prin relația (3.4) se va adăuga termenul  $\gamma'_2 h$  în care :

$\gamma'_2$  - greutatea volumică a stratului slab, în  $\text{kN/m}^3$ ;

$h$  - grosimea acestui strat, în m.

- Tabelul 9.10 -

$I_D$	$\alpha$	$n$
0,66 .... 0,75	0,5	10
0,74 .... 0,66	0,4	15
0,67 .... 1,00	0,3	20

- Tabelul 9.11 -

$\theta^{\circ}$	26°	28°	30°	32°	34°	36°	38°	40°
$E_x$	9,5	12,6	17,3	24,4	34,6	48,6	71,3	108,0
$E_q$	18,6	24,8	32,8	45,5	64,0	87,6	127,0	185,0

(4) Capacitatea portantă a unui pilot solicitat la smulgere :

$$R_{sm} = K \cdot n \cdot P_{cr,sm} \quad \text{in kN}$$

în care :

$$K = 0,4 ;$$

$$n = 1,0 ;$$

$P_{cr,sm}$  este forța critică de smulgere stabilită prin încercări conform STAS 2561/2-74.

(5) Estimarea capacitații portante la smulgere în faze preliminare de proiectare :

$$R_{sm} = K \cdot n \cdot u \sum f_i^n \cdot l_i$$

în care :

$K, n, f_i^n, l_i$  au semnificațiile și valorile din expresia (2) ;

$u$  - este coeficientul condițiilor de lucru egal cu 0,6.

Capacitatea portantă a pilotilor verticali la solicitări prin forțe transversale axului :

$$R_{or} = K \cdot m \cdot P_{cr,or} , \quad \text{in kN} \quad (1)$$

în care :

$$K = 0,7 ;$$

$$m = 0,7 ;$$

$P_{cr,or}$  - este forța critică orizontală pentru pilotul izolat determinată prin încercări conform STAS 2561/2-74, in kN.

Capacitatea portantă la încărări orizontale a pilotilor verticali în radier joase se poate stabili, în mod aproximativ, cu ajutorul valorii lungimii convenționale de încastrare  $l_0$ , dată în tabelul 9.12 în funcție denumirea pământului și de diametrul pilotului, cunoscindu-se momentul încovoietor capabil al pilotului.

Lungimea convențională de încastrare  $l_0$  reprezintă lungimea unei console la care momentul încovoietor de încastrare sub încărcare orizontală este același cu momentul maxim care se dezvoltă în pilot.

- Tabelul 9.12 -

Denumirea pământului	$l_0$
Nisipuri afinate și pământuri coeziive avind $I_C \leq 0,5$	4 d
Nisipuri de îndesare medie și pământuri coeziive avind $0,5 < I_C \leq 0,75$	3 d
Nisipuri și pietriguri îndesate, pământuri coeziive avind $0,75 < I_C \leq 1$	2 d
Pământuri coeziive tari, avind $I_C > 1$	1,5 d

Forța critică orizontală  $P_{cr,or}$  a unui pilot vertical în radier jos se determină cu relațiile :

- în cazul pilotului considerat încastrat în radier :

$$P_{cr,or} = \frac{2 M_{cap}}{l_0} \quad \text{in kN} \quad (2)$$

- în cazul pilotului considerat articulat în radier :

$$P_{cr,or} = \frac{M_{cap}}{l_0} \quad \text{in kN} \quad (3)$$

în care :  $l_0$  - lungimea convențională de încastrare stabilită conform tabelului 9.12, in m ;

$M_{cap}$  - momentul încovoietor capabil calculat conform prescripțiilor în vigoare pentru calculul elementelor de beton armat, în kNm ;

$P_{er cr}$  - forța critică orizontală, în kN.

Capacitatea portantă a pilotului  
în grup

Capacitatea portantă a unui pilot care lucrează în grup se ia egală cu :

$$R_g = m_u \cdot R \quad (1)$$

în care :

$R$  - capacitatea portantă a pilotului izolat, în kN ;

$m_u$  - coeficient al condițiilor de lucru al pilotilor în grup (coeficient de utilizare), care se stabilește după cum urmăzează

- la fundații pe piloti purtători pe virf,  $m_u = 1$
- la fundații pe piloti flotanți în terenuri nocozezive,  $m_u = 1$  (dacă cercetări speciale nu stabilesc o valoare diferită, mai exactă)
- la fundații pe piloti flotanți în terenuri coeziive,  $m_u$  se stabilește conform tabelului 9.13.

- Tabelul 9.13 -

$r/r_0$	1,8	1,6	1,4	1,2	1,0	0,8	0,6
$m_u$	1,0	0,95	0,9	0,85	0,8	0,7	0,6

în care :

$r$  - distanța între axele pilotilor învecinăți, în m ;

$r_0$  - raza de influență a pilotului izolat, în planul virfului, în m :

$$r_0 = \sum l_i \operatorname{tg} \xi_i \quad (2)$$

$l_i$  - grosimea stratului "i" prin care trece pilotul, în m

$\xi_i$  - unghi dat în tabelul 9.14.

- Tabelul 9.14 -

Denumirea pământului	$C_i$	$\operatorname{tg} C_i$
Nisip îndesat	7°	0,125
Nisip de îndesare medie	5°	0,105
Nisip afinsat	5°	0,087
Nisip prăfos, funcție de îndesare	5 - 6°	0,087 - 0,105
Argilă prăfosată sau argila în stare tare	6°	0,105
Argilă în stare plastică	4°	0,070
Mil, argile în stare cărgătoare	0°	0,000

OBSERVAȚIE : Valorile subunitare din tabelul 9.13 pot fi scrise pînă la max.  $m_u = 1$ , în cazul în care rezultatul proba-

bilă, calculată, a fundației pe piloți, rămâne în limitele admisibile pentru construcția respectivă.

La radiere joase pe piloți, solicitată la încărcări orizontale, se va verifica condiția :

$$\frac{H_{tot}}{\sum H_{in} + n R_{or}} \leq m \quad (2)$$

în care :

- $H_{tot}$  - componenta orizontală a efortului total de calcul care acționează asupra radierului ;
- $\sum H_{in}$  - suma tuturor componentelor orizontale ale eforturilor axiale care acționează în piloți inclinați.
- $R_{or}$  - capacitatea portantă a piloților verticali, la solicitări orizontale ;
- $m$  - numărul piloților verticali ;
- $n$  - coeficientul condițiilor de lucru, egal cu 0,9.

Calculul forțelor axiale  
intr-un pilot

Forța axială intr-un pilot al unei fundații cu radier jos și piloți verticali, solicitată la încărcări verticale și momente se calculează cu relația :

$$P_i = \frac{N}{n} \pm \frac{M_y}{\sum y_i^2} \pm \frac{M_x}{\sum x_i^2} \text{ în kN} \quad (1)$$

în care :

- $N$  - efortul vertical de calcul acționând asupra grupului de piloți, în kN ;
- $M_x, M_y$  - momentele de calcul, față de axele principale ale secțiunii grupului de piloți, în kN.m ;
- $x_i, y_i$  - distanțele de la axa pilotului  $i$  din grup, la axele principale ale secțiunii grupului de piloți, în m ;
- $x$  și  $y$  - distanțele de la axa pilotului considerat, la axele principale ale secțiunii grupului de piloți, în m ;
- $n$  - numărul piloților în grup.

În cazul în care o fundație cu radierul jos este solicitată și la încărcări orizontale, se va verifica dacă piloții verticali din grup sunt capabili să preia această încărcare prin încovoiere. În caz contrar se vor prevedea piloți inclinați.

Metoda grafică a centrului  
împotrivă de rotație

Se presupune că pilotii sunt articulați în radier și că astfel că ei nu pot prelua decit eforturi axiale, de compresiune sau extensie.

Sub acțiunea rezultantei  $R$ , a sistemului de forțe ce solicită radierul, acesta se rotește cu unghiul  $\theta$  în jurul unui punct  $O$ , numit centru de rotație al sistemului, cu unghiul  $\Theta$ .

Efortul intr-un pilot carecă,  $i$ , situat la distanța  $\lambda_i$  de centru de rotație  $O$ , este :

$$P_i = \lambda_i \frac{EA}{L} \cdot \Theta \quad (1)$$

în care :

- $E$  - modulul de elasticitate al materialului pilotului ;
- $A$  - aria secțiunii transversale a pilotului
- $L$  - lungimea pilotului.

Dacă poziția centrului de rotație este cunoscută, atunci se poate determina grafic rezultanta  $Q$ , care produce o rotere unică  $\Theta = 1$ , a sistemului în jurul lui  $O$ , însumind vectorial forțele  $P_i = \lambda_i (EA/L)$ .

Rezultanta  $Q$  este coliniară cu rezultanta reală,  $R$ , căci centru  $O$  este centru de rotație al sistemului sub acțiunea unei forțe pe direcția lui  $R$ .

Pentru determinarea forțelor reale din piloti, se consideră că rotirea fiind direct proporțională cu intensitatea rezultantei  $\Theta = R/Q$ , astfel incit :

$$P_i = P'_i \cdot \Theta = \lambda_i \frac{EA}{L} \cdot \frac{R}{Q} \quad (2)$$

Practic, pentru determinarea poziției centrului de rotație se procedează după cum urmează (fig.9.5).

Se alege un centru de rotație arbitrar  $O_1$  pe direcția rezultantei  $R$ , de preferință la intersecția acestora cu direcția unuia dintre piloti pentru a simplifica construcția grafică. Distanțele  $\lambda_i$  reprezintă la o anumită scară grafică eforturile din piloti. Se construiește poligonul forțelor și apoi poligonul funicular, obținind astfel direcția rezultantei  $R_1$ , corespunzătoare centrului de rotație  $O_1$ .

Se alege un alt centru  $O_2$  și în același mod se determină direcția rezultantei  $R_2$ .

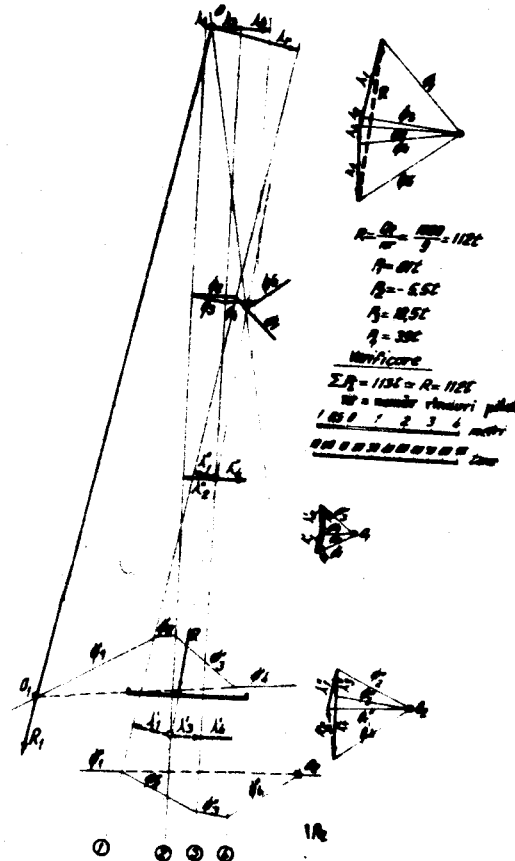


Fig.9.5

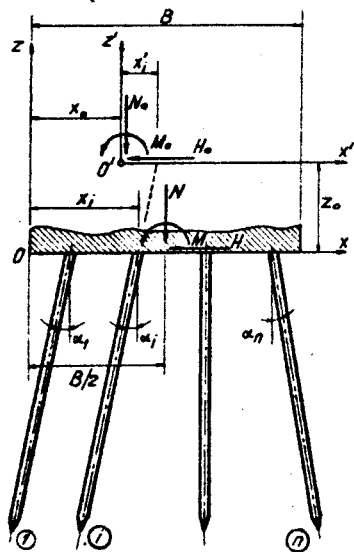
Centrul de rotație real,  $O$ , corespunzător rezultantei  $R$ , se află la intersecția rezultantelor  $R_1$  și  $R_2$ .

Se repetă operația pentru centru  $O$ , construindu-se poligonul forțelor. Scara forțelor se determină din mărimea segmentului ce-l reprezintă pe  $R$  cunoscut.

Pentru control, rezultanta eforturilor în piloti, construită cu ajutorul poligonului funicular, trebuie să coincidă cu direcția lui  $R$ .

Caculul se referă la un singur rind de piloti, considerind că fiecare rind de piloti este acționat de o parte egală din rezultantă.

Metoda centrului elastic.



Etapile de calcul :

a) Se calculează direcțiile  $\operatorname{tg} \alpha_v$  și  $\operatorname{tg} \alpha_H$  ale rezultantei care provoacă numai o deplasare pe verticală a radierului, respectiv a rezultantei care provoacă numai o deplasare pe orizontală a radierului :

$$\operatorname{tg} \alpha_v = \frac{\sum \cos^2 \alpha_i \operatorname{tg} \alpha_i}{\sum \cos^2 \alpha_i} \quad (1)$$

$$\operatorname{tg} \alpha_H = \frac{\sum \cos^2 \alpha_i \operatorname{tg}^2 \alpha_i}{\sum \cos^2 \alpha_i \operatorname{tg} \alpha_i}$$

b) Se calculează coordonatele centrului elastic (intersectia celor două rezultante) :

$$x_0 = \frac{\sum \cos^2 \alpha_i x_i}{\sum \cos^2 \alpha_i} - \frac{\sum \cos^2 \alpha_i \operatorname{tg} \alpha_i x_i}{\sum \cos^2 \alpha_i \operatorname{tg} \alpha_i};$$

$$\operatorname{tg} \alpha_H = \operatorname{tg} \alpha_v \quad (2)$$

$$x_0 = \frac{\sum \cos^2 \alpha_i x_i}{\sum \cos^2 \alpha_i} + x_0 \operatorname{tg} \alpha_v$$

c) Se calculează abscisele capetelor pilotilor față de central elastic :

$$x'_i = x_i - x_0 + x_0 \operatorname{tg} \alpha_i \quad (3)$$

d) Se calculează încreșările radierului, reduse față de central elastic :

$$H_0 = H; \quad H_0 = H; \quad H_0 = H - H \left( \frac{B}{2} - x_0 \right) = H x_0 \quad (4)$$

e) Se calculează eforturile în pileți :

$$P_i = \cos \alpha_i \left[ \frac{H_0}{\sum \cos^2 \alpha_i} \cdot \frac{\operatorname{tg} \alpha_H - \operatorname{tg} \alpha_i}{\operatorname{tg} \alpha_H - \operatorname{tg} \alpha_v} + \right. \\ \left. + \frac{H_0}{\sum \cos^2 \alpha_i \operatorname{tg} \alpha_i} \cdot \frac{\operatorname{tg} \alpha_i - \operatorname{tg} \alpha_v}{\operatorname{tg} \alpha_H - \operatorname{tg} \alpha_v} - \frac{H_0 x'_i}{\sum x'^2 \cos^2 \alpha_i} \right] \quad (5)$$

Cazul 3) Determinarea eforturilor în piloți și coloane în  
punte monolitică elastică în fier, coeficienții de  
pot al fermei în direcție orizontală fiind liniar  
creșător cu adâncimea.

Ecuatia filiei moale deformate pentru casul (2) din Plansa 9.X  
(Fig.9.7), este:

$$\frac{d^5}{dz^4} M_y(z) - E I_y \gamma(z) = 0$$

Soluția ecuației este:

$$y(z) = \chi A_1(z) + a_1 b_1 C_1(z) + \frac{M_0}{E I} I_c^2 C_2(z) + \frac{T_0}{E I} I_c^3 D_1(z)$$

$$b_1 C_1(z) = \gamma_1 A_1(z) + a_1 b_1 C_0(z) + \frac{M_0}{E I} I_c^2 C_2(z) + \frac{T_0}{E I} I_c^3 D_2(z)$$

$$\frac{I_c^2}{E I} M_0(z) = \chi A_2(z) + a_2 b_2 C_2(z) + \frac{M_0}{E I} I_c^2 C_3(z) + \frac{T_0}{E I} I_c^3 D_3(z)$$

$$\frac{I_c^3}{E I} T_0(z) = \chi A_3(z) + a_3 b_3 C_3(z) + \frac{M_0}{E I} I_c^2 C_4(z) + \frac{T_0}{E I} I_c^3 D_4(z)$$

unde:  $\bar{z} = z/l_0$  este adâncimea redusă, iar coeficienții  
A, B, C, D sunt funcții de adâncime ale cărui valori sunt  
intabulate, în funcție de adâncimea redusă, în tabelele 2.17 și 2.18.

Rezultatele de mai sus pot fi utilizate pentru determinarea  
diagonalelor de presiuni, momentelor și forțelor trăiescăre, cu  
capacitatea parametrii  $\gamma_0$  și  $a_0$  să fie cunoscute.

Acestea pot fi determinate în trei ipoteze, oca care  
se vede în plansa 9.X, pag. 6.

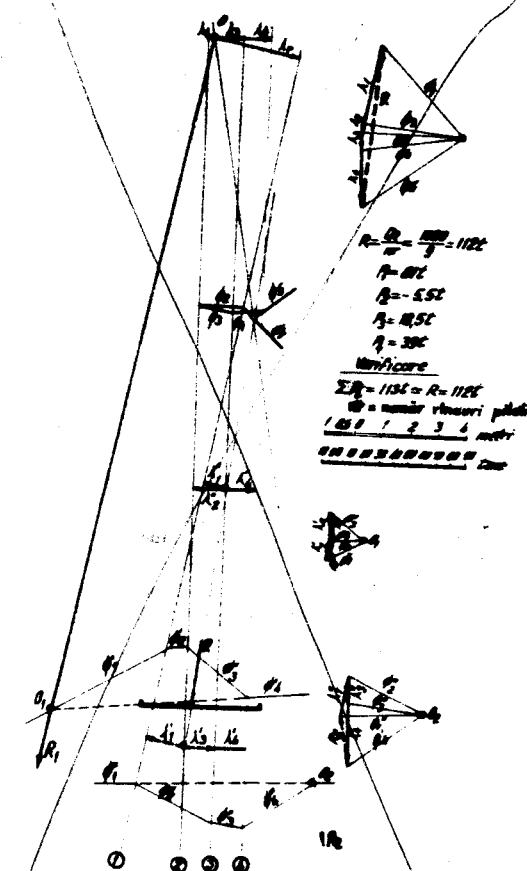


Fig.9.5

Centralul de rotație real, O, corespunzător rezultantei R,  
se află la intersecția resultantei R<sub>1</sub> și R<sub>2</sub>.

Să repetăm operația pentru central O, construindu-se poligonul forțelor. Scara forțelor se determină din mărimea segmentului ce-l reprezintă pe R cunoscut.

Pentru control, rezultanta eforturilor în piloți, construită cu ajutorul poligonului funicular, trebuie să coincidă cu direcția lui R.

Calcularul se referă la un singur rind de piloți, considerind  
că fiecare rind de piloți este acționat de o parte egală din re-  
zultantă.

- Tabelul 9.15 -

$z/l_0$	$\varphi$	$\psi$	$\theta$	$\varphi'$
3,5	-0,0389	-0,0177	-0,0283	-0,0106
3,6	-0,0366	-0,0124	-0,0245	-0,0121
3,7	-0,0341	-0,0079	-0,0210	-0,0131
3,8	-0,0314	-0,0040	-0,0177	-0,0137
3,9	-0,0286	-0,0008	-0,0147	-0,0140
4,0	-0,0258	0,0019	-0,0120	-0,0139
4,1	-0,0231	0,0040	-0,0095	-0,0136
4,2	-0,0204	0,0057	-0,0074	-0,0131
4,3	-0,0179	0,0070	-0,0054	-0,0125
4,4	-0,0155	0,0079	-0,0038	-0,0117
4,5	-0,0132	0,0085	-0,0023	-0,0108
4,6	-0,0111	0,0089	-0,0011	-0,0100
4,7	-0,0092	0,0090	0,0001	-0,0091
4,8	-0,0075	0,0089	0,0007	-0,0082
4,9	-0,0059	0,0087	0,0014	-0,0073
5,0	-0,0046	0,0084	0,0019	-0,0065
5,1	-0,0033	0,0080	0,0023	-0,0057
5,2	-0,0023	0,0075	0,0026	-0,0049
5,3	-0,0014	0,0069	0,0028	-0,0042
5,4	-0,0006	0,0064	0,0029	-0,0035
5,5	0,0000	0,0058	0,0029	-0,0029
5,6	0,0005	0,0052	0,0029	-0,0023
5,7	0,0010	0,0046	0,0028	-0,0018
5,8	0,0013	0,0041	0,0027	-0,0014
5,9	0,0015	0,0036	0,0026	-0,0010
6,0	0,0017	0,0031	0,0024	-0,0007
6,1	0,0018	0,0026	0,0022	-0,0004
6,2	0,0019	0,0022	0,0020	-0,0002
6,3	0,0019	0,0018	0,0018	0,0001
6,4	0,0018	0,0015	0,0017	0,0003
6,5	0,0018	0,0012	0,0015	0,0004
6,6	0,0017	0,0009	0,0013	0,0005
6,7	0,0016	0,0006	0,0011	0,0006
6,8	0,0015	0,0004	0,0010	0,0006
6,9	0,0014	0,0002	0,0008	0,0006
7,0	0,0013	0,0001	0,0007	0,0006

Cazul (2) pentru  $M_0 \neq 0, T_0 \neq 0$

$$y(z) = \alpha_y \frac{T_0}{m B l_0^2} + \beta_y \frac{M_0}{m B l_0^3}$$

$$M(z) = \alpha_M T_0 l_0 + \beta_M M_0$$

$$T(z) = \alpha_T T_0 + \beta_T \frac{M_0}{l_0}$$

$$q(z) = \alpha_q \frac{T_0}{l_0} + \beta_q \frac{M_0}{l_0^2}$$

Valorile coeficienților  $\alpha$  și  $\beta$  sunt date în tabelul

Valorile coeficienților  $\alpha$  și  $\beta$

- Tabelul 9.16 -

$z/l_0$	$\alpha_y$	$\alpha_M$	$\alpha_T$	$\alpha_p$	$\beta_y$	$\beta_M$	$\beta_T$	$\beta_p$
0	2,435	0,000	1,000	0,000	1,623	1,000	0,000	0,000
0,1	2,273	0,100	0,989	-0,227	1,453	1,000	-0,007	-0,145
0,2	2,112	0,198	0,956	-0,422	1,293	0,999	-0,028	-0,259
0,3	1,952	0,291	0,906	-0,586	1,143	0,994	-0,058	-0,343
0,4	1,796	0,379	0,840	-0,718	1,003	0,987	-0,095	-0,401
0,5	1,644	0,459	0,764	-0,822	0,873	0,976	-0,137	-0,436
0,6	1,496	0,532	0,677	-0,897	0,752	0,960	-0,181	-0,451
0,7	1,353	0,595	0,585	-0,947	0,642	0,939	-0,226	-0,449
0,8	1,216	0,649	0,489	-0,973	0,540	0,914	-0,270	-0,432
0,9	1,086	0,693	0,392	-0,977	0,448	0,885	-0,312	-0,405
1,0	0,962	0,727	0,295	-0,962	0,364	0,852	-0,350	-0,364
1,2	0,738	0,767	0,109	-0,885	0,223	0,775	-0,414	-0,268
1,4	0,544	0,772	-0,056	-0,761	0,112	0,688	0,456	-0,157
1,6	0,381	0,746	-0,193	-0,609	0,029	0,594	-0,477	-0,047
1,8	0,247	0,696	-0,298	-0,445	-0,030	0,498	-0,476	0,054
2,0	0,142	0,628	-0,371	-0,285	-0,070	-0,404	-0,456	0,140
3,0	-0,075	0,225	-0,349	0,226	-0,089	0,059	-0,213	0,268
4,0	-0,050	0,000	-0,106	0,201	-0,028	-0,042	0,017	0,112
5,0	-0,009	-0,033	0,013	0,046	0,000	-0,026	0,029	-0,002

1. Cazul I: Determinarea soluțiilor în pilote și cunoare în jidura inelasticității elastică în formă, coeficientul de put al fermei în direcție orizontală fiind liniar crescător cu adincimea.

Ecuatia fibrei moale determinată pentru casul (z) din Planșă 9.X (fig. 9.1), este:

$$\frac{d^5}{dz^5} \gamma(z) - z \gamma'(z) = 0$$

Soluția acestui caz este:

$$\gamma(z) = \chi A_1(z) + d_1 b_1 B_1(z) + \frac{M_0}{E_b I} l_o^2 C_1(z) + \frac{T_0}{E_b I} l_o^3 D_1(z)$$

$$b_1 d_1(z) = \chi A_2(z) + d_2 b_2 B_2(z) + \frac{M_0}{E_b I} l_o^2 C_2(z) + \frac{T_0}{E_b I} l_o^3 D_2(z)$$

$$\frac{l_o^2}{E_b I} M_1(z) = \chi A_3(z) + d_3 b_3 B_3(z) + \frac{M_0}{E_b I} l_o^2 C_3(z) + \frac{T_0}{E_b I} l_o^3 D_3(z)$$

$$\frac{l_o^3}{E_b I} T_1(z) = \chi A_4(z) + d_4 b_4 B_4(z) + \frac{M_0}{E_b I} l_o^2 C_4(z) + \frac{T_0}{E_b I} l_o^3 D_4(z)$$

unde:  $\bar{z} = z/l_o$  este adâncimea redusă, iar coeficienții  $A, B, C, D$  sunt funcții de adâncimea redusă, ale căror valori sint tabulate, în funcție de adâncimea redusă, în tabelul 9.17 și 9.18.

Relativile de mai sus pot fi utilizate pentru determinarea diagramelor de presiuni, momente și forțe trăiescăre, cu condiția ca parametrii  $\gamma_0$  și  $d_0$  să fie cunoscute.

Acestea pot fi determinați în trei ipoteze, aşa cum se vede în planșă 9.X, pag. 6..

Ipozită I: virful pilotului sau al cabanei este considerat inerent la teren.  $y(\bar{z} = l'/l_o) = 0; \alpha(\bar{z} = l'/l_o) = 0$

$$\gamma_0 = \frac{M_0}{E_b I} l_o^2 \left[ \frac{B_1 C_2 - B_2 C_1}{A_1 B_2 - A_2 B_1} \right]_{\bar{z} = l'/l_o} + \frac{T_0}{E_b I} l_o^3 \left[ \frac{B_1 D_2 - B_2 D_1}{A_1 B_2 - A_2 B_1} \right]_{\bar{z} = l'/l_o}$$

$$d_0 l_o = \frac{M_0}{E_b I} l_o^2 \left[ \frac{A_2 C_1 - A_1 C_2}{A_1 B_2 - A_2 B_1} \right]_{\bar{z} = l'/l_o} + \frac{T_0}{E_b I} l_o^3 \left[ \frac{A_2 D_1 - A_1 D_2}{A_1 B_2 - A_2 B_1} \right]_{\bar{z} = l'/l_o}$$

Ipozită II: virful pilotului sau al cabanei este considerat liber.  $M(\bar{z} = l'/l_o) = 0; T(\bar{z} = l'/l_o) = 0$ .

$$\gamma_0 = \frac{M_0}{E_b I} l_o^2 \left[ \frac{B_4 C_3 - B_3 C_4}{A_4 B_3 - A_3 B_4} \right]_{\bar{z} = l'/l_o} + \frac{T_0}{E_b I} l_o^3 \left[ \frac{B_4 D_3 - B_3 D_4}{A_4 B_3 - A_3 B_4} \right]_{\bar{z} = l'/l_o}$$

$$d_0 l_o = \frac{M_0}{E_b I} l_o^2 \left[ \frac{A_3 C_4 - A_4 C_3}{A_4 B_3 - A_3 B_4} \right]_{\bar{z} = l'/l_o} + \frac{T_0}{E_b I} l_o^3 \left[ \frac{A_3 D_4 - A_4 D_3}{A_4 B_3 - A_3 B_4} \right]_{\bar{z} = l'/l_o}$$

Ipozită III: virful pilotului se poate rota, iar forța trăiescăre poate fi neglijată.

$$\gamma_0 = \frac{M_0}{E_b I} l_o^2 \left[ \frac{K(B_3 C_4 - B_4 C_3) + (B_2 C_4 - B_4 C_2)}{K(A_3 B_4 - A_4 B_3) + (A_2 B_4 - A_4 B_2)} \right]_{\bar{z} = l'/l_o} +$$

$$\frac{T_0}{E_b I} l_o^3 \left[ \frac{K(B_3 D_4 - B_4 D_3) + (B_2 D_4 - B_4 D_2)}{K(A_3 B_4 - A_4 B_3) + (A_2 B_4 - A_4 B_2)} \right]_{\bar{z} = l'/l_o}$$

$$d_0 l_o = \frac{M_0}{E_b I} l_o^2 \left[ \frac{K(A_4 C_3 - A_3 C_4) + (A_2 C_4 - A_4 C_2)}{K(A_3 B_4 - A_4 B_3) + (A_2 B_4 - A_4 B_2)} \right]_{\bar{z} = l'/l_o} +$$

$$\frac{T_0}{E_b I} l_o^3 \left[ \frac{K(A_3 D_4 - A_4 D_3) + (A_2 D_4 - A_4 D_2)}{K(A_3 B_4 - A_4 B_3) + (A_2 B_4 - A_4 B_2)} \right]_{\bar{z} = l'/l_o}$$

unde:  $K = E_b / m e^2 l_o^2$

Mărimele ce intervin în expresiile de mai sus, pentru calculul parametrilor  $\gamma_0$  și  $d_0$ , sunt prezentate în tabelul 9.29 și 9.30.

$\frac{z}{d}$	$A_1$	$B_1$	$C_1$	$D_1$	$A_2$	$B_2$	$D_2$
0,0	1,00000	0,00000	0,00000	0,00000	1,00000	0,00000	0,00000
0,1	1,00000	0,10000	0,00500	0,00017	-0,00000	1,00000	0,00000
0,2	1,00000	0,20000	0,02000	0,00333	-0,00007	1,00000	0,00000
0,3	0,99998	0,30000	0,04500	0,00514	-0,00054	0,99996	0,00000
0,4	0,99991	0,39999	0,08000	0,01067	-0,00107	0,99985	0,00000
0,5	0,99974	0,49996	0,12500	0,02083	-0,00260	0,99948	0,00000
0,6	0,99945	0,59987	0,17998	0,03600	-0,00540	0,99870	0,00000
0,7	0,99860	0,69967	0,24495	0,05716	-0,01000	0,99720	0,00000
0,8	0,99727	0,79927	0,31938	0,08322	-0,01707	0,99544	0,00000
0,9	0,99508	0,89852	0,46472	0,12146	-0,02732	0,99016	0,00000
1,0	0,99167	0,99722	0,49941	0,16557	-0,04167	0,98332	0,00000
1,1	0,98658	1,09218	0,66934	0,21613	-0,06696	0,97197	0,00000
1,2	0,97927	1,19171	0,77478	0,27733	-0,08332	0,95855	0,00000
1,3	0,96908	1,28660	0,84127	0,36356	-0,11883	0,93615	0,00000
1,4	0,95523	1,37910	0,97173	0,45988	-0,15973	0,91047	0,00000
1,5	0,93681	1,46839	1,11184	0,55997	-0,21690	0,87365	0,00000
1,6	0,91280	1,55346	1,26105	0,67842	-0,27194	0,82565	0,00000
1,7	0,89201	1,63307	1,42861	0,81193	-0,34604	0,76415	0,00000
1,8	0,86513	1,70575	1,58362	0,96109	-0,45412	0,68615	0,00000
1,9	0,79467	1,76972	1,75190	1,12637	-0,52168	0,58967	0,00000
2,0	0,75502	1,82294	1,92002	1,30801	-0,62622	0,47061	0,00000
2,1	0,71491	1,88709	2,27217	1,72042	-0,705616	0,315127	0,00000
2,2	0,34691	1,87450	2,60082	2,19555	-0,73389	0,19273	0,00000
2,3	0,93146	1,75472	2,96679	2,72315	-0,81179	0,04602	0,00000
2,4	0,93146	1,41037	3,1143	3,01769	-0,91756	0,17543	0,00000
2,5	0,93448	1,46779	3,22491	3,63638	-0,95339	0,24103	0,00000
2,6	0,93039	1,52679	3,42491	4,01769	-0,99012	0,30996	0,00000
2,7	0,92799	1,21712	2,46394	4,97042	-0,99402	0,36996	0,00000
2,8	0,91097	0,92677	4,51130	6,53216	-0,92112	0,46610	0,00000
2,9	0,85733	-5,94097	-8,77276	-9,25302	-5,66019	-17,41190	-1,20210
3,0	-9,09816	-12,41690	-22,42780	-31,15810	-1,79465	-37,21760	-32,21610

- 186 -

PLANSĂ 9.X

- Tabelul "9.18" -

$\frac{z}{d}$	$A_3$	$B_3$	$C_3$	$D_3$	$A_4$	$B_4$	$C_4$	$D_4$
0,0	0,00000	0,00000	1,00000	0,00000	0,00000	0,00000	0,00000	1,00000
0,1	-0,00017	-0,00001	1,00000	0,10000	-0,00000	-0,00035	-0,00001	1,00000
0,2	-0,00033	-0,00015	0,99999	0,20000	-0,00200	-0,00037	-0,00020	0,99998
0,3	-0,00050	-0,00021	0,99994	0,30000	-0,04000	-0,00030	-0,000101	0,99992
0,4	-0,01667	-0,00213	0,99974	0,39998	-0,03800	-0,02133	-0,00326	0,99966
0,5	-0,02083	-0,00521	0,99922	0,49991	-0,10600	-0,04117	-0,00761	0,99996
0,6	-0,02600	-0,01630	0,99866	0,9974	-0,11177	-0,04710	-0,01126	0,99941
0,7	-0,03716	-0,02001	0,99880	0,69929	-0,14920	-0,05333	-0,03001	0,99410
0,8	-0,01922	-0,03412	0,99901	0,79984	-0,1975	-0,07050	-0,01700	0,99998
0,9	-0,02144	-0,02466	0,98534	0,89705	-0,40445	-0,14384	-0,01198	0,99932
1,0	-0,16852	-0,08129	0,97501	0,39445	-0,40381	-0,13398	-0,12495	0,96667
1,1	-0,22152	-0,12192	0,97971	1,02916	-0,60768	-0,18792	-0,18785	0,94624
1,2	-0,28777	-0,17260	0,93781	1,1892	-0,75775	-0,25740	-0,25386	0,91712
1,3	-0,36196	-0,23760	0,90127	1,27520	-0,85753	-0,37950	-0,35631	0,87638
1,4	-0,45515	-0,31935	0,86775	1,36717	-0,96546	-0,50754	-0,47003	0,81027
1,5	-0,56270	-0,40519	0,8104	1,45600	-1,1043	-0,6103	-0,55077	0,71512
1,6	-0,67629	-0,51348	0,73859	1,56695	-1,24802	-1,35012	-0,81446	0,65156
1,7	-0,80448	-0,62144	0,64677	1,66621	-1,36923	-1,61346	-1,03616	0,52871
1,8	-0,95564	-0,86715	0,52997	1,61162	-1,54728	-1,90577	-1,29969	0,37366
1,9	-1,11796	-1,07257	0,38901	1,6339	-1,62089	-2,22445	-1,69770	0,18671
2,0	-1,29235	-1,21361	0,20676	1,64638	-1,84718	-2,57798	-2,02299	-0,96620
2,1	-1,69354	-1,90567	0,27887	1,57558	-2,12481	-3,59592	-2,84856	-0,69158
2,2	-2,14117	-2,66329	-0,91635	1,45261	-2,36101	-4,23011	-3,07455	-1,50151
2,3	-2,67176	-3,59977	-1,87734	0,16649	-2,46616	-5,1163	-5,57551	-2,8106
2,4	-3,1041	-4,71748	-3,10791	0,19759	-2,3558	-6,19628	-6,84099	-4,14691
2,5	-3,54058	-5,99979	-4,68788	-0,89126	-2,18476	-7,6460	-8,46210	-5,19192
2,6	-4,01921	-7,54567	-5,34440	-0,85442	-2,78068	-8,7860	-9,59210	-6,87610
2,7	-4,51921	-9,54567	-7,91360	-1,07950	-3,55162	-9,29568	-10,51616	-7,14616
2,8	-5,01921	-11,7070	-11,12028	-2,48430	-4,82290	-12,80220	-13,0294	-8,10510
2,9	-5,62993	-17,6958	-17,40840	-28,08430	-25,22110	-19,80310	-20,07650	-12,67640
3,0	-24,97670	11,94850	-21,60110	-41,35510	49,08310	62,70510	50,07650	-27,67640

- 187 -

PLANSĂ 9.X

- Tabelul 9.19 -

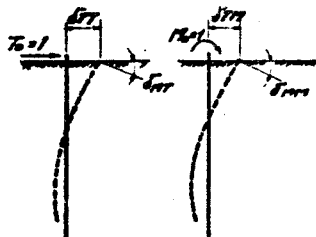
$A_2D_4-A_4B_2$	$A_2C_4-A_4C_3$	$A_2C_4-A_4C_2$	$B_2C_1-B_1C_2$ $A_2J_1-A_1J_2$	$B_2C_1-B_1C_2$ $A_2J_1-A_1J_2$	$A_2C_1-A_1C_2$ $A_2J_1-A_1J_2$
0,00000	0,00000	0,00000	0,00000	0,00000	0,00000
0,00003	0,00500	0,00050	0,00033	0,00500	0,10000
0,00033	0,02000	0,00400	0,00269	0,02000	0,20000
0,00169	0,04500	0,01350	0,00900	0,04500	0,30000
0,00553	0,08700	0,03200	0,02133	0,07969	0,39993
0,01303	0,12505	0,06251	0,04165	0,12495	0,49993
0,02761	0,18020	0,10804	0,07192	0,17933	0,59962
0,05804	0,24559	0,17161	0,11406	0,24443	0,69962
0,08559	0,32150	0,25632	0,16985	0,31867	0,79783
0,13685	0,40842	0,36553	0,24092	0,40199	0,89562
0,20873	0,50714	0,50194	0,32855	0,49374	0,99179
0,36600	0,61893	0,66965	0,43351	0,59294	1,08160
0,43412	0,74562	0,87232	0,55589	0,69311	1,17167
0,59940	0,88991	1,11429	0,69438	0,80737	1,26183
0,80887	1,05550	1,40059	0,84855	0,91871	1,34213
1,07061	1,24752	1,73720	1,01382	1,02816	1,41518
1,39379	1,47277	2,13135	1,13632	1,13330	1,47920
1,78918	1,74019	2,59200	1,36083	1,23213	1,53540
2,26933	2,06147	3,13039	1,53173	1,32038	1,58115
2,84969	2,45147	3,76049	1,69343	1,39638	1,61713
3,54638	2,92905	4,49999	1,34091	1,45979	1,64405
5,38469	4,24806	6,40196	2,03841	1,54549	1,67490
8,02219	6,28806	9,09220	2,23974	1,58366	1,68520
11,82660	9,46294	12,97190	2,32965	1,58617	1,66665
17,33620	14,40320	18,66360	2,37119	1,59261	1,63710
22,42750	22,06800	27,12570	2,32548	1,58393	1,62021
67,49820	64,76960	72,04350	2,35391	1,58433	1,71100
385,99600	190,83400	200,04700	2,40074	1,59979	1,73010
529,83100	567,24700	571,66600	2,41531	1,51296	1,73730
2549,61000	1713,28000	1572,28900	2,42532	1,61303	1,74520

- Tabelul 9.20 -

$z$	$B_3D_4-B_4D_3$	$A_2B_4-A_4B_3$	$B_2D_4-B_4D_2$	$A_2B_4-A_4B_2$	$A_3D_4-A_4D_3$
0,0	0,00000	0,00000	1,00000	0,00000	0,00000
0,1	0,00002	0,00000	1,00000	0,00500	0,00050
0,2	0,00040	0,00000	1,00004	0,02000	0,00267
0,3	0,00203	0,00001	1,00029	0,04500	0,00900
0,4	0,00640	0,00006	1,00120	0,07999	0,02133
0,5	0,01563	0,00022	1,00365	0,12504	0,04167
0,6	0,03240	0,00065	1,00917	0,18013	0,07203
0,7	0,06006	0,00163	1,01962	0,24535	0,11443
0,8	0,10248	0,00365	1,03824	0,32091	0,17694
0,9	0,16426	0,00738	1,06893	0,40709	0,24374
1,0	0,25062	0,01590	1,11679	0,50436	0,33507
1,1	0,36747	0,02464	1,18823	0,61351	0,44779
1,2	0,52158	0,04156	1,29111	0,73565	0,58346
1,3	0,72057	0,06724	1,43498	0,87244	0,74650
1,4	0,97317	0,10504	1,63125	1,02612	0,94032
1,5	1,28938	0,15916	1,89549	1,19981	1,16960
1,6	1,68091	0,23497	2,23776	1,39771	1,44015
1,7	2,16145	0,33904	2,68296	1,62522	1,75934
1,8	2,74734	0,47951	3,25143	1,88946	2,13659
1,9	3,45833	0,66632	3,96945	2,19944	2,58362
2,0	4,31831	0,91158	4,86824	2,56664	3,11583
2,2	6,61044	1,63962	7,36356	3,53366	4,51846
2,4	9,95510	2,82366	11,13130	4,95288	6,57004
2,6	14,86800	4,70118	16,74660	7,07178	9,62890
2,8	22,15710	7,62658	25,06510	10,26420	14,25710
3,0	33,08790	12,13530	37,38070	15,09220	21,32850
3,5	92,20900	156,85800	101,36900	41,01820	60,47600
4,0	266,06100	109,01200	279,99600	114,72200	176,70900
4,5	788,09100	324,08800	795,76400	327,74900	525,45500
5,0	2382,00000	979,67800	2324,47000	956,66200	1588,43000

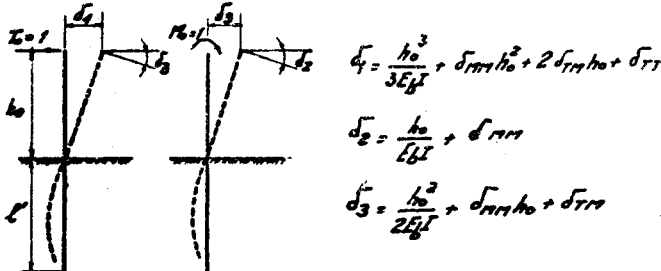
Deplasările și rotiri ale capului pilotului sau al coloanei din solicitări unitare

Cazul 1: pilot sau coloană fără lungime liberă:

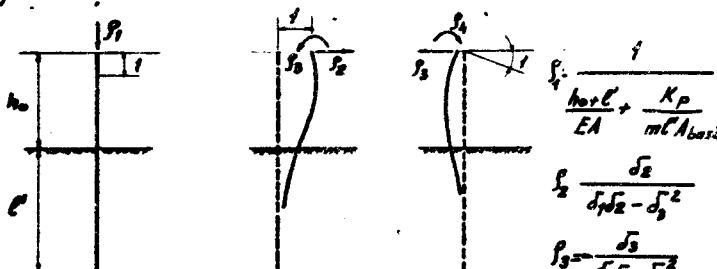


Mărimea  $\delta_{TT}$ ,  $\delta_{RR}$  și  $\delta_{MR} = \delta_{RR}$  se calculează cu formulele din planșa 9.X, adoptând o ipoteză pentru rezemarea virfului, conform planșei 9.X, pag. 6.

Cazul 2: pilot sau coloană cu lungime liberă:



Reacțiunile ce operează la capul pilotului sau al coloanei din deplasări și rotiri unitare.

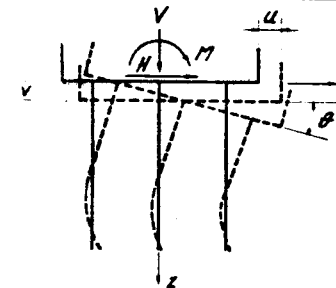


Unde:  $K_p$  = coeficientul de corecție adimensional cu valoarea egală cu  $1/6$  din diametrul bozei pilotului  $\frac{F_i}{\delta_i \delta_2 - \delta_3^2}$  exprimat în metri.

$A$  = aria secțiunii curante a pilotului.

$A_{base}$  = aria bozei pilotului.

Stabilirea solicitărilor ce revin unui pilot din grup.



Reacțiunea forță verticală pe radier care produce o deplasare verticală unitară:  $R_{VV} = \sum p_i = n p_i$

Reacțiunea forță orizontală pe radier care produce o deplasare orizontală unitară:  $R_{UU} = 2 p_2 + q p_2$

Reacțiunea moment care produce o rotire unitară:

$$R_{00} = \sum p_i + \sum x^2 p_i$$

Reacțiunea moment care produce o deplasare orizontală unitară:

$$R_{00} = R_{UU} = \sum p_3 = n p_3$$

unde:  $n$  = numărul pilotilor din radier

Deplasările radierului sub acțiunea solicitărilor  $V$ ,  $H$  și  $M$  ce acionează pe talpa radierului:  $v = \frac{v}{x_{VV}}$

$$u = \frac{x_{UU} H - x_{UU} M}{x_{UU} x_{UU} - x_{UU}^2}$$

$$\theta = \frac{x_{00} M - x_{00} H}{x_{00} x_{00} - x_{00}^2}$$

Solicitări ce revin unui pilot din grup:

$$N_i = (v + \theta x) p_i$$

$$T_i = u p_i - \theta p_i$$

$$M_i = \theta p_i - u p_i$$

Dacă pilotul are și o lungime liberă,  $h_0$ , momentul ce revine unui pilot devine:

$$M_i = \theta p_i - u p_i + T_i h_0$$